

### บทที่ 3

## ผลการทดลอง วิเคราะห์และสรุปผลการทดลอง

### 3.1 ข้อมูลเบื้องต้น

#### 3.1.1 การปรับเทียบระดับกำลังของเตาไมโครเวฟ

เตาไมโครเวฟที่ใช้ในโครงการวิจัยนี้ มีขนาด 800 วัตต์ และแมกนิตรอนอยู่ด้านบน เป็นประเภทงานหมุน มีความถี่ 2.45 GHz เป็นเตาไมโครเวฟที่ใช้ในครัวเรือน มีราคาถูก และยังไม่ผ่านกระบวนการการเก็บค่ามา ก่อน ระดับกำลัง (power level) ของเตาไมโครเวฟประเภทนี้โดยทั่วไปจะบูรณา 10% - 100% หรือ level 1 - 10 ของ ระดับกำลังที่ให้สูงสุดของเตาไมโครเวฟนั้น โดยมีหน่วยเป็นวัตต์ การเก็บค่าทำได้โดยอ้างอิงตามมาตรฐานการ เก็บค่าของคณะกรรมการมาตรฐานชาติทางเทคนิคไฟฟ้าดังที่สรุปในรายงานวิจัยของ ธนาคาร พัฒน์ (อ้างอิงในบท ที่ 2)

นำค่าอุณหภูมิเริ่มต้น ( $T_1$ ) อุณหภูมิสุดท้าย ( $T_2$ ) และเวลาที่ใช้ในเตาไมโครเวฟ ( $t$ ) ณ ระดับกำลังต่างๆ ของเตาอบไมโครเวฟ คำนวนตามสมการ (2.1) ค่ากำลังวัตต์ที่คำนวนได้แสดงในตารางที่ 3.1 และจะระบุว่าเป็น ค่าที่ได้จากการทดลอง

ตารางที่ 3.1 กำลังวัตต์ของเตาไมโครเวฟที่ได้จากการทดลองการอุ่นน้ำ

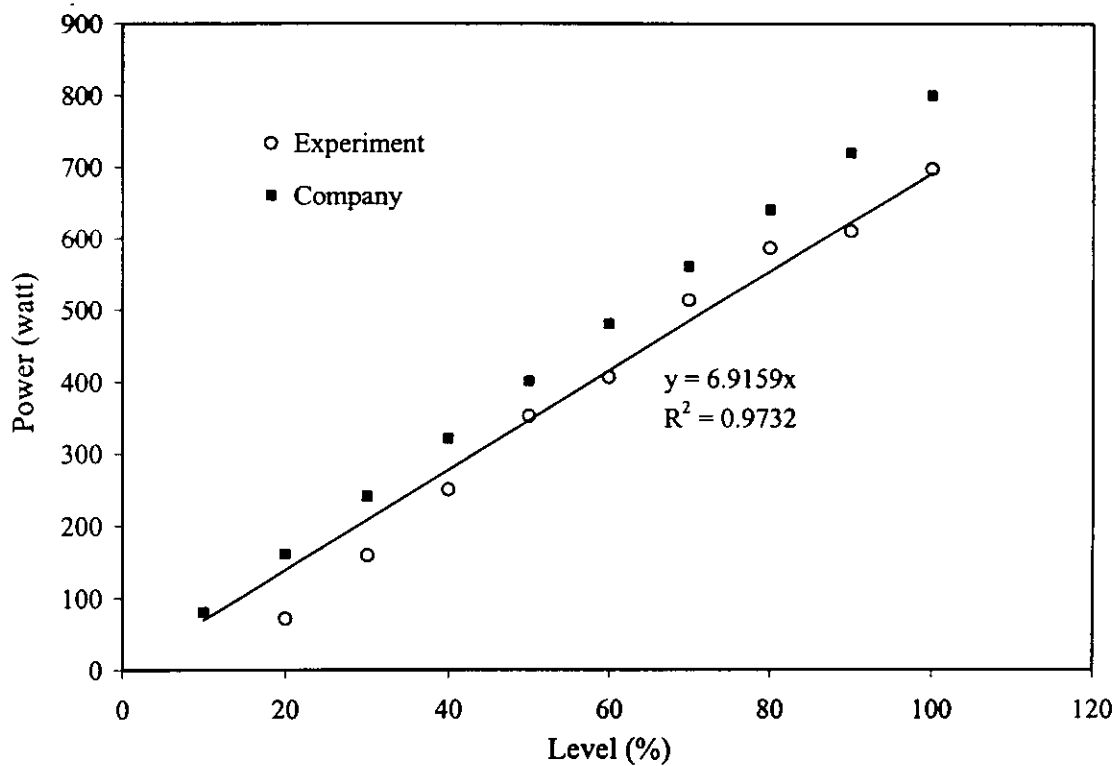
Power level	$T_1$ (°C)	$T_2$ (°C)	$T_2 - T_1$	$t$ (sec)	Power (watt)
1	N/A	N/A	-	-	-
2	9.0	19.1	10.1	600	71
3	9.0	19.2	10.2	270	158
4	9.0	19.1	10.1	170	249
5	9.2	19.3	10.1	120	352
6	9.0	18.7	9.7	100	406
7	9.4	19.2	9.8	80	513
8	9.1	18.9	9.8	70	586
9	9.0	19.2	10.2	70	610
10	9.0	19.0	10.0	60	698

นำค่าที่คำนวนได้วัดกราฟระหว่างระดับกำลัง (Level, %) และกำลังวัตต์ที่คำนวนได้ (Power, watt) ดัง แสดงในรูปที่ 3.1 ทำการวิเคราะห์แบบถดถอย (Regression analysis) จะได้ความสัมพันธ์ของระดับกำลังของเตา ไมโครเวฟกับระดับกำลังที่ให้ในหน่วยวัตต์ ในรูปสมการเส้นตรง ดังนี้

$$P_w = 6.9159 * P_y \quad (3.1)$$

โดยที่  $P_w$  = ค่าระดับกำลังของเตาไมโครเวฟที่ให้ในหน่วยวัตต์

$P_y$  = ค่าระดับกำลังของเตาไมโครเวฟที่ใช้ในหน่วยเปอร์เซนต์



รูปที่ 3.1 กราฟแสดงค่ากำลังวัตต์ที่วัดได้จากการทดลองและจากข้อมูลของบริษัท  
กราฟเส้นตรงได้จากการวิเคราะห์แบบถดถอยของข้อมูลที่ได้จากการ  
ทดลอง

นำสมการที่ได้จากการวิเคราะห์แบบถดถอย (สมการ 3.1) คำนวณหาค่ากำลังวัตต์ที่ระดับต่างๆ ตารางที่ 3.2 แสดงค่าเปรียบเทียบกำลังวัตต์ที่ได้จากการทดลอง จากการคำนวณ และจากข้อมูลที่บริษัทกำหนดไว้ สังเกตว่า ค่ากำลังวัตต์ที่ได้จากการทดลองและจากการวิเคราะห์แบบถดถอย มีค่าต่ำกว่าค่าที่รายงานจากบริษัทผู้ผลิต ประมาณ 14% ข้อมูลที่ได้จากการวิเคราะห์นี้สามารถนำไปเทียบกับกำลังวัตต์ของเตาไมโครเวฟอื่นๆที่มีการเทียบค่าไว้แล้ว การควบคุมกำลังวัตต์ของเตาไมโครเวฟที่ใช้ในครัวเรือนที่สามารถเปลี่ยนระดับกำลังวัตต์ได้นั้น ทำได้โดย การควบคุมระยะเวลาในการปล่อยไฟในไมโครเวฟออกมารัมผัสกับอาหารหรือวัสดุ เพราะในทางปฏิบัติ แมgnitor ของเตาไมโครเวฟชนิดนี้จะทำงานเดิมที่ตามกำลังวัตต์ที่ระบุไว้จากผู้ผลิต เช่น 800 วัตต์ สำหรับเตาไมโครเวฟที่ใช้ในการทดลองนี้ ระหว่างการทำงานของเตาไมโครเวฟ จะมีระบบควบคุมระยะเวลาในการปิด-เปิดกระแสไฟ<sup>1</sup> ทำให้ ค่าเฉลี่ยของกำลังวัตต์เปลี่ยนไป ถ้าต้องการกำลังวัตต์ต่ำๆ เช่น ระดับกำลัง 2 ระยะเวลาใน “การปิด” จะสั้นกว่าที่ ระดับกำลังสูงซึ่งมีค่าตัดต่อโดยเฉลี่ยสูงกว่า วงจรการทำงานปิด-เปิดนี้มีระยะเวลาเท่ากันในทุกระดับกำลัง เนยกว่า ครบ (period) ซึ่งอาจมีระยะเวลาแตกต่างกันไปขึ้นอยู่กับบริษัทผู้ผลิตและกำลังวัตต์สูงสุด ได้การทดลองวัดวงจร การทำงานของเตาไมโครเวฟโดยการฟังเสียงที่เกิดขึ้น ซึ่งเป็นเสียงปิด-เปิด บันทึกระยะเวลาในการปิด-เปิด ผลการ ทดลองแสดงในตารางที่ 3.3 เดาซันโดยรุ่นนี้ใช้เวลา 17 วินาที ภายในหนึ่งครบ การใช้ระดับกำลังตั้งแต่ 9 ลงมา เวลา ในการสัมผัสถูกในไมโครเวฟ (actual heating time) สั้นกว่าเวลาที่ใช้ในการตั้งเครื่อง (setting time) ดังแสดงในตารางที่ 3.4

<sup>1</sup> E.T. Thostenson and T.W. Chou, Compos. A, 30, 1055 (1999); Y. Liu, Y. Xiao, X. Sun and D.A. Scola, J. Appl. Polym. Sci., 73, 2391 (1999).

ตารางที่ 3.2 ผลการหาค่าระดับกำลังของเตาไมโครเวฟเปรียบเทียบค่าที่วัดได้จริงกับค่าที่คำนวณได้จากการวิเคราะห์แบบทดสอบและค่าที่ระบุจากบริษัท

Power Level (%)	Power (watt)		
	Experiment	Analysis	Company
10	-	-	80
20	71	138	160
30	158	207	240
40	249	276	320
50	352	345	400
60	406	414	480
70	513	483	560
80	586	552	640
90	610	621	720
100	698	690	800

ตารางที่ 3.3 ระยะเวลาในการปิด-เปิดกระแสไฟฟ้าของเตาไมโครเวฟที่ใช้ในการทดลองนี้

Power level	Duration power on (sec)	Duration power off (sec)
10	17	-
9	15	2
8	14	3
7	12	5
6	10	7
5	9	8
4	7	10
3	5	12
2	3	14
1	2	15

ตารางที่ 3.4 ค่าเปรียบเทียบเวลาในการสัมผัสถันในไมโครเวฟ (actual heating time) และเวลาในการตั้งเครื่อง (setting time) ที่ระดับกำลัง 3 และ 4

Power level	Setting time (min)	Actual heating time (min)
3	10	3
	14	4
	20	6
4	10	4
	14	6
	20	8

### 3.1.2 การวิเคราะห์หาปริมาณปฏิกิริยาเคมีของเรซินชนิด fresh sample ด้วยเทคนิค DSC

ทำการผสมอีพ็อกซี่ สารทำให้แข็ง (MTHPA1, MTHPA2, MHHPA) และ ตัวเร่งปฏิกิริยา (DMP-30, EMI, BDMA) ในสัดส่วนต่างๆกัน (โดยน้ำหนัก) ปริมาณของตัวเร่งปฏิกิริยาคิดตามน้ำหนักของอีพ็อกซี่ ตารางที่ 3.5 แสดงสูตรเรซินที่ใช้ในการศึกษา การเรียกชื่อส่วนผสมแต่ละสูตรจะเรียกวังนี้ สูตรที่ I/90, I/85 .... อัตราตัวแปรหมายถึงสูตรที่ และตัวเลขถัดมาหมายถึงปริมาณสารทำให้แข็ง เช่น I/90 คือ สูตรที่ I (Epoxy + MTHPA1) ที่มีส่วนผสมเท่ากัน 100:90 หรือ I/85 คือ สูตรที่ II (Epoxy + MTHPA1 + 1%DMP-30) ที่มีส่วนผสมเท่ากัน 100:85 เป็นต้น ผลสารเคมีตามสูตรในตารางที่ 3.5 นำไปวิเคราะห์หาปริมาณความร้อนที่คายออกจากการเกิดปฏิกิริยา และค่า Tg ด้วยเครื่อง DSC

ตารางที่ 3.5 สูตรเรซินที่ใช้ในการศึกษาด้วยเทคนิค DSC จากเรซินที่ไม่ได้ผ่านการอบ

Resin	ส่วนผสม	Epoxy : Hardener (wt/wt)				
I	Epoxy + MTHPA1	100:90	100:85	100:80	100:75	100:70
II	Epoxy + MHHPA + 1%DMP-30	100:90	100:85	100:80	100:75	100:70
III	Epoxy + MHHPA + 1% EMI	100:90	100:85	100:80	100:75	100:70
IV	Epoxy + MHHPA + 1% BDMA	100:90	100:85	100:80	100:75	100:70
VI	Epoxy + MTHPA2 + 1%DMP-30	100:90	100:85	100:80	100:75	100:70
VII	Epoxy + MTHPA2 + 1% EMI	100:90	100:85	100:80	100:75	100:70
VIII	Epoxy + MTHPA2 + 1% BDMA	100:90	100:85	100:80	100:75	100:70

พื้นที่ได้การ (ΔH) ของ exothermic peak จาก 1<sup>st</sup> heating scan เป็นปริมาณความร้อนที่คายออกมาจากการปฏิกิริยาเชื่อมโยงโมเลกุล (crosslinking reaction) ค่า peak temperature เป็นอุณหภูมิสูงสุดระหว่างการเกิดปฏิกิริยา ค่า Tg วัดได้จาก 2<sup>nd</sup> heating scan เลือกใช้อุณหภูมิที่คำแหง inflection point (ช่วงกลางของแทรนซิชัน) ทำการวิเคราะห์ 1 ครั้ง/ตัวอย่าง ผลการทดลองสรุปในตารางที่ 3.6 – 3.8 และในรูปที่ 3.2 – 3.4

ตารางที่ 3.6 ข้อมูลจากการวิเคราะห์ด้วยเครื่อง DSC แสดงค่าความร้อน (ΔH) ที่คายออกมาจากการเกิดปฏิกิริยาที่สมบูรณ์ (J/g) ของ fresh samples

Resin	Hardener	Accelerator	Heat of Reaction (J/g)				
			100:90	100:85	100:80	100:75	100:70
I	MTHPA1	Unknown	307	325	312	301	305
II	MHHPA	DMP-30	238	250	254	240	270
III		EMI	349	328	339	334	321
IV		BDMA	268	257	251	301	274
VI	MTHPA2	DMP-30	272	267	282	266	285
VII		EMI	348	346	363	366	350
VIII		BDMA	294	289	302	295	304

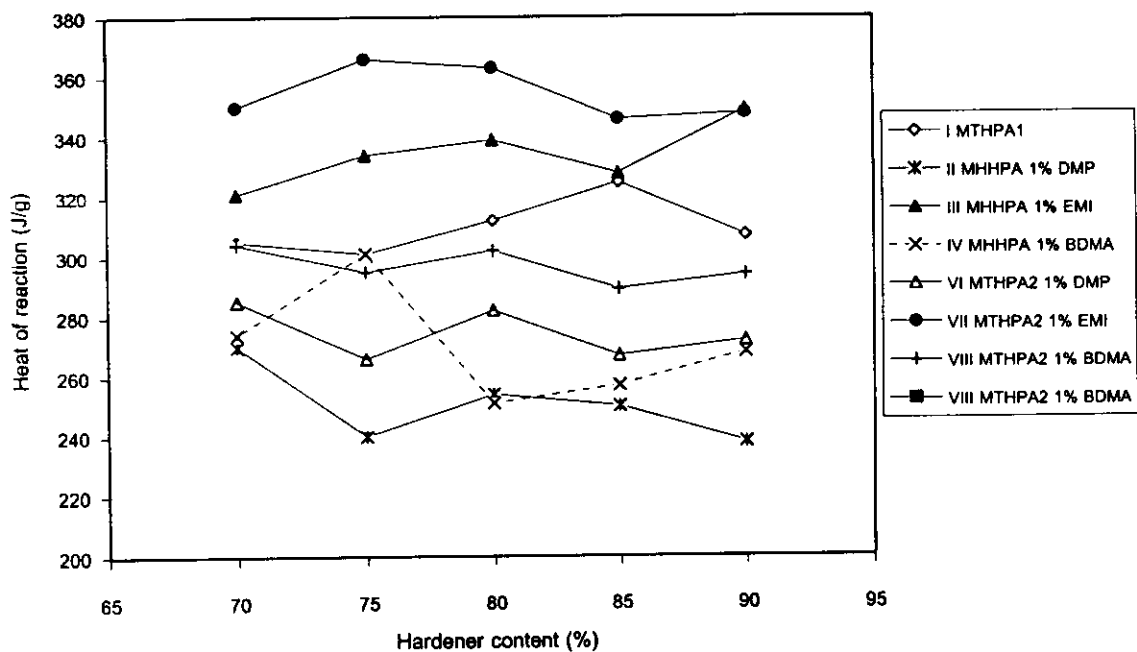
ตารางที่ 3.7 ข้อมูลจากการวิเคราะห์ด้วยเครื่อง DSC แสดงอุณหภูมิ (peak temperature) ที่พิเศษของการคายความร้อนที่เกิดปฏิกิริยาที่สมบูรณ์ของ fresh samples

สูตร	Hardener	Accelerator	Peak temperature (°C)				
			100:90	100:85	100:80	100:75	100:70
I	MTHPA1	Unknown	158.3	158.0	157.7	158.3	158.3
II	MHHPA	DMP-30	167.3	165.3	166.3	165.3	162.3
III		EMI	166.0	162.7	162.3	161.3	160.7
IV		BDMA	166.3	168.3	169.7	163.7	165.3
VI	MTHPA2	DMP-30	168.3	169.3	167.7	167.3	163.7
VII		EMI	166.3	168.0	166.0	164.7	166.0
VIII		BDMA	168.7	168.3	168.0	166.7	165.3

ตารางที่ 3.8 ข้อมูลจากการวิเคราะห์ด้วยเครื่อง DSC แสดง  $T_g$  ของอีพ็อกซี่ที่เกิดปฏิกิริยาที่สมบูรณ์ภายในเครื่อง DSC

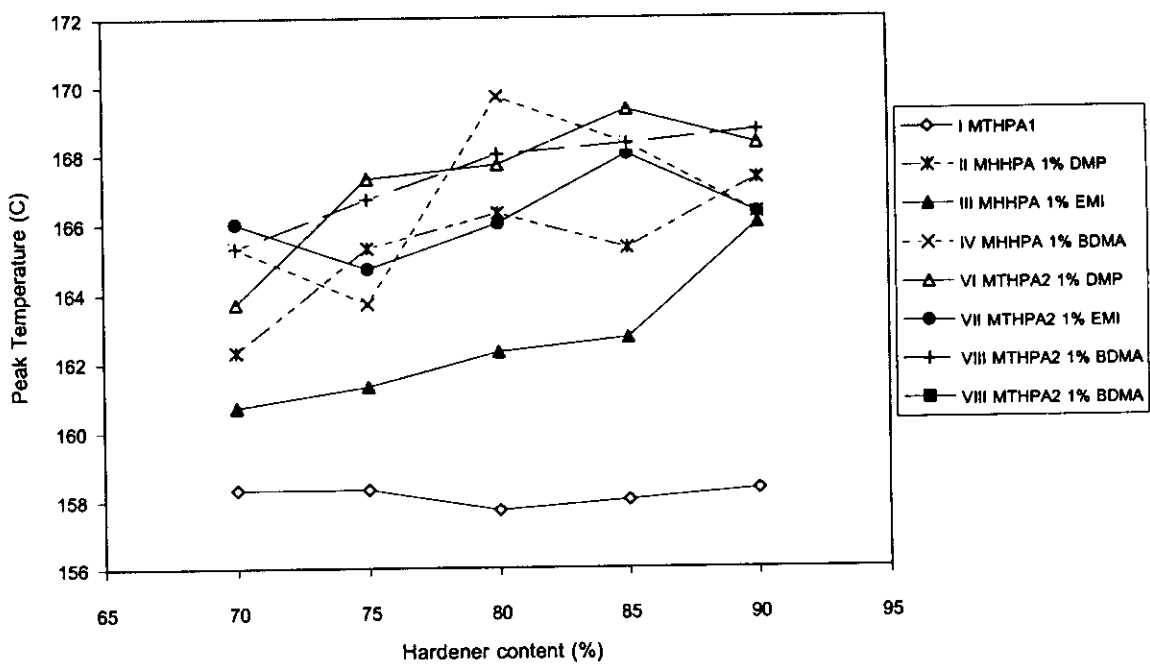
Resin	Hardener	Accelerator	$T_g$ (°C)				
			100:90	100:85	100:80	100:75	100:70
I	MTHPA1	Unknown	114.4	119.1	115.7	113.7	119.4
II	MHHPA	DMP-30	83.4	84.7	93.1	93.1	98.1
III		EMI	146.1	147.7	146.4	146.1	139.1
IV		BDMA	97.4	93.1	88.7	108.4	101.1
VI	MTHPA2	DMP-30	75.7	70.7	83.7	73.7	88.4
VII		EMI	117.4	123.4	131.4	134.4	127.7
VIII		BDMA	75.7	75.7	85.1	80.4	89.1

ตัวอย่างที่นำมาวิเคราะห์นี้จะเรียกว่า fresh sample เนื่องจากยังไม่ผ่านการอบและยังไม่เกิดปฏิกิริยา การได้รับความร้อนภายในเครื่อง DSC จัดว่าเป็นการอบและทำให้เกิดปฏิกิริยาที่สมบูรณ์ ดังนั้น ค่า  $\Delta H$  หรือพื้นที่ใต้กราฟของ exothermic peak ที่ได้นี้จะเท่ากับปริมาณความร้อนที่หายออกมาจากการเกิดปฏิกิริยาที่สมบูรณ์ (100% conversion) ค่า  $\Delta H$  นี้จะถูกนำไปใช้ในการคำนวณหน่วยรีามานการเกิดปฏิกิริยาของอีพ็อกซี่ (curing conversion) ที่ได้จากการอบด้วยเตาในโครงเวฟและดูดความร้อนในการทดลองต่อๆไป รูปที่ 3.2 เป็นกราฟแสดงความสัมพันธ์ระหว่างอัตราส่วนผสมของเรซินและปริมาณความร้อนที่เกิดขึ้นจากการปฏิกิริยา สังเกตได้ว่าด้วยเร่งปฏิกิริยาเมื่อเพิ่มปริมาณความร้อนที่เกิดขึ้น สูตร VII (MTHPA2 + 1% EMI) มีปริมาณความร้อนออกมากที่สุด รองลงมาคือสูตร III (MHHPA + 1% EMI) ในสูตรหนึ่งนั้น ค่าปริมาณความร้อนอยู่ในช่วงที่ใกล้เคียงกันถึงแม้ว่าอัตราส่วนผสมจะต่างกัน อาจเป็น เพราะว่าปริมาณสารทำให้แข็งที่ใช้ในช่วง 75 – 90 phr (per hundred of epoxy) นี้มีค่าใกล้เคียงกันมาก ปริมาณความร้อนที่เกิดขึ้นสามารถเรียงตามลำดับได้ดังนี้ VII > III > I > VIII > VI > IV > II



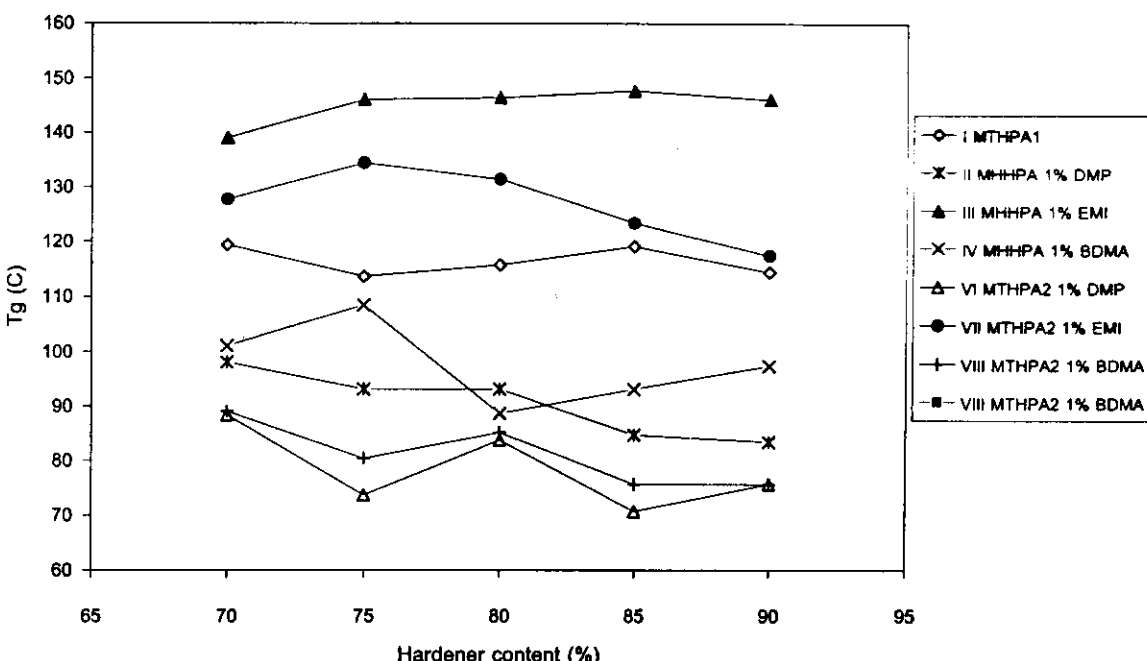
รูปที่ 3.2

กราฟแสดงความสัมพันธ์ระหว่างปริมาณความร้อนจากปฏิกิริยาและส่วนผสม



รูปที่ 3.3

กราฟแสดงความสัมพันธ์ระหว่างอุณหภูมิที่พิคของปฏิกิริยาและส่วนผสม



รูปที่ 3.4 กราฟแสดงความสัมพันธ์ระหว่าง  $T_g$  และส่วนผสม

เป็นที่ทราบกันว่า cross-linking reaction เป็นปฏิกิริยาโดยความร้อน และอีพ็อกซี่เป็นชนวนความร้อน ดังนั้น อุณหภูมิที่จุดสูงสุดนี้น่าจะเป็นตัวบ่งชี้ว่า การให้ความร้อนเพื่อทำให้เกิดปฏิกิริยานั้นไม่ควรจะใช้เกินอุณหภูมิที่ต่ำแห่งนี้ นอกเหนือนี้ต่ำแห่งนี้น่าจะเป็นอุณหภูมิที่ทำให้เกิดปฏิกิริยาได้สมบูรณ์ แต่อย่างไรก็ตาม ข้อมูลที่ได้จากการทดลองนี้อาจไม่สอดคล้องกับกระบวนการอบจริงในภาคอุตสาหกรรม เนื่องจากอัตราการให้ความร้อนและขนาดของชิ้นงานต่างกัน สูตร I มี peak temperature ต่ำสุด และมีค่าใกล้เคียงกันในแต่ละอัตราส่วน สูตรอื่นๆ มี peak temperature สูงกว่าและมีแนวโน้มเพิ่มขึ้นตามปริมาณสารทำให้แข็ง ความแตกต่างที่มากที่สุดของช่วงอุณหภูมิในสูตรหนึ่งๆ มีค่าประมาณ  $5^{\circ}\text{C}$  พิจารณาอีกแง่มุมหนึ่งจะได้ว่า ถ้า peak temperature ต่ำกว่าแสดงว่ามีความหวังไว้ต่อปฏิกิริยามากกว่า อย่างไรก็ตาม อุณหภูมิเหล่านี้อยู่ในช่วงเดียวกันและค่า onset temperature ของทุกสูตรจะอยู่ในช่วง  $130^{\circ}\text{C}$  ขึ้นไป แสดงว่าอุณหภูมิที่จะใช้ในการอบอีพ็อกซี่ควรจะสูงกว่า  $130^{\circ}\text{C}$

Glass transition temperature ( $T_g$ ) แสดงในตารางที่ 3.8 และในรูปที่ 3.4 ความสัมพันธ์ระหว่างอัตราส่วนผสมในแต่ละสูตรกับค่า  $T_g$  มีทิศทางไม่แน่นอนเมื่อสารทำให้แข็งมีปริมาณเพิ่มขึ้น นั่นคือ มีแนวโน้มเพิ่มขึ้นหรือมีทิ้งค่าเพิ่มขึ้นและลดลง หรือมีค่าค่อนข้างคงที่ แต่หากดูรูปที่ 3.4 จะเห็นว่าสามารถแบ่งเรซินตามค่า  $T_g$  ได้เป็น 2 กลุ่มใหญ่ โดยกลุ่มแรกจะมีค่า  $T_g$  สูงกว่า  $110^{\circ}\text{C}$  ซึ่งได้แก่ สูตรที่ I, III และ VII ส่วนที่เหลือจะมีค่า  $T_g$  ต่ำกว่า  $110^{\circ}\text{C}$  ในทุกอัตราส่วน เป็นที่น่าสังเกตว่า EMI จะให้ค่า  $T_g$  สูงสุดในบรรดากรุ่นของตัวเร่งปฏิกิริยา

#### สรุปผลการทดลองได้ดังนี้

- $\Delta H$  มีค่าใกล้เคียงกันทุกอัตราส่วนผสม เมื่อใช้hardenerและaccelerator ชนิดเดียวกัน
- สูตร VIII (MTHPA2, 1%BDMA) มีปริมาณความร้อนไกล์เคียงกับสูตร I (MTHPA1)
- สูตร VII (MTHPA2, 1% EMI) มีปริมาณความร้อนออกมากที่สุด

### 3.1.3 การทดลองอบอีพ็อกซี่ด้วยเตาไมโครเวฟและปริมาณปฏิกิริยาที่เกิดขึ้น

การทดลองนี้เป็นการศึกษาเบื้องต้นถึงความสามารถในการอบด้วยเตาไมโครเวฟ ของอีพ็อกซี่เรซินสูตรค่างๆ และเปรียบเทียบปริมาณการเกิดปฏิกิริยาของเรซินภายใต้สภาวะการอบที่ต่างกัน โดยเลือกสูตรที่มีสารทำให้แข็ง 80 phr และมีตัวเร่งปฏิกิริยา 1%<sup>2</sup> (สูตร I/3 – VII/3 สูตรเดียวกันกับผลการทดลองที่ 3.1.2) เบลงในเบ้าเทปอลอนที่มีขนาดเส้นผ่าศูนย์กลาง 3 mm ลึก 2 mm อบด้วยเตาไมโครเวฟที่สภาวะต่างๆ ตัวแปรคือ ระดับกำลัง (level 2 - 5) และ เวลา (2 - 14 นาที) และวัดอุณหภูมิของตัวอย่างหลังการอบทันทีภายนอกเตาไมโครเวฟ โดยวัดให้แล้ว เสร็จภายใน 10 วินาที เก็บตัวอย่างที่อบแล้วไว้ในช่องแข็งของตู้เย็นจนกว่าจะนำไปวิเคราะห์ด้วยเครื่อง DSC เนื่องจากเป็นการทดลองเมื่อต้นจึงใช้เบ้าพิมพ์ขนาดเล็ก

ผลการทดลองพบว่าไม่ควรใช้ระดับกำลังสูงๆ เพื่อระดับกำลังสูงๆ เพราะเรซินจะไหม้หรือเกิดฟองอากาศ ดังแสดงในตารางที่ 3.9 ตัวอย่างที่มีลักษณะดี หมายถึง เป็นของแข็งและไม่มีฟองอากาศ บางตัวอย่างเกิดปฏิกิริยาไม่สมบูรณ์หรือเกิดได้เน้อจะมีลักษณะคล้ายเยลลี่ ตัวอย่างที่มีฟองอากาศจะเริ่มเกิดขึ้นที่บริเวณกลางชั้นงานก่อน และจะมีฟองอากาศเพิ่มมากขึ้นเมื่อเวลาที่ใช้ในการอบเพิ่มขึ้น หากสภาวะในการอบรุนแรงมาก ตัวอย่างก็จะไหม้และมีฟองอากาศมาก เป็นที่สังเกตว่าการไหม้จะเริ่มเกิดขึ้นในส่วนกลางชั้นงาน จะเลือกเอาบริเวณกลางชั้นงานหรือส่วนใกล้เคียงที่มีลักษณะดี คือ ไม่มีฟองอากาศและไม่ไหม้ นำไปวิเคราะห์ด้วยเครื่อง DSC ภาระงานเรซินในเตาไมโครเวฟ จะวางในบริเวณจุดศูนย์กลางของฐานหมุน

รูปที่ 3.5 และ 3.6 แสดงปริมาณการเกิดปฏิกิริยา (conversion) ของอีพ็อกซี่เรซินภายหลังการอบด้วยเตาไมโครเวฟที่สภาวะต่างๆ ของเรซินทุกสูตร พบว่าเรซินส่วนใหญ่จะเกิดปฏิกิริยามากกว่า 90% ปริมาณการเกิดปฏิกิริยาภายในเตาไมโครเวฟค่อนข้างได้จากการเปรียบเทียบค่าปริมาณความร้อนที่คายออกมานะ (heat of reaction,  $\Delta H$ ) ของตัวอย่างที่อบด้วยเตาไมโครเวฟเทียบกับตัวอย่างที่เรียกว่า fresh sample และเขียนเป็นสูตรดังนี้

$$\text{Conversion (\%)} = \frac{100 - [(\Delta H_{\text{microwave cured sample}}) / (\Delta H_{\text{fresh sample}})] \times 100}{100} \quad (3.2)$$

รูปที่ 3.7 และรูปที่ 3.8 แสดงค่าอุณหภูมิของชั้นตัวอย่างที่วัดได้ทันทีที่อบแล้วเสร็จเมื่อใช้ระดับกำลังที่ 2 และ 3 ตามลำดับ อุณหภูมิที่วัดได้มีเมื่อใช้ระดับกำลัง 2 (รูปที่ 3.7) มีแนวโน้มลดลงเมื่อใช้เวลานานขึ้น ในขณะที่ อุณหภูมิที่วัดได้ในรูปที่ 3.8 เมื่อใช้ระดับกำลัง 3 มีแนวโน้มคงที่ อุณหภูมิที่ลดลงเมื่อเวลาอบนานขึ้นนั้น น่าจะเกิดจากการที่เรซินเกิดปฏิกิริยาไปแล้วและอาจเป็นข้อผิดพลาดในการวัด (experimental error) เพราะข้อควรระวังในการใช้เทอร์โมมิเตอร์แบบอินฟราเรดคือระยะไฟกัส เนื่องจากเบ้าเทปอลอนที่ใช้ในการอบมีขนาดเล็กเมื่อเทียบกับช่องใส่ตัวอย่างของเตาไมโครเวฟ ซึ่งอาจเป็นขนาดที่ไม่เหมาะสมที่จะได้รับคลื่นไมโครเวฟกระจายทั่วชั้นงาน ทำให้ปริมาณการเกิดปฏิกิริยาที่วิเคราะห์ได้มีข้อผิดพลาดเล็กน้อย แต่คิดว่าเป็นข้อผิดพลาดที่ยอมรับได้ อย่างไรก็ตาม การทดลองตอนนี้เป็นการตรวจสอบความสามารถในการอบอีพ็อกซี่เรซินด้วยเตาไมโครเวฟรุ่นนี้ จึงใช้ปริมาณเรซินไม่มากนัก เป็นการประหยัดเรซินและเทปอลอน เมื่อจะทำการเตรียมชั้นงานสำหรับการทดสอบสมบัติเชิงกล จะเตรียมชั้นงานขนาดใหญ่ซึ่งจะมีพื้นที่ในการรับคลื่นไมโครเวฟมากขึ้นและสม่ำเสมอทั่วทั้งชั้นงาน

ในการทดลองเมื่อต้นใช้ระดับกำลังวัตต์สูงและเวลาสั้นๆ เช่น ระดับ 5 ในเวลา 2 นาที ปรากฏว่าชั้นงานใหม้หรือมีฟองอากาศมาก จึงทำการลดระดับกำลังวัตต์และเพิ่มระยะเวลาในการอบให้นานขึ้น จึงจะได้ชั้นงานที่มี

<sup>2</sup> ปริมาณที่ระบุเป็น % และ phr นี้มีความหมายเดียวกันคือ เป็นปริมาณที่เทียบกับอีพ็อกซี่ 100 ส่วนโดยน้ำหนัก เช่น อีพ็อกซี่ 100 g ใช้สารทำให้แข็ง 80 g และตัวเร่งปฏิกิริยา 1 g

ลักษณะเดียวกัน ซึ่งสอดคล้องกับผลการวิจัยของนักวิจัยอื่นๆ ที่ใช้เวลาค่าอนรัตน์นาan เนื่องจากงานวิจัยนี้ใช้เดาไม่corefepที่ใช้ในครัวเรือน ซึ่งต่างจากการวิจัยของนักวิจัยอื่นๆ ที่ประดิษฐ์เดาในcorefepขึ้นมาเอง ทำให้การเปรียบเทียบผลการทดลองเป็นไปได้ระดับหนึ่งเท่านั้น อย่างไรก็ตาม เดาในcorefepที่ใช้นี้จะมีระยะเวลาในการปล่อยไม่corefepออกมานเป็นช่วงๆ ซึ่งอยู่กับระดับกำลังที่ใช้ เช่น ที่ระดับกำลังเท่ากับ 2 จะปล่อยไม่corefepออกมานเป็นเวลาเพียง 18% ของระยะเวลาที่กำหนดให้เดาในcorefepทำงาน คือ ในเวลา 17 วินาที เดาในcorefepจะปล่อยคลื่นออกมานเพียง 3 วินาที และที่ระดับกำลังเท่ากับ 3 จะปล่อยไม่corefepออกมานเป็นเวลาเพียง 29% ของระยะเวลาที่กำหนดให้เดาในcorefepทำงาน คือ ในเวลา 17 วินาที เดาในcorefepจะปล่อยคลื่นออกมานเพียง 5 วินาที ดังนั้น อาจกล่าวได้ว่าในการทดลองที่ใช้เวลา 16 นาที นั้น แท้จริงจะใช้ระยะเวลาในการให้ความร้อนจากไม่corefepเพียง 2.88 นาที และ 4.64 นาที เมื่อใช้ระดับกำลังที่ 2 และ 3 ตามลำดับ จะเห็นว่าเวลาที่ใช้ในการอบด้วยเดาในcorefepนี้สั้นมากเมื่อเปรียบเทียบกับการอบด้วยตู้อบความร้อนที่ต้องใช้เวลาถึง 15 นาที ที่  $150^{\circ}\text{C}$  ถึงแม้ว่าระดับกำลัง 2 จะให้ปริมาณการเกิดปฏิกิริยาค่อนข้างสูง (95%) ในหลายสูตร แต่มีเมื่อเทียบกับการใช้ระดับกำลัง 3 จะพบว่าที่ระดับกำลัง 3 นั้น ปริมาณการเกิดปฏิกิริยามีค่าตั้งแต่ 95% ขึ้นไป ผลการทดลองของIV/3 ที่เวลา 2 นาที ในรูปที่ 3.6 มีค่าค่อนข้างต่ำ (90%) อาจจะเป็นข้อผิดพลาดในการทดลอง ขอให้สังเกตว่าผลการทดลองนี้จะไม่สอดคล้องกับผลการทดลองต่อมา ที่ใช้ขนาดเบ้าเทफลอนขนาดใหญ่ ในขณะที่ผลการทดลองนี้แสดงให้เห็นว่า ที่ระดับกำลัง 2 สามารถทำให้อีพ็อกซีแข็งตัวได้ คือเกิดปฏิกิริยาเคมี ถ้าใช้เบ้าเทฟลอนที่มีขนาดเส้นผ่าศูนย์กลาง 17 – 20 mm และให้ชั้นงานมีความหนา 1 – 3 mm จะไม่สามารถใช้ระดับกำลัง 2 ได้เลย ถึงแม้ว่าจะใช้เวลาถึง 25 นาที อีพ็อกซีจะไม่เป็นของแข็ง อย่างไรก็ตาม ในการทดลองต่อๆ มา ทำให้ทราบว่าไม่corefepเหมาะกับตัวอย่างที่มีขนาดค่อนข้างหนามากกว่าตัวอย่างที่ค่อนข้างบาง และตัวอย่างขนาดเล็กเกินไป เช่น เส้นผ่าศูนย์กลาง 1 cm ไม่เหมาะสมที่จะใช้กับเดาในcorefepรุ่นนี้ในกระบวนการวิจัยนี้

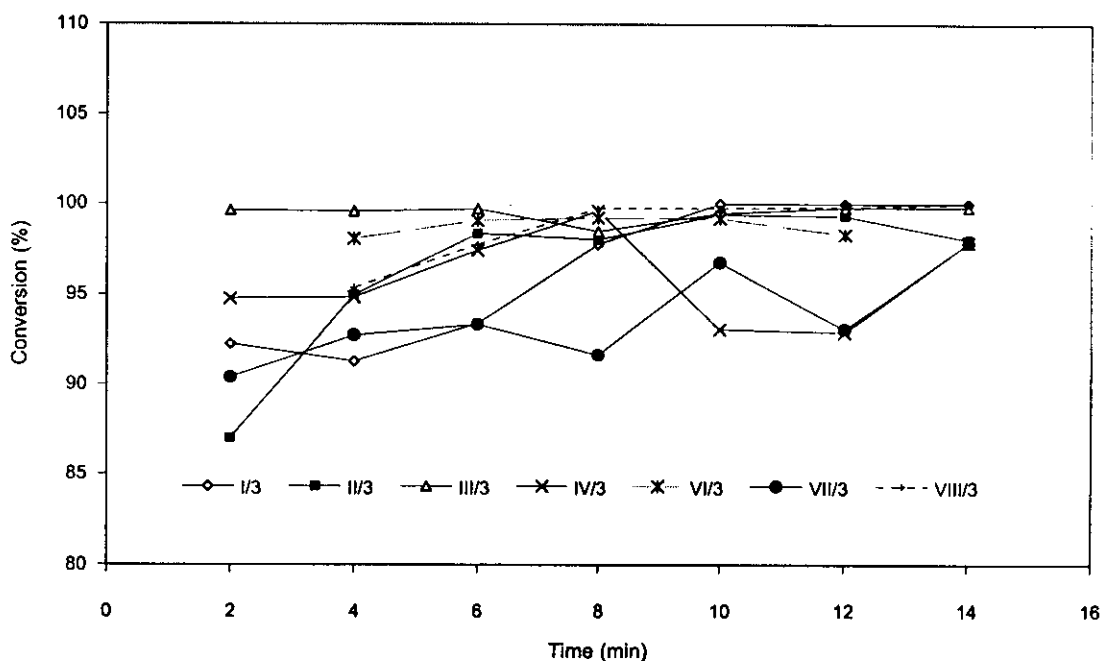
ได้มีรายงานการวิจัยที่แสดงอุณหภูมิของตัวอย่างหลังการอบด้วยเดาในcorefep มีความสัมพันธ์กับระยะเวลาในการอบเป็นรูปประวัติค่าว่า แต่ผลการทดลองในโครงการวิจัยนี้ต่างจากการรายงานดังกล่าว คือ อุณหภูมิที่วัดได้มีค่าลดลงตามเวลาเมื่อใช้ระดับกำลัง 2 และมีแนวโน้มคงที่เมื่อใช้ระดับกำลัง 3 อุณหภูมิที่วัดได้นี้ไม่แสดงความสัมพันธ์กับปริมาณปฏิกิริยาที่เกิดขึ้นอย่างชัดเจน แต่มีแนวโน้มว่าการใช้ระดับกำลังสูงกว่า จะทำให้เกิดปฏิกิริยามากกว่าและตัวอย่างมีอุณหภูมิสูงกว่า นอกจากนี้ อุณหภูมิที่วัดได้นี้ไม่สอดคล้องกับ peak temperature ของ fresh sample ที่วิเคราะห์ด้วยเครื่อง DSC (รูปที่ 3.3) อุณหภูมิที่วัดได้ทั้งในรูปที่ 3.7 และ 3.8 มีค่าต่ำกว่า peak temperature ของ fresh sample ซึ่งส่วนใหญ่มีอุณหภูมิสูงกว่า  $160^{\circ}\text{C}$  สันนิษฐานว่าอุณหภูมิที่วัดได้นี้อาจจะเป็นความร้อนที่คายออกมานจากการเกิดปฏิกิริยา และการเกิดปฏิกิริยาน่าจะเกิดได้เร็วภายในเวลาที่อบ 2 – 4 นาที (คุณภาพการเกิดปฏิกิริยาที่มีแนวโน้มคงที่เมื่อเวลาในการอบเพิ่มขึ้นดังแสดงในรูปที่ 3.5 และ 3.6) เมื่อให้เวลาในการอบนานขึ้นทำให้ชั้นตัวอย่างที่เกิดปฏิกิริยาแล้วมีเวลาในการถ่ายเทความร้อนนานขึ้น ดังนั้น อุณหภูมิที่วัดได้ในระดับกำลัง 2 จึงมีค่าลดลงตามเวลาที่เพิ่มขึ้น การใช้ระดับกำลังสูงกว่า หมายถึงการใช้กำลังวัตต์ หรือพลังงานสูงกว่า ส่งผลให้เกิดปฏิกิริยามากกว่าและมีความร้อนคายออกมามากกว่า ดังนั้น อุณหภูมิที่วัดได้ในระดับกำลัง 3 จึงมีค่าสูงกว่า

#### สรุปผลการทดลอง

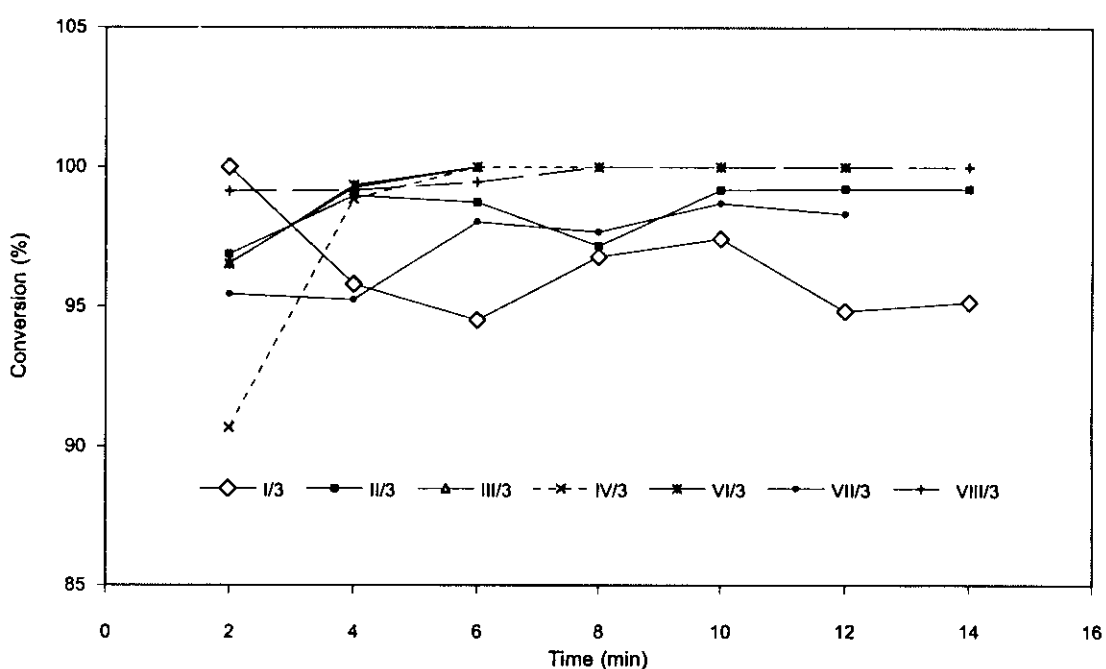
1. อีพ็อกซีเรซินทุกสูตรของโครงการวิจัยนี้สามารถอบด้วยเดาบนไม่corefepที่ใช้ในครัวเรือนได้และสามารถทำให้เกิดปฏิกิริยาเชื่อมโยงไม่เลกูลได้สมบูรณ์
2. การอบด้วยเดาในcorefepจะใช้เวลาสั้นกว่าการอบด้วยตู้อบความร้อน
3. การอบด้วยเดาในcorefepควรใช้ระดับกำลังค่อนข้างต่ำและเวลานาน

ตารางที่ 3.9 ลักษณะทางกายภาพของตัวอย่างที่อบด้วยเตาไมโครเวฟที่สภาวะต่างๆ

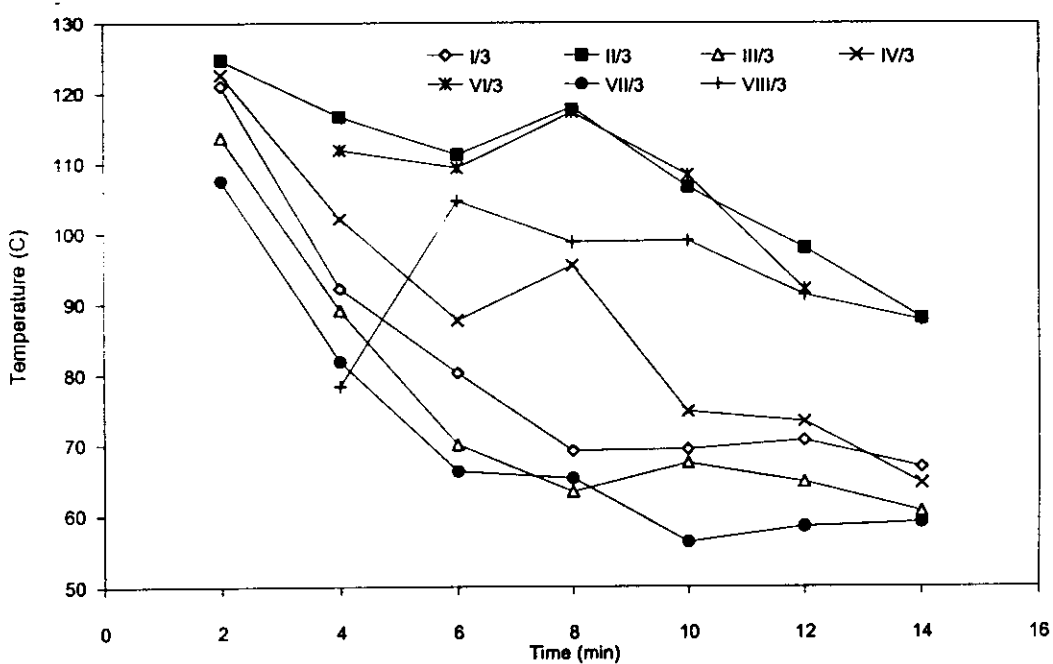
	I/3	II/3	III/3	IV/3	V/3	VII/3	VIII/3
Level 2 2 min	ดี	ดี	ดี	ดี	เหมือนเบลล์	ดี	เหมือนเบลล์
4 min	ดี	ดี	ดี	ดี	ดี	ดี	ดี
6 min	ดี	ดี	ดี	ดี	ดี	ดี	ดี
8 min	ดี	ดี	ดี	ดี	ดี	ดี	ดี
10 min	ดี	ดี	ดี	ดี	ดี	ดี	ดี
12 min	ดี	ดี	ดี	ดี	ดี	ดี	ดี
14 min	ดี	ดี	ดี	ดี	ดี	ดี	ดี
Level 3 2 min	ดี	ดี	มีฟองอากาศ	มีฟองอากาศ	ดี	ดี	ดี
4 min	ดี	ดี	มีฟองอากาศ	มีฟองอากาศ	มีฟองอากาศ	ดี	ดี
6 min	มีฟองอากาศ	มีฟองอากาศ	มีฟองอากาศ	มีฟองอากาศ	มีฟองอากาศ	ดี	ดี
8 min	มีฟองอากาศ	มีฟองอากาศ	-	-	-	ดี	มีฟองอากาศ
10 min	มีฟองอากาศ	มีฟองอากาศ	-	-	-	มีฟองอากาศ	มีฟองอากาศ
12 min	มีฟองอากาศ	มีฟองอากาศ	-	-	-	มีฟองอากาศ	มีฟองอากาศ
14 min	มีฟองอากาศ	ใหม่	-	-	-	มีฟองอากาศ	มีฟองอากาศ
Level 4 2 min	-	ดี	มีฟองอากาศ	ใหม่	มีฟองอากาศ	มีฟองอากาศ	มีฟองอากาศ
4 min	-	มีฟองอากาศ	มีฟองอากาศ	ใหม่	มีฟองอากาศ	มีฟองอากาศ	มีฟองอากาศ
6 min	-	-	ใหม่	ใหม่	-	มีฟองอากาศ	มีฟองอากาศ
Level 5 2 min	-	ใหม่	ใหม่	-	มีฟองอากาศ	ใหม่	มีฟองอากาศ
4 min	-	-	-	-	-	-	มีฟองอากาศ



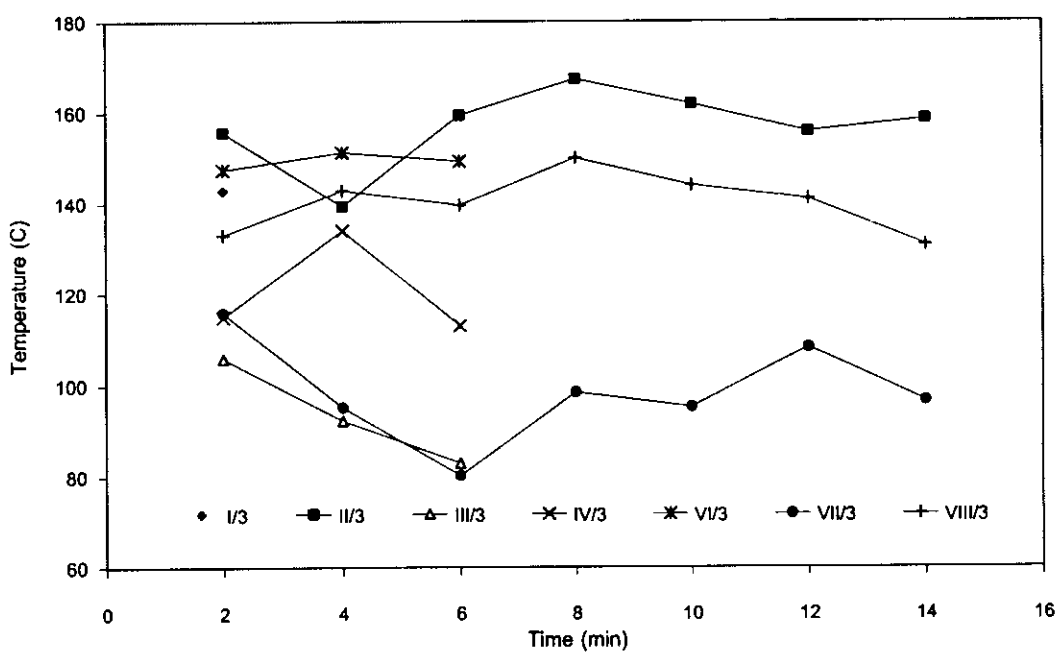
รูปที่ 3.5 กราฟแสดงความสัมพันธ์ระหว่างปริมาณการเกิดปฏิกิริยาและระยะเวลาในการอบตัวอย่างด้วยเตาไมโครเวฟภายใต้ระดับกำลัง 2



รูปที่ 3.6 กราฟแสดงความสัมพันธ์ระหว่างปริมาณการเกิดปฏิกิริยาและระยะเวลาในการอบตัวอย่างด้วยเตาไมโครเวฟภายใต้ระดับกำลัง 3



รูปที่ 3.7 กราฟแสดงความสัมพันธ์ระหว่างอุณหภูมิของชั้นงานภายหลังการอบและระยะเวลาในการอบตัวอย่างด้วยเตาไมโครเวฟภายใต้ระดับกำลัง 2



รูปที่ 3.8 กราฟแสดงความสัมพันธ์ระหว่างอุณหภูมิของชั้นงานภายหลังการอบและระยะเวลาในการอบตัวอย่างด้วยเตาไมโครเวฟภายใต้ระดับกำลัง 3

## 3.2 อีพ็อกซี่เรซินอบด้วยคลีนไมโครเวฟสำหรับชั้นตัวอย่างบาง

### 3.2.1 สมบัติเชิงกล

เครื่องอีพ็อกซี่เรซินสูตรต่างๆ (I – VIII) ที่มีสารทำให้แข็ง 80 phr โดยเดิมตัวเร่งปฏิกิริยา 1% และ 4% การใช้เตาไมโครเวฟนี้จะใช้งานประมาณ 1 ชั่วโมง แล้วหุดพักประมาณ 30 นาที เนื่องจากเตาจะร้อนมากและจาก การทดลองพบว่ามีผลต่อการเกิดปฏิกิริยาของเรซิน ตัวอย่างที่ได้จากการอบด้วยเตาไมโครเวฟจะมีผิวน้ำเป็นคลีน วงกลม เนื่องจากการหมุนของจานรอง จึงต้องขัดผิวน้ำให้เรียบ ทำให้ความหนาของริ้วน้ำมีขนาดลดลง จาก ความหนาเดิม 1.4 mm ลดลงเป็น 1 mm หรือน้อยกว่า ได้ทำการทดสอบเพิ่มความหนาของตัวอย่างให้หนากว่า 1.4 mm แต่ไม่เป็นผลสำเร็จ เนื่องจากการใส่เรซินลงในเบ้าเทफลอนมากขึ้น จะทำให้เกิดคลีนที่ผิวน้ำมากขึ้นและถูก เหวี่ยงล้นออกมานอกเบ้า ข้อจำกัดนี้เกิดขึ้น เพราะเบ้าเทฟลอนที่ใช้มีความลึกเพียง 4 mm หากทำให้ลึกมากกว่านี้ เช่น 6 - 8 mm จะต้องใช้แผ่นเทฟลอนที่หนากว่านี้มาก แผ่นเทฟลอนที่นำมากลังเป็นแม่พิมพ์มีความหนาเพียง 1 cm จึงจะสามารถได้เพียง 4 mm เพื่อให้แม่พิมพ์มีความหนาที่ฐาน 6 mm และรักษาความแข็งแรงของฐานนี้ไว้ ถึงแม้ว่าเทฟลอนจะดูดซับพลังงานไมโครเวฟได้น้อย แต่ปฏิกิริยาการเชื่อมโดยไม่เลกุช่องอีพ็อกซี่ เป็นปฏิกิริยา คายความร้อนและมีความร้อนออกมามาก เชื่อว่าอุณหภูมิที่เกิดขึ้นมีค่าไม่น้อยกว่า 150 °C ใน การใช้เตาไมโครเวฟ 1 ชั่วโมง จะทำการอบเรซินได้ประมาณ 4 ครั้ง ดังนั้นเบ้าเทฟลอนจะเริ่มเนื้อและแผ่นนูนขึ้นมาบริเวณส่วนกลาง จึง เป็นสาเหตุหลักที่ทำให้ไม่สามารถเจาะลึกเกิน 4 mm ได้ ตัวอย่างที่ได้จากการอบด้วยตู้อบมีผิวน้ำเรียบไม่มีการ ขัด การกลึงชั้นงานเป็นรูปดัมเบลล์ การตัดชั้นงานเป็นรูปสี่เหลี่ยมและการนำกรูปดัววี ต้องใช้ความระมัดระวังและ ขึ้นอยู่กับทักษะของผู้ทำ เนื่องจากชั้นตัวอย่างอีพ็อกซี่ประมาณ 1 mm อาจจะเกิดการแตกหัก ทำให้เสียเวลาในการ เครื่องซั่นงานในขั้นตอนนี้มาก

เบ้าเทฟลอนที่กล่าวในหัวข้อ 3.1.3 มีขนาดเส้นผ่าศูนย์กลาง 3 mm ปริมาณเรซินที่ใช้ประมาณ 1.5 กรัม ชั้นตัวอย่างมีขนาดหนาประมาณ 2 mm สภาพการอบที่เหมาะสมคือระดับกำลัง 2 เวลา 4-14 นาที เมื่อใช้ระดับ กำลัง 3 ชั้นงานมีฟองอากาศและเริ่มใหม่ถ้าใช้เวลานานขึ้น ไม่สามารถใช้ระดับกำลัง 4 ได้ เพราะชั้นงานใหม่ จาก การทดสอบต่ำมาพบว่าสภาวะการอบเรซินขึ้นอยู่กับปริมาณหรือขนาดของเรซินด้วย เมื่อทำการอบเรซินที่มีปริมาณ มากขึ้น จะต้องใช้สภาวะที่รุนแรงขึ้นดังเช่นการทดสอบนี้ที่ใช้เรซินประมาณ 57 กรัม ความหนาของชั้นงานในการ ทดสอบต่ำนี้ประมาณ 1 – 1.4 mm

เนื่องจากการทดสอบนี้ต้องการใช้ชั้นทดสอบที่มีขนาดตามมาตรฐาน ASTM จึงต้องเตรียมแม่พิมพ์ที่มี ขนาดใหญ่ จำเป็นต้องหาสภาวะการอบที่เหมาะสมใหม่ พบว่าจำเป็นต้องใช้ระดับกำลังของเตาไมโครเวฟอยู่ในช่วง 3 และ 4 ในเวลา 10 - 14 นาที จึงจะได้ชั้นงานที่ดี ที่ระดับกำลัง 5 จะเกิดการใหม่บริเวณกลางชั้นงาน การเตรียม ชั้นงานในแต่ละสูตรจะเลือกใช้สภาวะที่ดีสำหรับสูตรนั้นๆ ไม่จำเป็นต้องกำหนดใช้สภาวะเดียวกัน เรซินที่อบด้วย ระดับกำลัง 2 ไม่แข็งตัวถึงแม้จะเพิ่มเวลาเป็น 20 นาที เป้าหมายในการทดสอบนี้ต้องการใช้เวลาในการอบไม่เกิน 15 นาที เพราะเวลาที่ใช้ในการอบผลิตภัณฑ์ในโรงงานจะใช้เวลา 15 นาที ที่อุณหภูมิ 150 °C แต่มีการทดสอบใช้ เวลาอบ 20 นาที ด้วยเพื่อเปรียบเทียบสมบัติเชิงกล ระดับกำลังและเวลาที่ใช้ในการอบด้วยเตาไมโครเวฟของอีพ็อก ซีเรซินสูตรต่างๆแสดงในตารางที่ 3.10 ส่วนการอบด้วยตู้อบนั้น การทดสอบตัวของเรซินขึ้นอยู่กับปริมาณตัวเร่ง ปฏิกิริยาและขนาดของชั้นงาน จากการทดสอบพบว่าเรซินที่มีตัวเร่งปฏิกิริยา 1% ไม่แข็งตัวสมบูรณ์เมื่ออบด้วย ตู้อบใช้เวลา 15 นาที ที่อุณหภูมิ 150 °C ต้องใช้เวลา 20 นาที จึงจะแข็งตัวดี ในทางตรงกันข้าม หากตัวอย่างมี ขนาดเล็กๆ เช่น เส้นผ่าศูนย์กลาง 1 นิ้ว หนา 2 mm จะแข็งตัวได้เมื่อใช้เวลา 15 นาที

การทดสอบสมบัติเชิงกลนี้มีการเบรย์บเทียนเรซินที่อบด้วยตู้อบที่อุณหภูมิ 150 °C โดยใช้เวลาในการอบที่ 14 นาที และ 20 นาที สำหรับเรซินที่มีตัวเร่งปฏิกิริยา 4% และ 1% ตามลำดับ กับเรซินที่อบด้วยเตาไมโครเวฟตาม ตารางที่ 3.10 ผลการทดสอบ tensile properties และในตารางที่ 3.11 – 3.14 ผลการทดสอบ flexural properties

แรงในตารางที่ 3.15 – 3.18 และผลการทดสอบ impact strength แสดงในตารางที่ 3.19 – 3.21 ค่า flexural elasticity ที่ได้จากการทดสอบแบบ 3-point bending แสดงผลในรูป modulus

ตารางที่ 3.10 สูตรเรซินและสภาวะการอบด้วยเตาไมโครเวฟ

Resin	Hardener	Accelerator	Level	Time (min)
I	MTHPA1	Unknown	4	10, 14, 20
II	MHHPA	1%, 4% DMP	4	10, 14, 20
III	MHHPA	1%, 4% EMI	3	10, 14, 20
IV	MHHPA	1%, 4% BDMA	3	10, 14, 20
VI	MTHPA2	1%, 4% DMP	4	10, 14, 20
VII	MTHPA2	1%, 4% EMI	3	10, 14, 20
VIII	MTHPA2	1%, 4% BDMA	4	10, 14, 20

ตารางที่ 3.11 Tensile properties ของเรซินที่อบด้วยตู้อบที่อุณหภูมิ  $150^{\circ}\text{C}$  เป็นเวลา 14 นาที เรซินผสมตัวเร่งปฏิกิริยา 4%

Resin	E (GPa)	$\sigma_b$ (MPa)	$\epsilon_b$ (%)
I	$1.07 \pm 0.20$	$55.17 \pm 8.31$	$4.96 \pm 2.07$
II	$1.05 \pm 0.10$	$37.53 \pm 8.33$	$3.62 \pm 0.82$
III	$1.13 \pm 0.15$	$81.37 \pm 10.49$	$7.27 \pm 2.2$
IV	$1.28 \pm 0.33$	$99.46 \pm 6.22$	$8.92 \pm 1.39$
VI	$1.08 \pm 0.08$	$76.23 \pm 13$	$5.13 \pm 1.09$
VII	$1.02 \pm 0.19$	$56.18 \pm 9.54$	$6.03 \pm 2.37$
VIII	$1.08 \pm 0.25$	$65.60 \pm 11.83$	$7.37 \pm 2.5$

ตารางที่ 3.12 Tensile properties ของเรซินที่อบด้วยตู้อบที่อุณหภูมิ  $150^{\circ}\text{C}$  เป็นเวลา 20 นาที เรซินผสมตัวเร่งปฏิกิริยา 1%

Resin	E (GPa)	$\sigma_b$ (MPa)	$\epsilon_b$ (%)
I	$1.22 \pm 0.22$	$70.86 \pm 2.14$	$9.7 \pm 1.34$
II	$0.79 \pm 0.23$	$33.09 \pm 9.6$	$4.33 \pm 1.18$
III	$0.68 \pm 0.05$	$48.32 \pm 2.76$	$5.5 \pm 1.5$
IV	$1.08 \pm 0.10$	$36.01 \pm 7.49$	$4.37 \pm 1.46$
VI	$0.75 \pm 0.13$	$54.97 \pm 11.65$	$5.50 \pm 1.18$
VII	$0.73 \pm 0.10$	$47.37 \pm 9.91$	$5.77 \pm 1.08$
VIII	$1.05 \pm 0.07$	$54.27 \pm 9.29$	$6.41 \pm 2.05$

ตารางที่ 3.13 Tensile properties ของเรซินที่อบด้วยเตาในโครงสร้างเร่งปฏิกรณ์ 4% ยกเว้นสูตร I

Resin	Level	Time (min)	E (GPa)	$\sigma_b$ (MPa)	$\epsilon_b$ (%)
I	4	10	1.17 ± 0.12	57.32 ± 7.95	5.46 ± 0.90
		14	0.92 ± 0.21	61.03 ± 11.86	5.58 ± 0.82
		20	1.17 ± 0.06	49.64 ± 7.17	4.97 ± 0.8
II	4	10	0.98 ± 0.09	45.76 ± 8.33	4.83 ± 0.96
		14	1.02 ± 0.05	63.95 ± 12.10	6.81 ± 1.65
		20	1.1 ± 0.06	43.64 ± 5.09	4.47 ± 0.41
III	3	10	0.93 ± 0.04	33.68 ± 5.49	4.31 ± 0.7
		14	0.84 ± 0.07	41.68 ± 7.64	5.05 ± 1.02
		20	1.14 ± 0.13	43.42 ± 5.01	4.35 ± 0.64
IV	3	10	0.90 ± 0.10	53.68 ± 2.68	5.96 ± 0.55
		14	0.98 ± 0.12	48.62 ± 8.78	5.27 ± 0.45
		20	1.13 ± 0.16	42.64 ± 5.81	4.53 ± 0.48
VI	4	10	0.96 ± 0.09	48.16 ± 7.62	5.17 ± 0.64
		14	1.05 ± 0.08	52.46 ± 15.07	7.32 ± 1.53
		20	1.11 ± 0.17	43.23 ± 9.91	4.31 ± 0.62
VII	3	10	0.99 ± 0.18	56.56 ± 16.07	5.79 ± 1.55
		14	0.99 ± 0.11	43.23 ± 9.91	4.13 ± 0.18
		20	1.09 ± 0.07	49.48 ± 7.22	5.24 ± 1.02
VIII	4	10	1.22 ± 0.08	60.98 ± 5.28	5.42 ± 0.48
		14	1.05 ± 0.06	61.45 ± 4.09	6.28 ± 0.65
		20	1.29 ± 0.13	48.25 ± 4.09	4.57 ± 1.71

ตารางที่ 3.14 Tensile properties ของเรซินที่อบด้วยเตาไมโครเวฟ เรซินผสานด้วยเร่งปฏิกิริยา 1% ยกเว้นสูตร I

Resin	Level	Time (min)	E (GPa)	$\sigma_b$ (MPa)	$\epsilon_b$ (%)
I	4	10	1.17 ± 0.12	57.32 ± 8.31	5.46 ± 0.91
		14	0.92 ± 0.21	61.03 ± 11.86	5.58 ± 0.82
II	4	10	1.04 ± 0.10	57.91 ± 7.17	5.80 ± 0.68
		14	1.12 ± 0.03	50.29 ± 5.30	4.96 ± 0.38
III	3	14	0.91 ± 0.08	59.61 ± 8.01	7.29 ± 1.86
IV	3	14	1.29 ± 0.14	39.30 ± 4.60	3.46 ± 0.49
VI	4	10	0.25 ± 0.05	40.43 ± 12.09	4.10 ± 0.39
		14	0.99 ± 0.12	49.24 ± 10.52	5.33 ± 0.81
VII	3	14	1.13 ± 0.06	70.78 ± 7.12	9.26 ± 3.30
VIII	4	10	1.13 ± 0.12	49.48 ± 3.29	4.18 ± 0.34
		14	1.35 ± 0.11	54.23 ± 8.83	4.41 ± 0.82

ตารางที่ 3.15 Flexural properties ของเรซินที่อบด้วยตู้อบที่อุณหภูมิ 150°C เป็นเวลา 14 นาที เรซินผสานด้วยเร่งปฏิกิริยา 4% ยกเว้นสูตร I

Resin	E (GPa)	$\sigma_b$ (MPa)	$\epsilon_b$ (%)
I	3.25 ± 0.50	121 ± 21	6.48 ± 1.79
II	2.95 ± 0.81	64 ± 23	2.3 ± 0.68
III	3.31 ± 0.10	128 ± 9	7.15 ± 1.99
IV	3.19 ± 0.60	119 ± 18	6.01 ± 2.16
VI	3.43 ± 0.25	125 ± 23	6.37 ± 2.00
VII	3.57 ± 0.38	133 ± 14	7.77 ± 2.44
VIII	2.84 ± 1.47	108 ± 40	7.49 ± 2.65

ตารางที่ 3.16 Flexural properties ของเรซินที่อบด้วยตู้อบที่อุณหภูมิ 150°C เป็นเวลา 20 นาที เรซินผสานด้วยเร่งปฏิกิริยา 1% ยกเว้นสูตร I

Resin	E (GPa)	$\sigma_b$ (MPa)	$\epsilon_b$ (%)
I	2.61 ± 1.7	107 ± 5	8.24 ± 1.17
II	3.70 ± 0.4	111 ± 32	3.39 ± 1.24
III	3.32 ± 0.31	129 ± 24	5.97 ± 1.61
IV	3.62 ± 0.62	72 ± 19	2.14 ± 0.50
VI	4.24 ± 0.26	115 ± 28	3.12 ± 1.39
VII	3.33 ± 0.15	132 ± 6	6.70 ± 0.92
VIII	6.77 ± 1.39	130 ± 30	10.97 ± 0.33

ตารางที่ 3.17 Flexural properties ของเรซินที่อบด้วยเคปิโคลเวฟ เรซินมีส่วนตัวเร่งปฏิกิริยา 4% ยกเว้นสูตร

Resin	Level	Time (min)	E (GPa)	$\sigma_b$ (MPa)	$\epsilon_b$ (%)
I	4	10	$3.22 \pm 0.26$	$122 \pm 23$	$6.62 \pm 1.91$
		14	$3.11 \pm 0.41$	$96 \pm 19$	$4.88 \pm 3.03$
		20	$2.77 \pm 0.68$	$75 \pm 26$	$3.60 \pm 2.68$
II	4	10	$2.91 \pm 0.32$	$102 \pm 34$	$4.79 \pm 2.50$
		14	$3.28 \pm 0.73$	$103 \pm 62$	$4.29 \pm 2.9$
		20	$3.62 \pm 0.52$	$85 \pm 35$	$2.84 \pm 1.87$
III	3	10	$2.34 \pm 0.27$	$116 \pm 13$	$8.3 \pm 1.61$
		14	$3.21 \pm 0.80$	$128 \pm 40$	$5.67 \pm 2.05$
		20	$2.11 \pm 0.46$	$59 \pm 13$	$2.93 \pm 0.66$
IV	3	10	$3.09 \pm 0.27$	$120 \pm 18$	$5.66 \pm 2.31$
		14	$2.85 \pm 0.34$	$95 \pm 35$	$4.59 \pm 2.78$
		20	$2.17 \pm 0.54$	$48 \pm 10$	$2.41 \pm 0.21$
VI	4	10	$3.23 \pm 0.37$	$123 \pm 27$	$5.5 \pm 1.94$
		14	$3.25 \pm 0.43$	$117 \pm 32$	$5.17 \pm 2.22$
		20	$3.95 \pm 1.64$	$85 \pm 24$	$2.88 \pm 1.96$
VII	3	10	$2.77 \pm 0.59$	$123 \pm 16$	$8.52 \pm 1.46$
		14	$3.18 \pm 0.33$	$118 \pm 24$	$5.01 \pm 1.82$
		20	$2.32 \pm 0.55$	$95 \pm 30$	$7.9 \pm 3.58$
VIII	4	10	$2.97 \pm 0.47$	$92 \pm 19$	$4.05 \pm 2.23$
		14	$3.14 \pm 0.40$	$110 \pm 24$	$4.87 \pm 2.14$
		20	$2.67 \pm 0.47$	$115 \pm 18$	$8.46 \pm 0.71$

ตารางที่ 3.18 Flexural properties ของเรซินที่อบด้วยเตาไมโครเวฟ เรซินผสมด้วยเร่งปฏิกิริยา 1% ยกเว้นสูตร

Resin	Level	Time (min)	E (GPa)	$\sigma_b$ (MPa)	$\epsilon_b$ (%)
I	4	14	$3.11 \pm 0.41$	$96 \pm 19$	$4.88 \pm 3.03$
		20	$2.72 \pm 0.68$	$75 \pm 26$	$3.6 \pm 2.68$
II	4	14	$3.48 \pm 0.15$	$85 \pm 19$	$2.50 \pm 0.60$
		20	$3.62 \pm 0.52$	$85 \pm 35$	$2.84 \pm 1.87$
III	3	14	$2.75 \pm 1.24$	$112 \pm 48$	$5.78 \pm 2.89$
		20	$2.11 \pm 0.46$	$59 \pm 13$	$2.93 \pm 0.66$
IV	3	14	$3.15 \pm 0.24$	$74 \pm 18$	$2.38 \pm 0.43$
		20	$2.17 \pm 0.54$	$48 \pm 9$	$2.41 \pm 0.21$
VI	4	10	$3.58 \pm 0.38$	$115 \pm 32$	$3.38 \pm 0.58$
		14	$3.70 \pm 0.35$	$85 \pm 16$	$2.36 \pm 0.37$
		20	$3.95 \pm 1.64$	$85 \pm 24$	$2.88 \pm 1.96$
VII	3	14	$3.47 \pm 0.45$	$105 \pm 34$	$3.68 \pm 1.85$
		20	$2.32 \pm 0.55$	$95 \pm 30$	$7.9 \pm 3.58$
VIII	4	14	$3.20 \pm 0.30$	$50 \pm 13$	$3.36 \pm 1.31$
		20	$2.67 \pm 0.47$	$115 \pm 18$	$8.46 \pm 0.71$

ตารางที่ 3.19 Impact strength (kJ/m<sup>2</sup>) ของเรซินที่อบด้วยดูองที่อุณหภูมิ 150°C

Resin	Cure time 14 min (4% accelerator)	Cure time 20 min (1% accelerator)
I *	$1.80 \pm 0.07$	$3.84 \pm 0.83$
II	$0.49 \pm 0.24$	$2.63 \pm 0.88$
III	$1.65 \pm 0.49$	$0.41 \pm 0.18$
IV	$0.53 \pm 0.27$	$1.21 \pm 0.44$
VI	$2.56 \pm 0.82$	$2.32 \pm 0.55$
VII	$1.93 \pm 0.48$	$1.88 \pm 0.28$
VIII	$2.15 \pm 0.60$	$2.24 \pm 0.21$

(\* เมื่อทราบชนิดและปริมาณด้วยเร่งปฏิกิริยา)

ตารางที่ 3.20 Impact strength ของเรซินที่อบด้วยเตาไมโครเวฟ เรซินผสมดั่วเร่งปฏิกิริยา 4% ยกเว้นสูตร I

Resin	Level	Time (min)	Impact strength (kJ/m <sup>2</sup> )
I	4	10	1.80 ± 0.46
		14	0.89 ± 0.11
		20	2.04 ± 3.06
II	4	10	1.37 ± 0.60
		14	1.15 ± 0.37
		20	0.77 ± 0.2
III	3	10	1.28 ± 0.63
		14	2.27 ± 0.50
		20	0.72 ± 0.28
IV	3	10	1.04 ± 0.31
		14	1.45 ± 0.35
		20	1.07 ± 0.58
VI	4	10	1.23 ± 0.49
		14	1.81 ± 0.60
		20	0.96 ± 0.24
VII	3	10	0.87 ± 0.16
		14	1.39 ± 0.50
		20	1.97 ± 0.6
VIII	4	10	1.84 ± 0.60
		14	1.06 ± 0.25
		20	2.04 ± 0.36

ตารางที่ 3.21 Impact strength ของเรซินที่อบด้วยเตาไมโครเวฟ เรซินผสมดั่วเร่งปฏิกิริยา 1% ยกเว้นสูตร I

Resin	Level	Time (min)	Impact strength (kJ/m <sup>2</sup> )
I	4	14	0.89 ± 0.11
II	4	10	1.10 ± 0.38
		14	1.47 ± 0.73
III	3	14	1.10 ± 0.38
IV	4	14	0.89 ± 0.35
VI	4	10	1.15 ± 0.27
		14	0.95 ± 0.18
		16	1.48 ± 0.69
VII	3	14	1.05 ± 0.32
VIII	4	10	1.78 ± 0.53

- ชิ้นตัวอย่างที่ใช้ในการทดสอบนี้ มีสภาวะการอ่อนและปริมาณดั้วเร่งปฏิกิริยาที่แตกต่างกัน ดังนั้น เพื่อเป็นการง่ายต่อการเปรียบเทียบ จึงได้วัดกราฟแสดงการเปลี่ยนสมบัติเชิงกลของตัวแปรต่างๆ โดยมีการเปรียบเทียบดังนี้

1. ดูองความร้อน : 14 นาที (4%) - 20 นาที (1%)
2. เตาไมโครเวฟ (4%) : 14 นาที - 10 นาที
3. เตาไมโครเวฟ (1%) : 14 นาที - 10 นาที
4. เตาไมโครเวฟ (14 นาที) : 4% - 1%
5. เตาไมโครเวฟ (10 นาที) : 4% - 1%
6. ดูองความร้อน 14 นาที 4% - เตาไมโครเวฟ 10 นาที 4% - เตาไมโครเวฟ 10 นาที 1%
7. ดูองความร้อน 14 นาที 4% - เตาไมโครเวฟ 14 นาที 4% - เตาไมโครเวฟ 14 นาที 1%
8. ดูองความร้อน 20 นาที 1% - เตาไมโครเวฟ 14 นาที 1% - เตาไมโครเวฟ 10 นาที 1%
9. ดูองความร้อน 20 นาที 1% - เตาไมโครเวฟ 14 นาที 4% - เตาไมโครเวฟ 10 นาที 4%

รูปที่ 3.9 – 3.17 แสดง tensile properties (modulus, stress at break, strain at break) ของการเปรียบเทียบดังกล่าว รูปที่ 3.18 – 3.22 แสดงการเปรียบเทียบ flexural properties (modulus, stress at break, strain at break) และ รูปที่ 3.23 – 3.27 แสดงการเปรียบเทียบ impact strength ของเรซินที่ได้จากการอบในสภาวะต่างๆ ค่า impact strength ใช้พื้นที่หน้าตัดของชิ้นทดสอบบริเวณที่บากในการคำนวณ ค่าที่ได้มีหน่วยเป็น  $\text{kJ/m}^2$  รูปที่ 3.28 แสดง tensile properties ของเรซินทุกสูตรที่อบด้วยเตาไมโครเวฟที่สภาวะต่างๆ ส่วนค่าของ flexural properties และ impact strength ของเรซินทุกสูตรที่อบด้วยเตาไมโครเวฟที่สภาวะต่างๆ แสดงในรูปที่ 3.29 และ 3.30 ตามลำดับ

#### Tensile Properties

รูปที่ 3.9 แสดงให้เห็นว่า การอบด้วยดูองความร้อนนั้น การใช้ดั้วเร่งปฏิกิริยามากกว่าและใช้เวลาอบน้อยกว่า จะทำให้เกิดปฏิกิริยาหรือการเซตดั้วได้ดีขึ้น ดั้วเร่งปฏิกิริยาเพียง 1% น่าจะใช้เวลาในการอบนานกว่า 20 นาที จึงจะให้ความแข็งแรง (modulus และ stress at break) เท่ากันที่อบ 14 นาที ของชุด 4%

รูปที่ 3.10 และ 3.11 แสดงผลการใช้เวลาในการอบต่างกันของเตาไมโครเวฟ ความแตกต่างของสมบัติในแต่ละสูตรไม่มีแนวโน้มไปทิศทางเดียวกัน มีทั้งค่าที่ใกล้เคียงกัน ต่างกันเล็กน้อย และต่างกันมาก การทดลองใช้เวลาอบต่างกันเพียง 4 นาที อาจจะมีความแตกต่างน้อยเกินไป หรือระยะเวลาอบ 10 - 14 นาที อยู่ในช่วงเดียวกัน จึงไม่ส่งผลให้เห็นอิทธิพลของเวลาที่มีต่อ Tensile properties ความแตกต่างที่เกิดขึ้นอย่างสุ่มนั้นน่าจะเกิดจากการที่ไม่สามารถควบคุมการปล่อยคลื่นไมโครเวฟและการตอกกระแทกได้ ปรากฏการณ์ดังกล่าวเนื่องจากเมื่อพิจารณาอิทธิพลของปริมาณดั้วเร่งปฏิกิริยาที่อบในเวลาเท่ากัน (รูปที่ 3.12 และ 3.13) สูตร VI (10 min, 1% acc.) มีค่า modulus ต่ำมาก อาจจะเกิดจากชิ้นงานมีค่าหนึบหรือเกิดจากการเกิดปฏิกิริยาไม่สม่ำเสมอ

รูปที่ 3.14 และ 3.15 แสดงการเปรียบเทียบการอบด้วยดูองความร้อน (14 นาที, 4%) และเตาไมโครเวฟ การอบด้วยดูองความร้อนให้สมบัติถึกกว่าการอบด้วยเตาไมโครเวฟพบในสูตร III, IV และ V แต่สูตร I และสูตร II แสดงสมบัติที่ดีขึ้นมาก ค่าเมื่อบด้วยเตาไมโครเวฟ เรซินที่มีดั้วเร่งปฏิกิริยา 1% และอบด้วยดูองความร้อนนาน 20 นาที มีความแข็งแรงน้อยกว่าเรซินที่อบด้วยเตาไมโครเวฟ ดังแสดงในรูปที่ 3.16 และ 3.17

ถึงแม้ว่าผลการทดสอบ tensile properties ของดูองความร้อน (14 นาที, 4%) จะถึกกว่าเรซินที่อบด้วยเตาไมโครเวฟถ้าหากพิจารณาการใช้ระยะเวลาในการอบจริงของเตาไมโครเวฟ จะใช้เวลาสั้นมาก คือ การดั้งเวลาอบ 14 นาที จะมีการปล่อยคลื่นไมโครเวฟประมาณ 6 นาที หากควบคุมการอบได้ในเตาไมโครเวฟ น่าจะได้

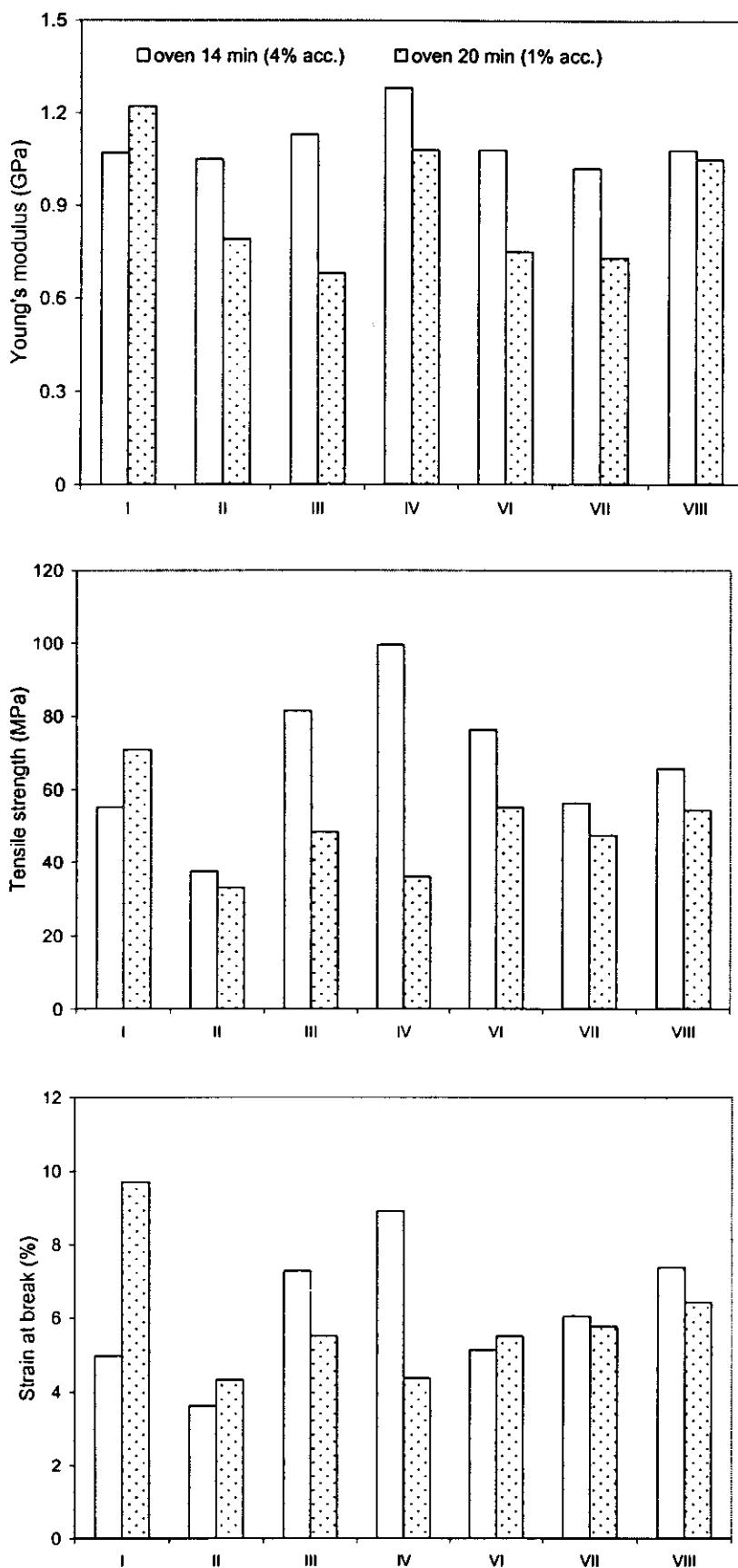
สมบัติที่ดีเท่าเทียมกัน ดังนั้นจะมีการทดสอบหาสภาวะการอ่อนไม่ต้านทานในโครงสร้างที่ดีกว่านี้เพื่อให้ได้ tensile properties ที่ไม่ด้อยกว่าที่อ่อนในด้านความร้อน

#### ***Flexural Properties***

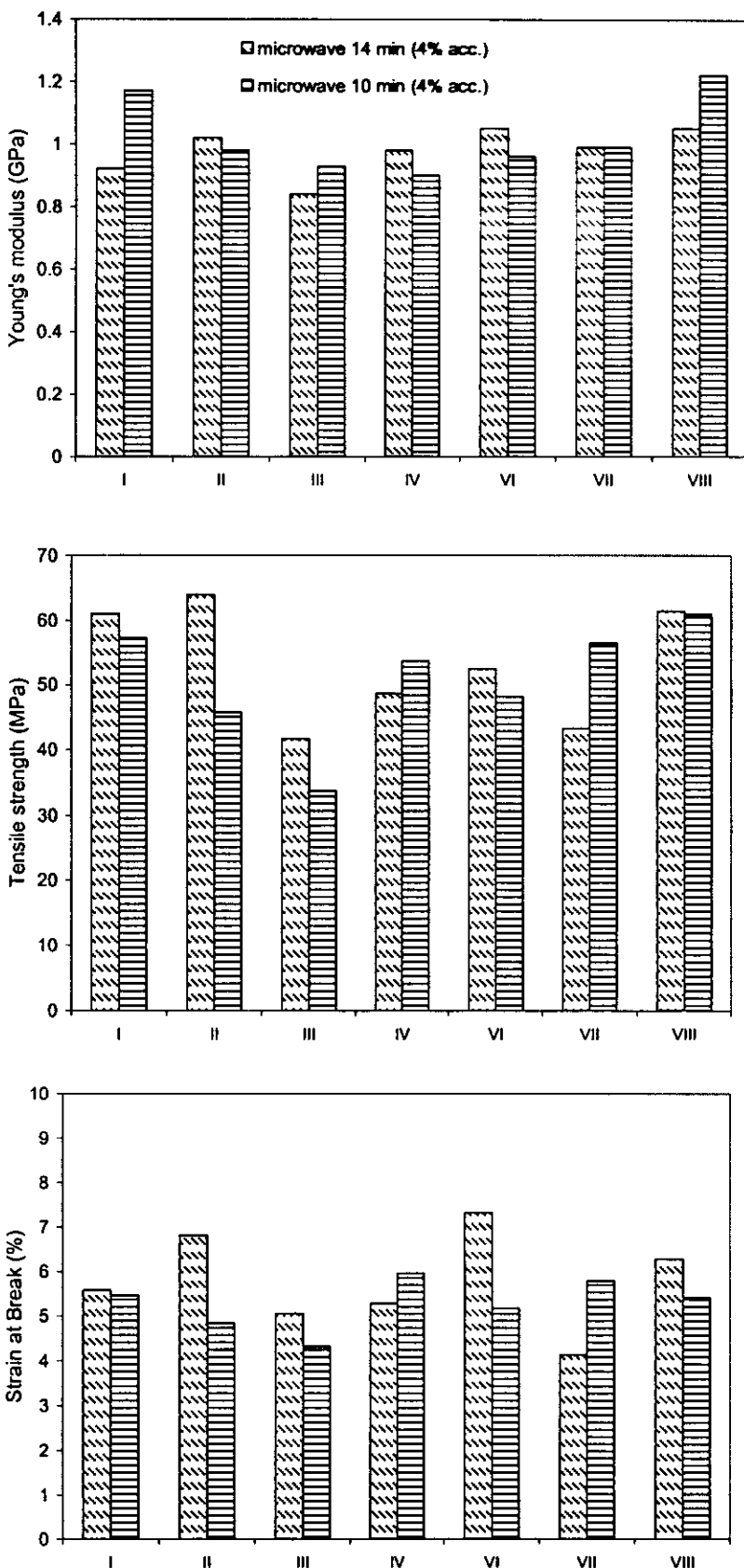
การทดสอบแบบ three - point bending จะให้ผลการทดสอบที่ค่อนข้างซับซ้อน เนื่องจากมีทั้ง tension และ compression เกิดขึ้นบนชิ้นงาน ผลการทดสอบที่แสดงในรูปภาพเบรียบเทียบที่แสดงในรูปที่ 3.18 – 3.22 นั้น มีความคลาดเคลื่อนเดียวกันกับที่ปรากฏในการทดสอบ tensile properties ไม่มีพิเศษที่แน่นอนของความแตกต่าง และแต่ละสูตรมีความแตกต่างที่ไม่แน่นอนด้วย

#### ***Impact Strength***

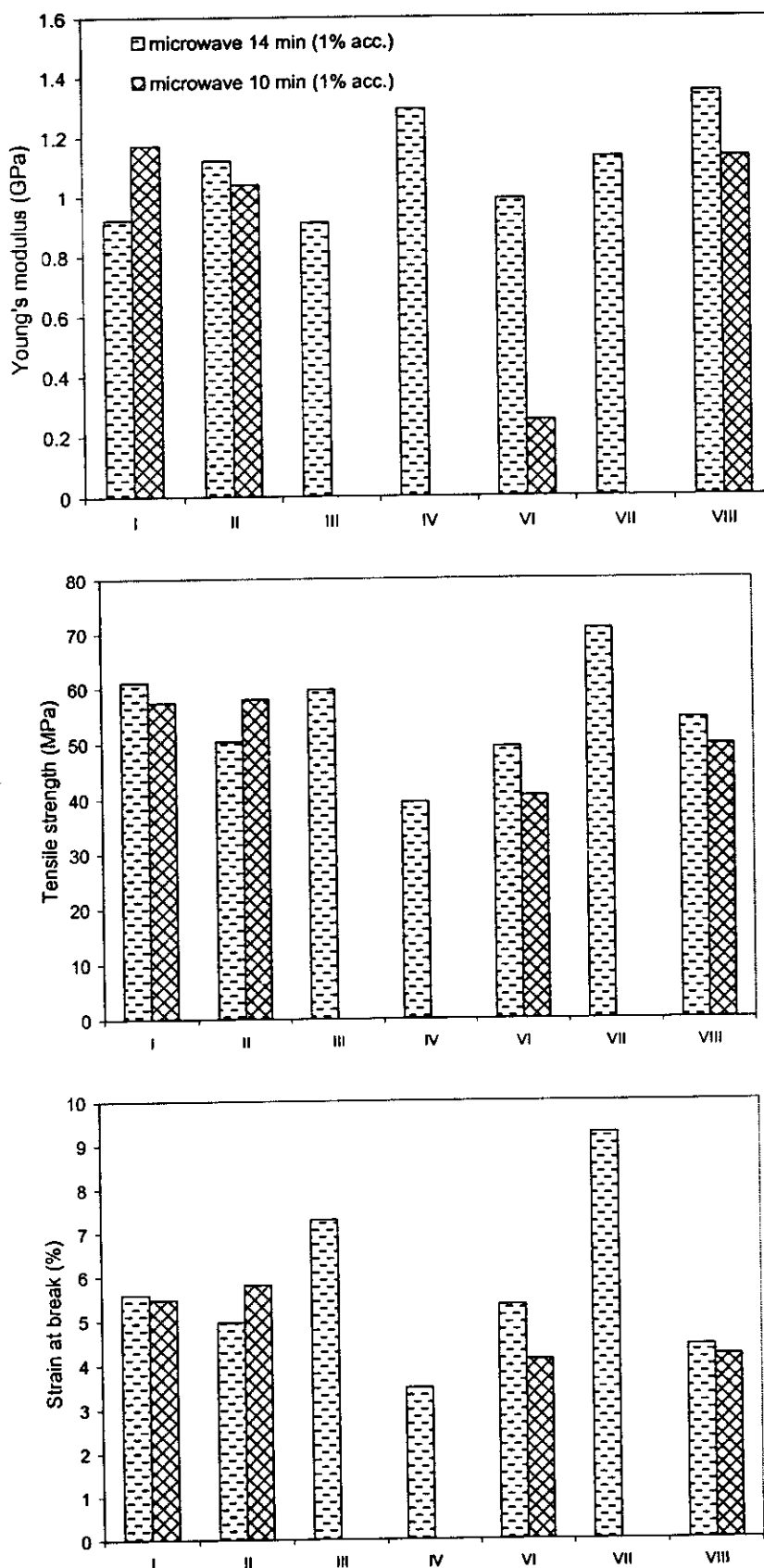
กราฟเบรียบเทียบ impact strength แสดงในรูปที่ 3.23 – 3.27 ด้าอย่างที่อ่อนด้วยเตาในโครงสร้าง II III และ IV แสดงค่า impact strength สูงกว่าด้าอย่างที่อ่อนด้วยด้านความร้อน ดังแสดงในรูปที่ 3.26 - 3.27



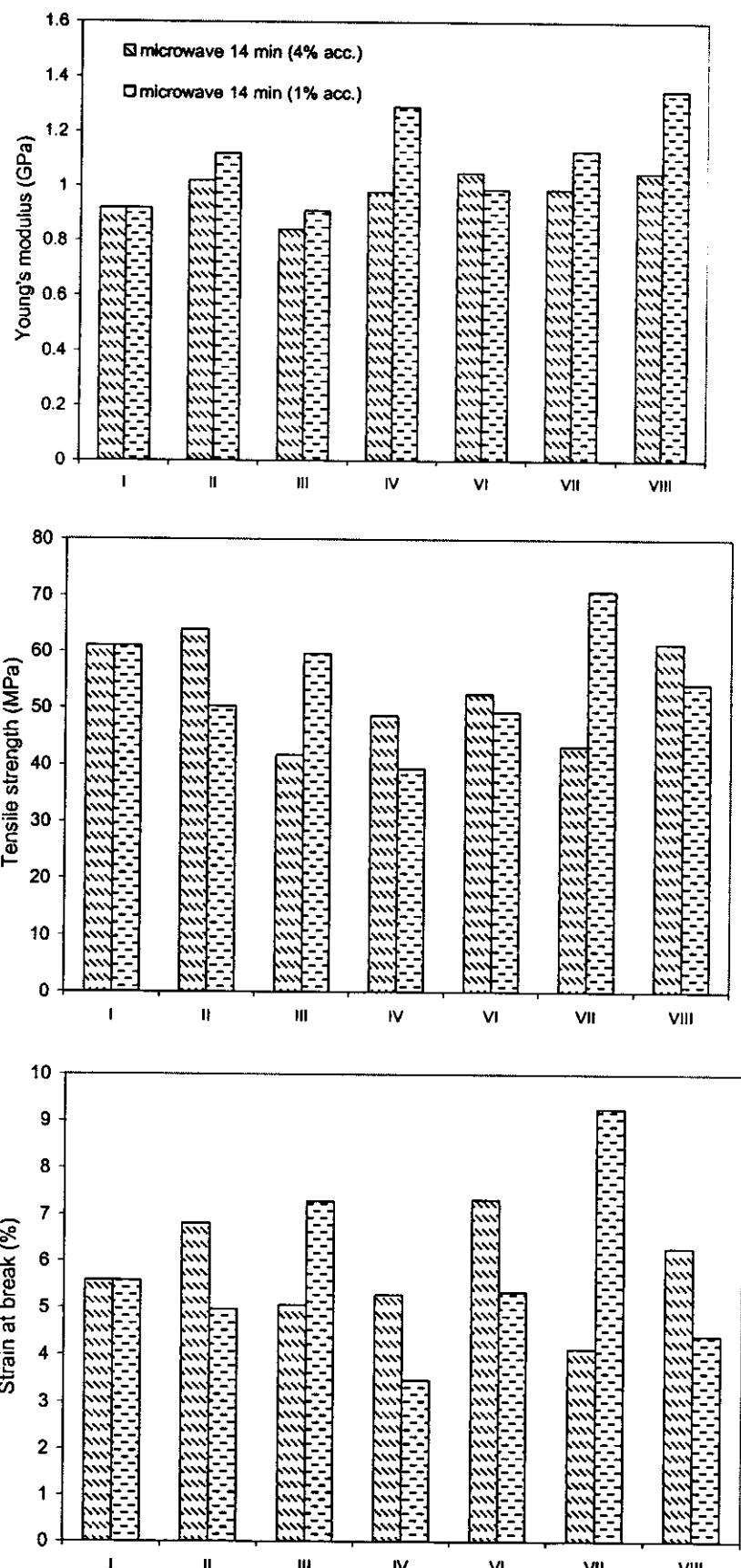
รูปที่ 3.9 Tensile properties ของชิ้นทดสอบที่อบด้วยตู้อบเป็นเวลา 14 นาที และ 20 นาที เครื่องจากเรซินที่มีดั่วเร่งปฏิกิริยา 4% และ 1% ตามลำดับ



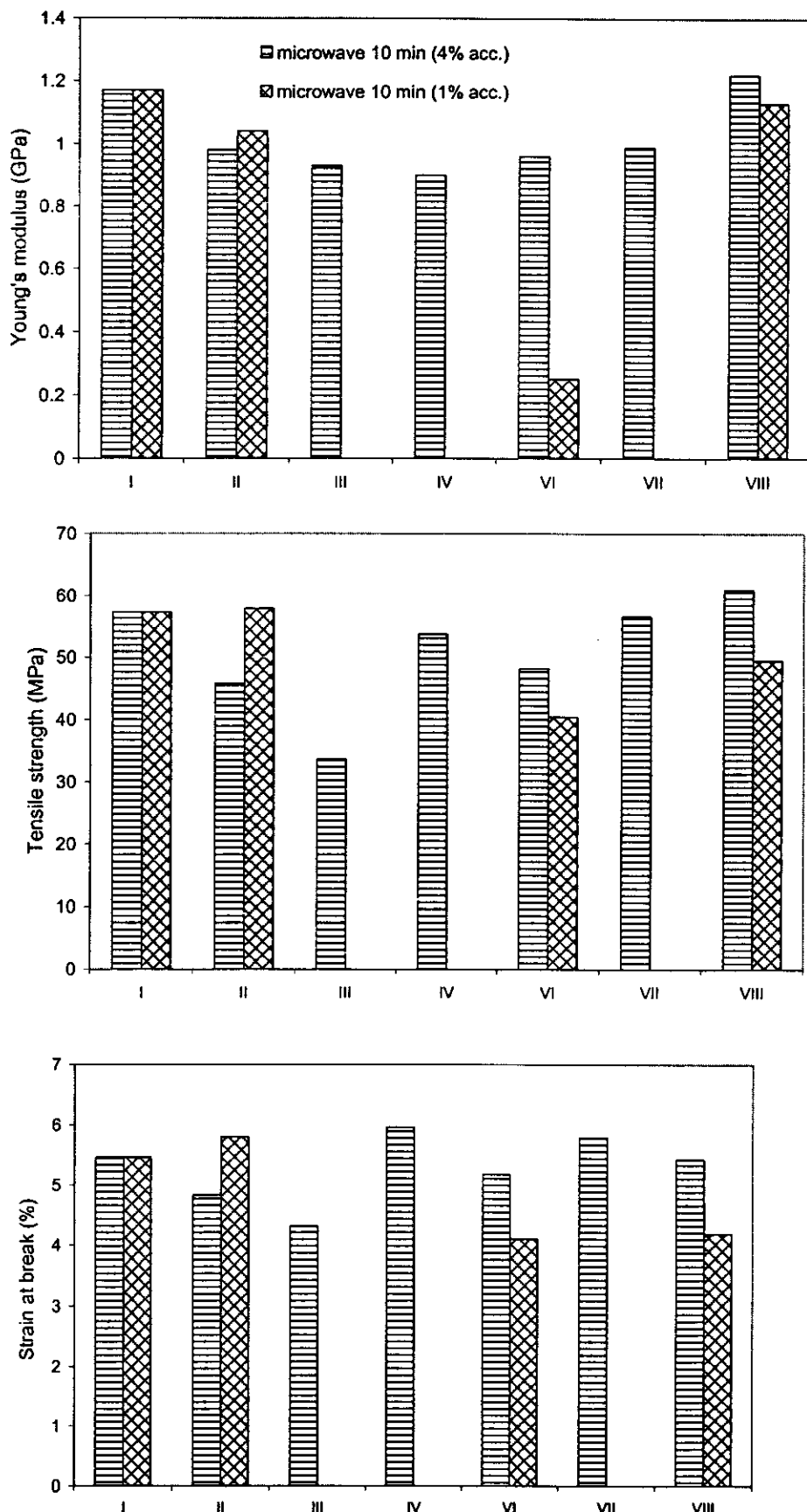
รูปที่ 3.10 Tensile properties ของชิ้นทดสอบที่อบด้วยเตาในโคลเวฟเป็นเวลา 14 นาที และ 10 นาที เตรียมจากเรซินที่มีตัวเร่งปฏิกิริยา 4%



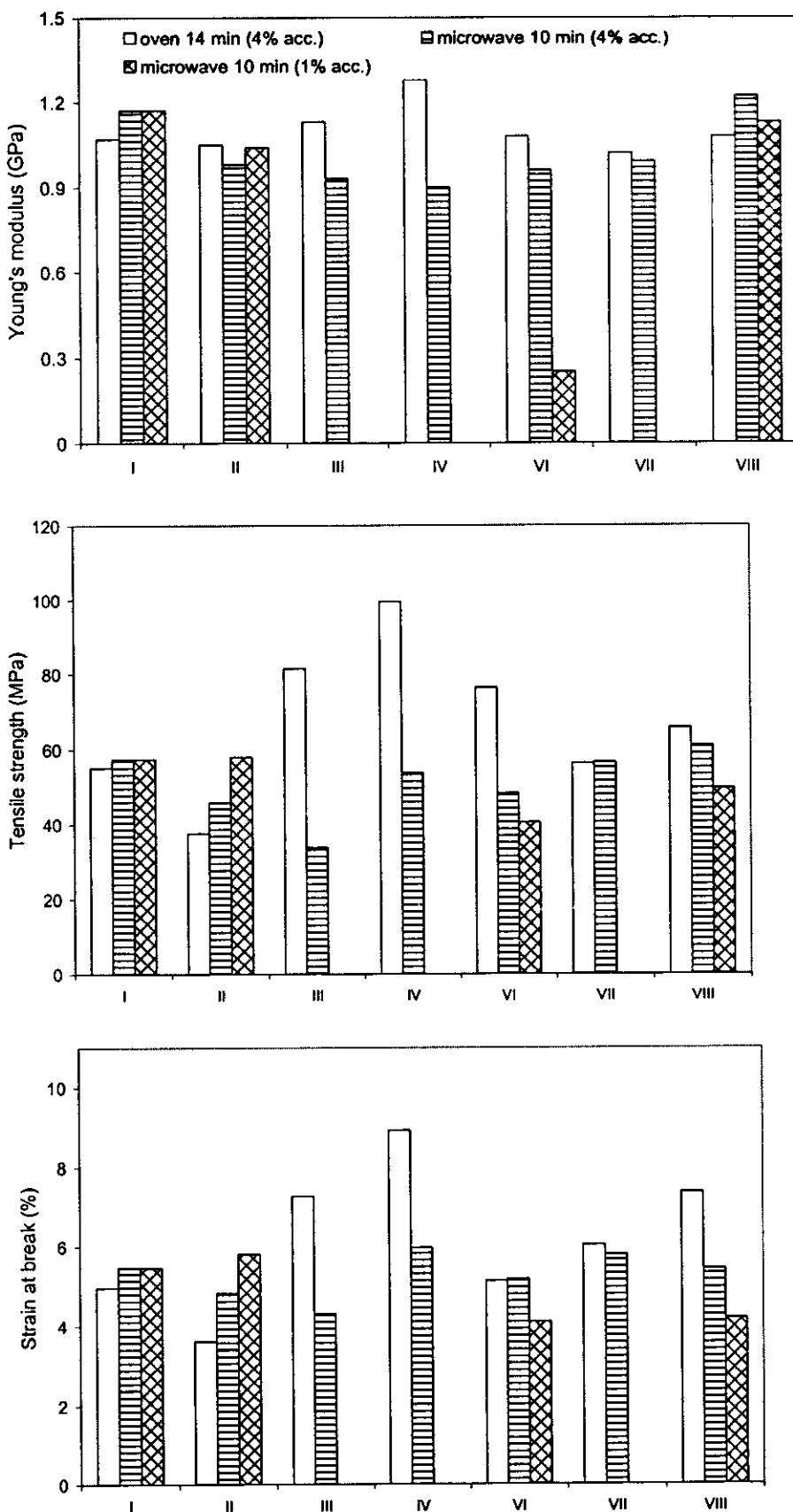
รูปที่ 3.11 Tensile properties ของชิ้นทดสอบที่อบด้วยເຄານໂຄເວັບເປັນເວລາ 14 ນາທີ ແລະ 10 ນາທີ ເຕີຍມຈາກເຮັດໃຫ້ມີຄວາເຮັງປົງກິກີຍາ 1%



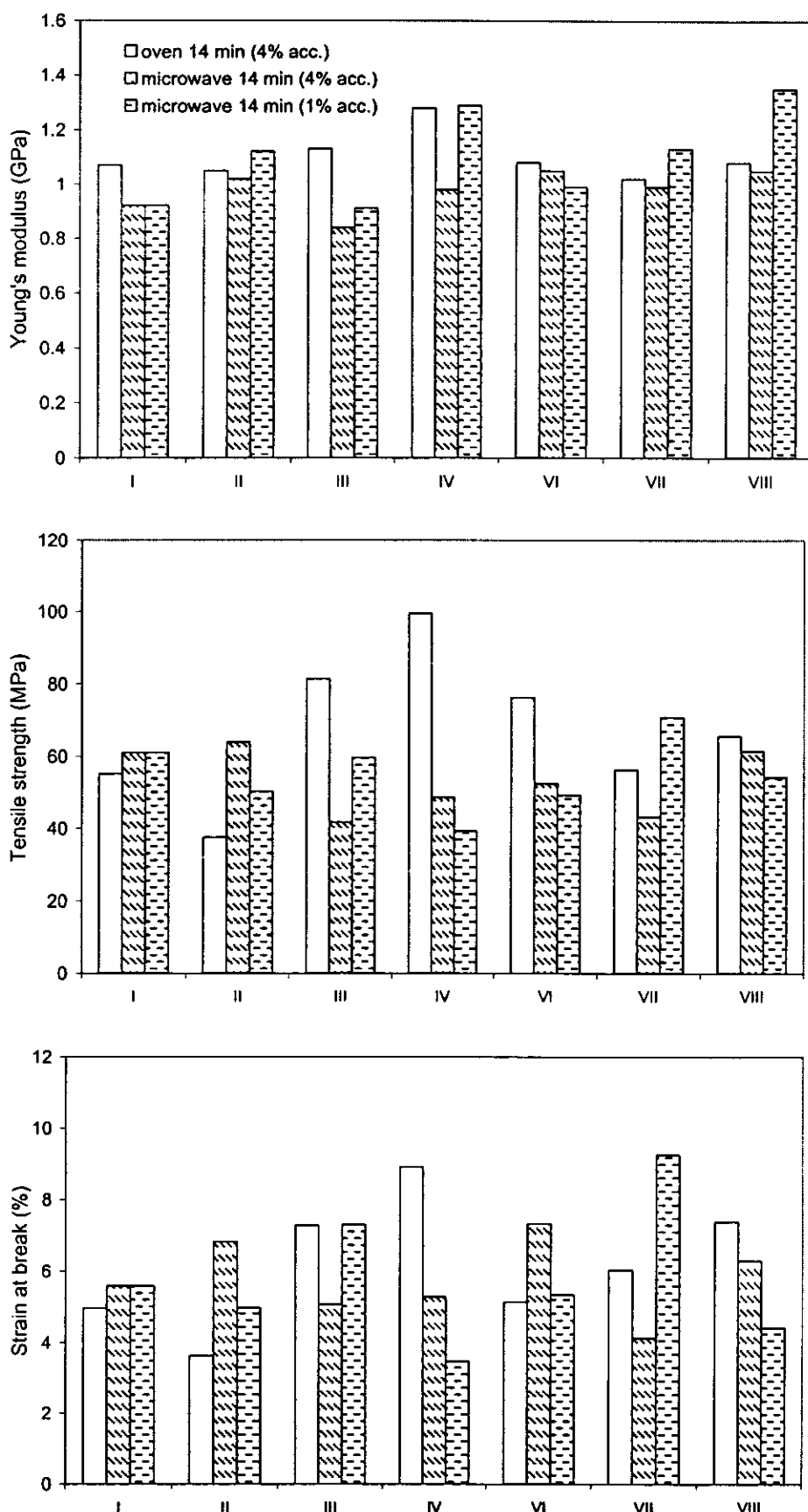
รูปที่ 3.12 Tensile properties ของขั้นตอนที่อบด้วยเตาไมโครเวฟเป็นเวลา 14 นาที เครื่องจากเรซินที่มีตัวเร่งปฏิกิริยา 4% และ 1%



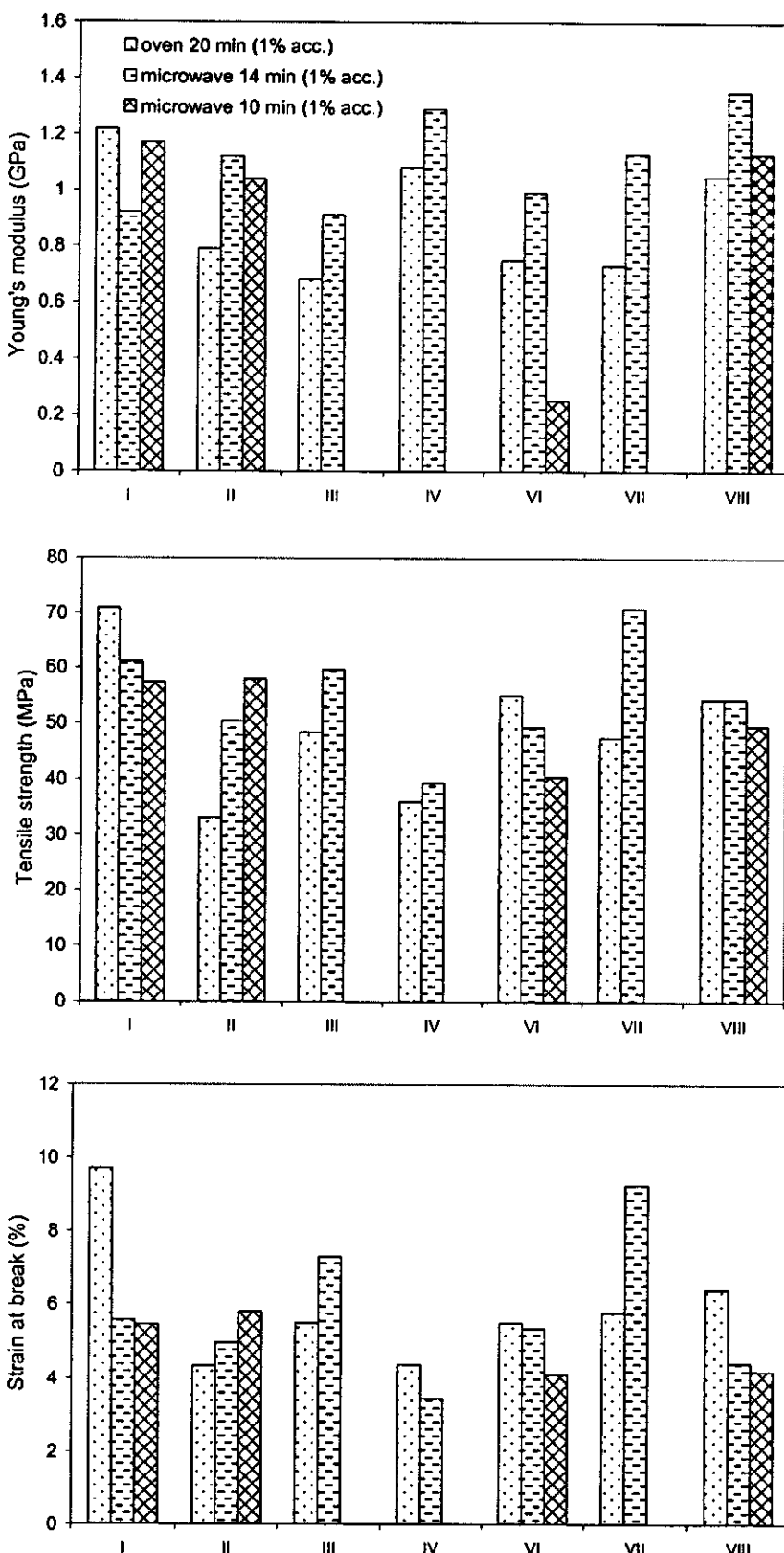
รูปที่ 3.13 Tensile properties ของขั้นตอนที่อบด้วยความไมโครเวฟเป็นเวลา 10 นาที เครื่องจากเรซินที่มีตัวเร่งปฏิกิริยา 4% และ 1%



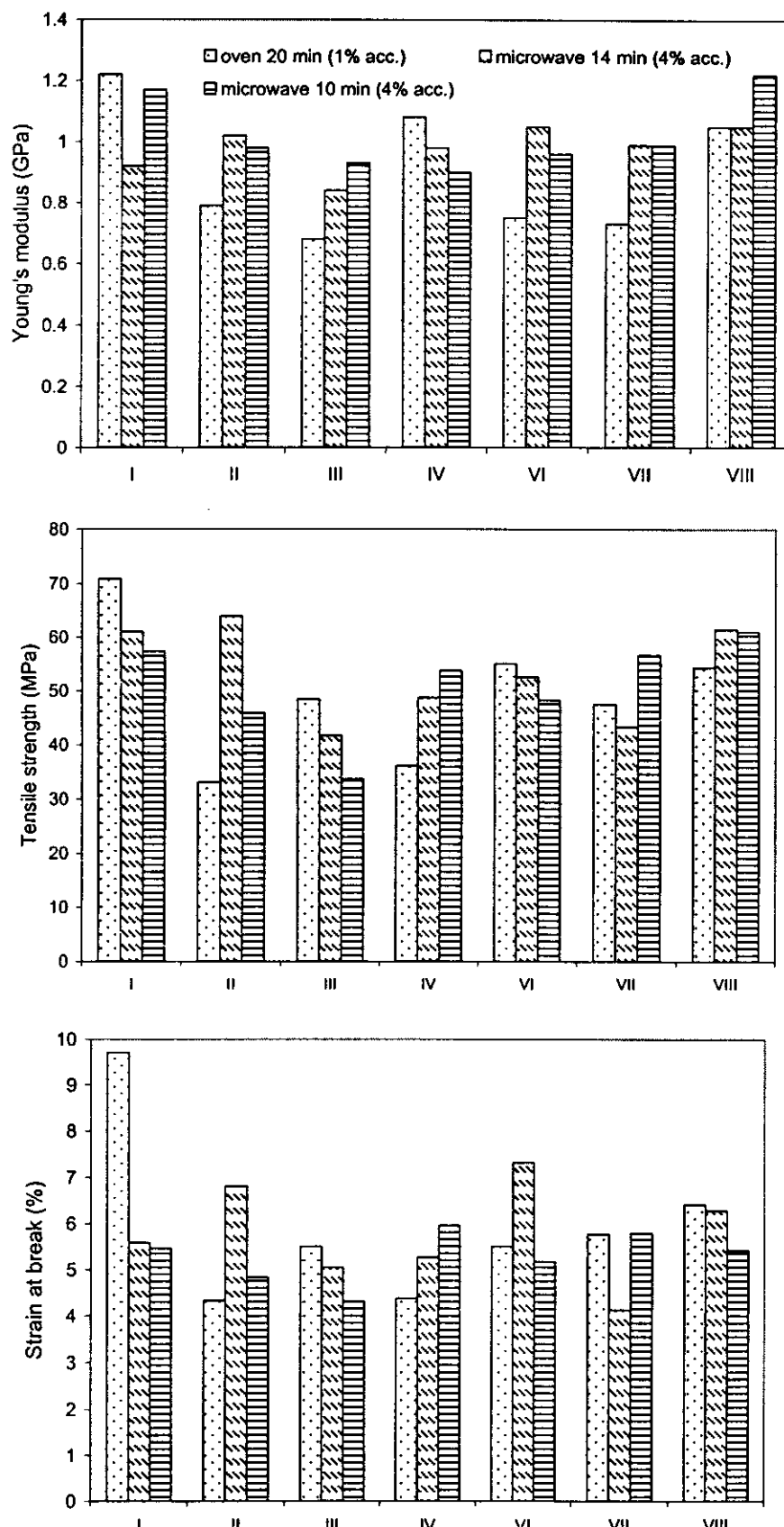
รูปที่ 3.14 Tensile properties ของชั้นหกสอนที่อบด้วยดูบอนและเตาไมโครเวฟ ใช้วิธีการอบในเตาไมโครเวฟสั้นกว่าการอบในดูบอน



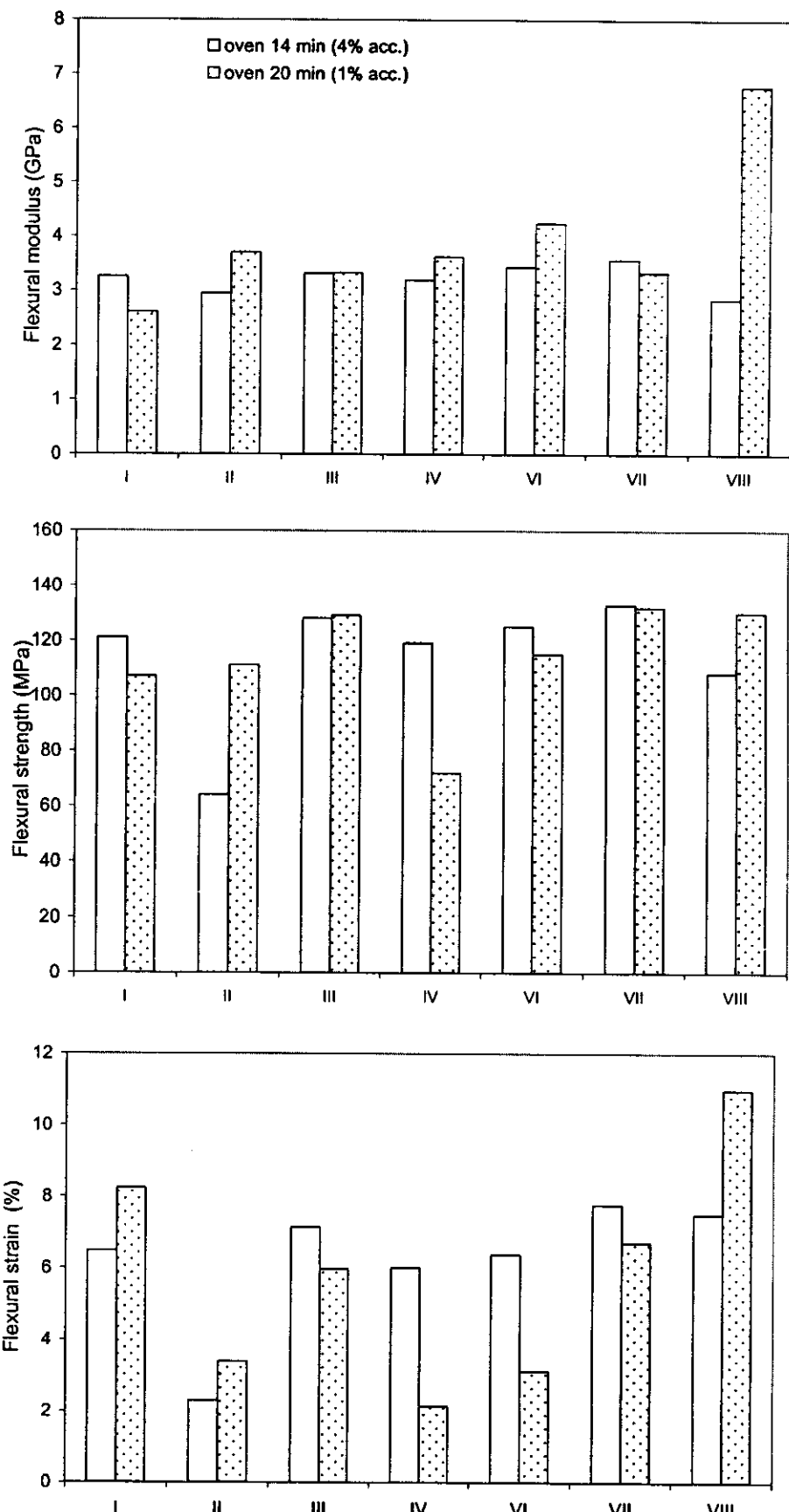
รูปที่ 3.15 Tensile properties ของชิ้นทดสอบที่อบด้วยดูบและเตาไมโครเวฟ ใช้วิธีการอบในเตาไมโครเวฟเท่ากับการอบในดูบ (14 นาที)



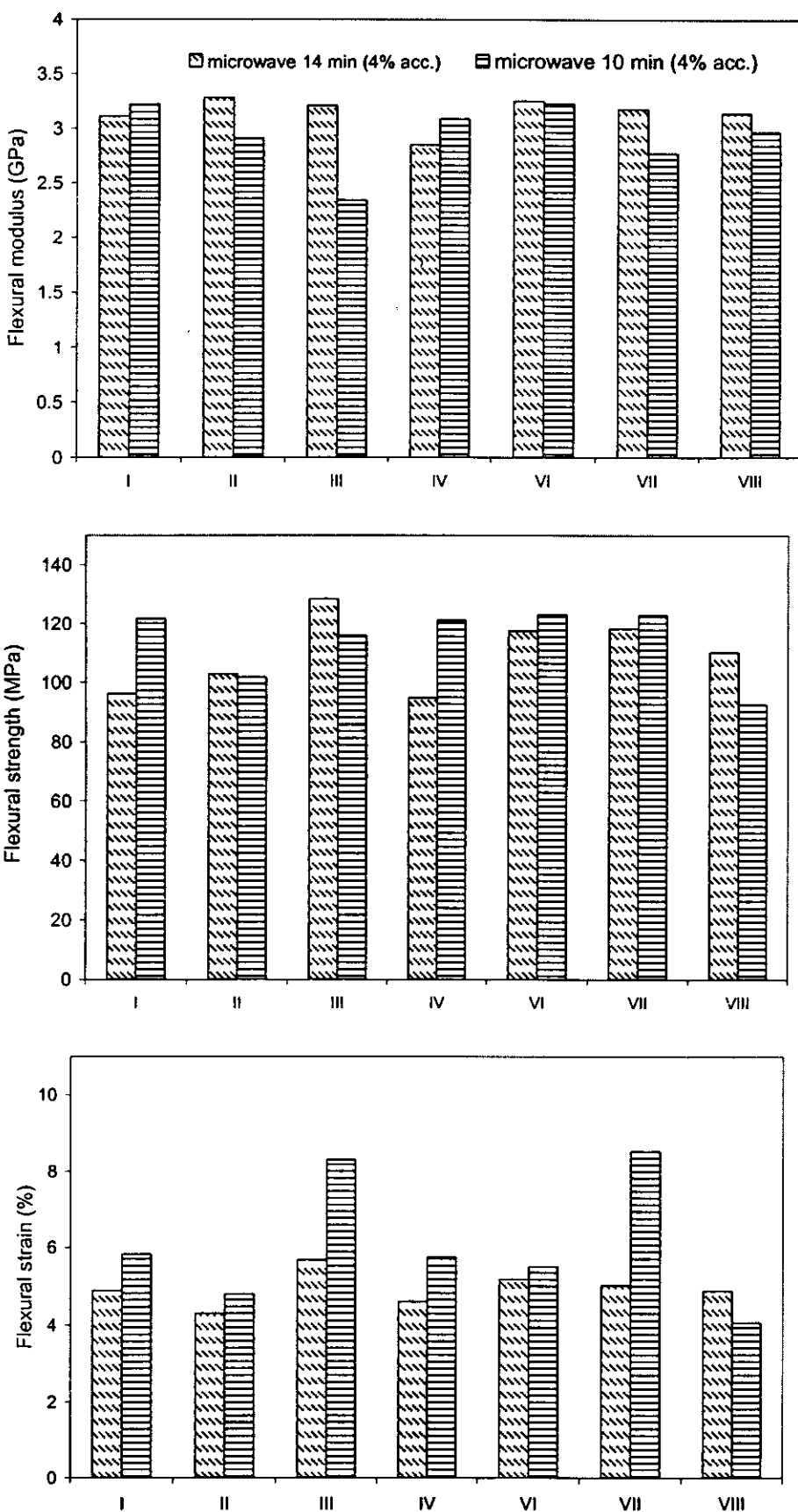
รูปที่ 3.16 Tensile properties ของชิ้นทดสอบที่อบด้วยตู้อบและเตาไมโครเวฟ ตัวอย่างมีตัวเร่งปฏิกิริยา 1 % และมีระยะเวลาในการอบต่างกัน



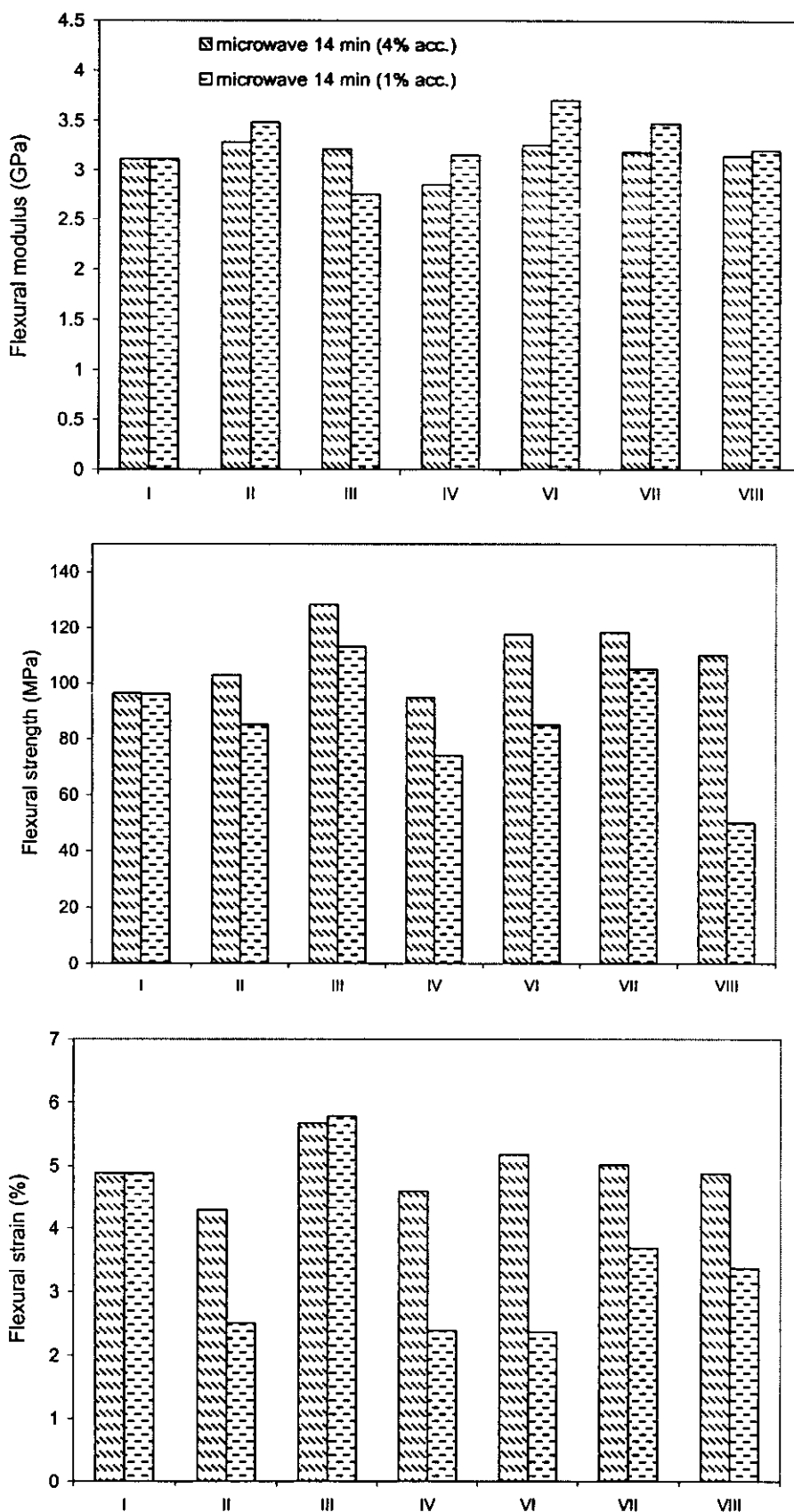
รูปที่ 3.17 Tensile properties ของขั้นตอนที่อบด้วยตู้อบและเตาไมโครเวฟในระยะเวลา การอบต่างกัน



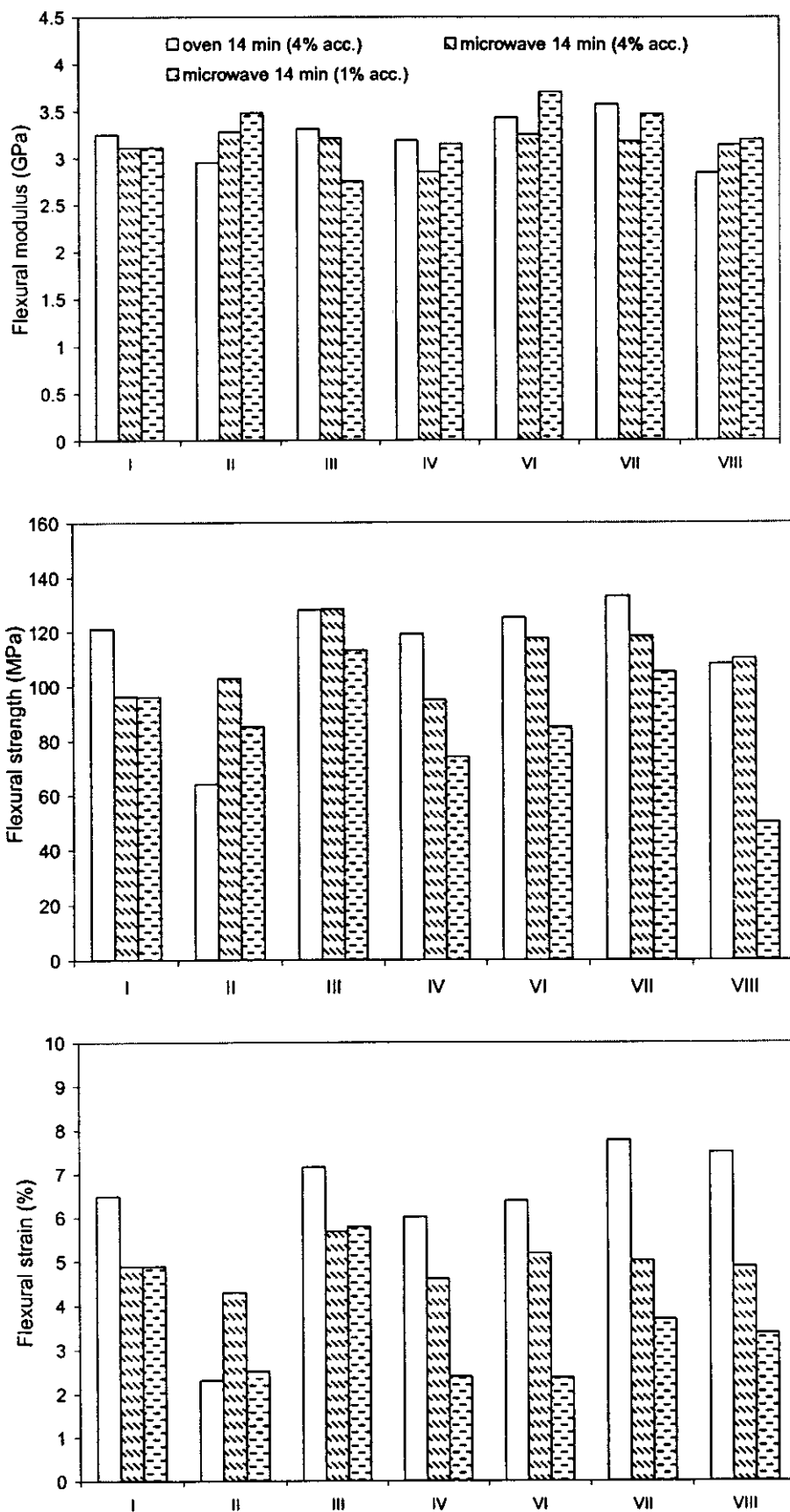
รูปที่ 3.18 Flexural properties ของขันทดสอบที่อบด้วยตู้อบเป็นเวลา 14 นาที และ 20 นาที เปรียบเทียบจากเรซินที่มีตัวเร่งปฏิกิริยา 4% และ 1% ตามลำดับ



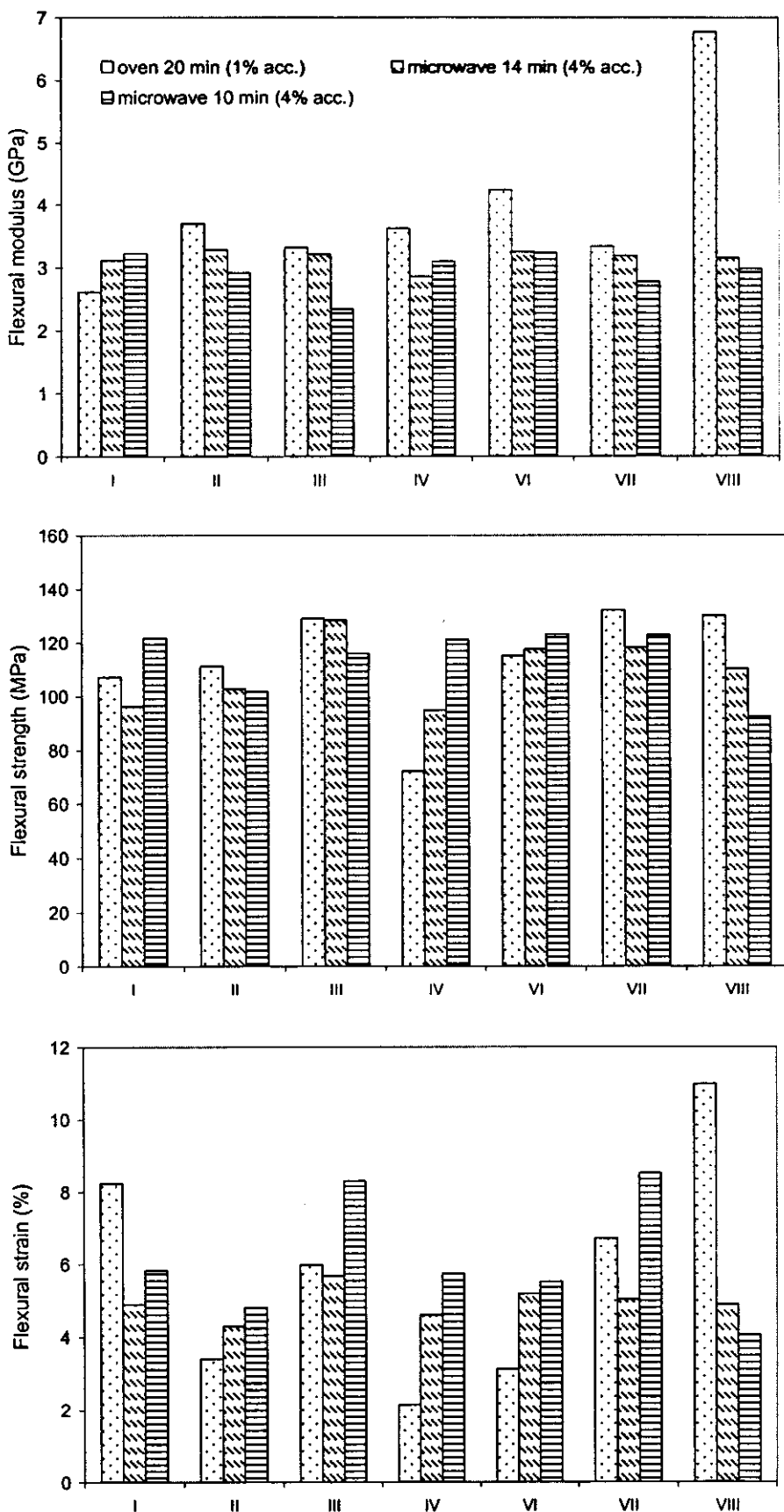
รูปที่ 3.19 Flexural properties ของขันทดสอบท่อนด้วยเตาในโคลเวฟเป็นเวลา 14 นาที และ 10 นาที เครื่องจากเรซินที่มีตัวเร่งปฏิกิริยา 4%



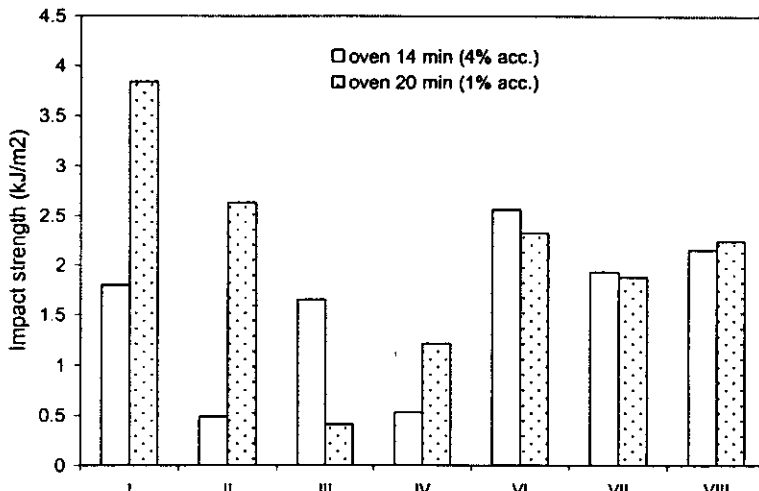
รูปที่ 3.20 Flexural properties ของชั้นทกดสอนที่อบด้วยเตาไมโครเวฟเป็นเวลา 14 นาที เครื่องจากเรซินที่มีตัวเร่งปฏิกิริยา 4% และ 1%



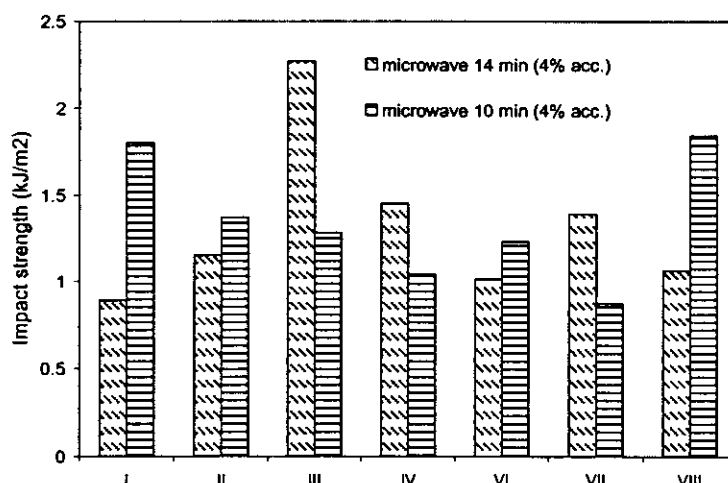
รูปที่ 3.21 Flexural properties ของชิ้นทดสอบก่อนดัดวยตู้อบและเตาไมโครเวฟเป็นเวลา 14 นาที เรซินมีดั่งเร่งปฏิกิริยาไม่เท่ากัน



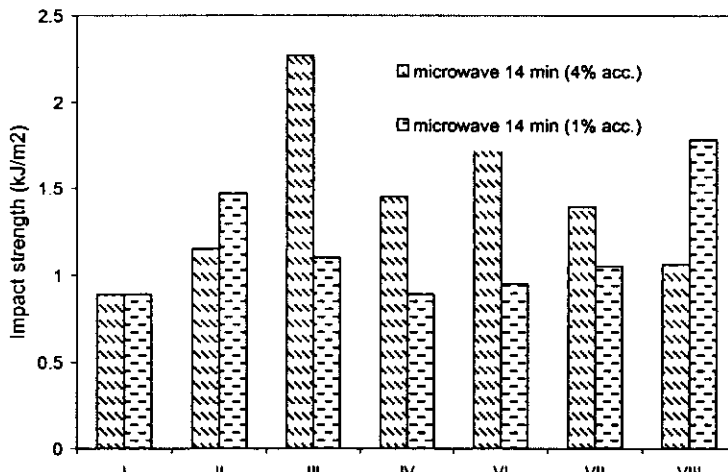
รูปที่ 3.22 Flexural properties ของชิ้นทดสอบที่อบด้วยตู้อบ 20 นาที และอบด้วยเตาไมโครเวฟเป็นเวลา 14 นาที และ 10 นาที เรซินมีค่าเร่งปฏิกิริยาไม่เท่ากัน



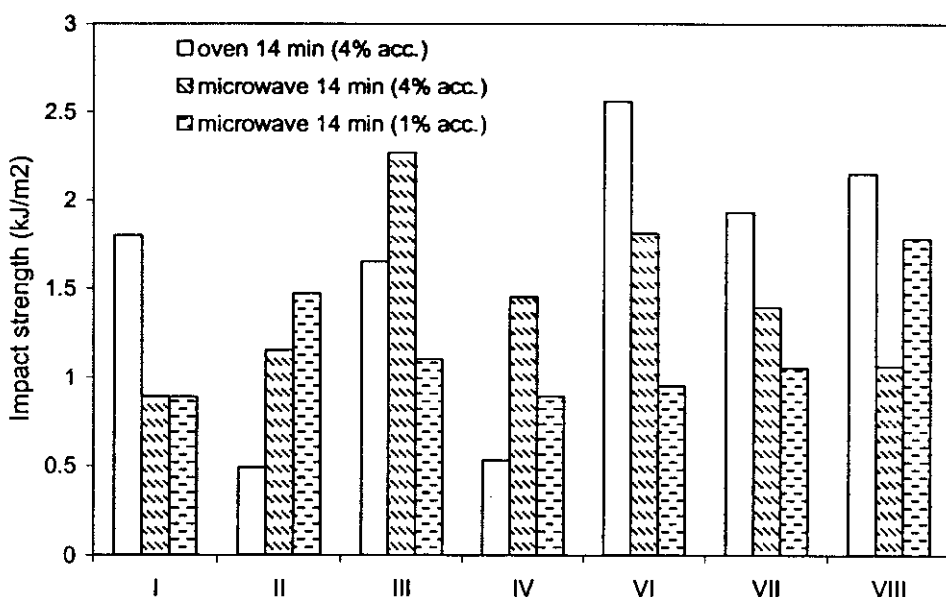
รูปที่ 3.23 Impact strength ( $\text{kJ}/\text{m}^2$ ) ของชิ้นทดสอบที่อบด้วยตู้อบ 14 นาที และ 20 นาที เรซินมีค่าเร่งปฏิกิริยาไม่เท่ากัน



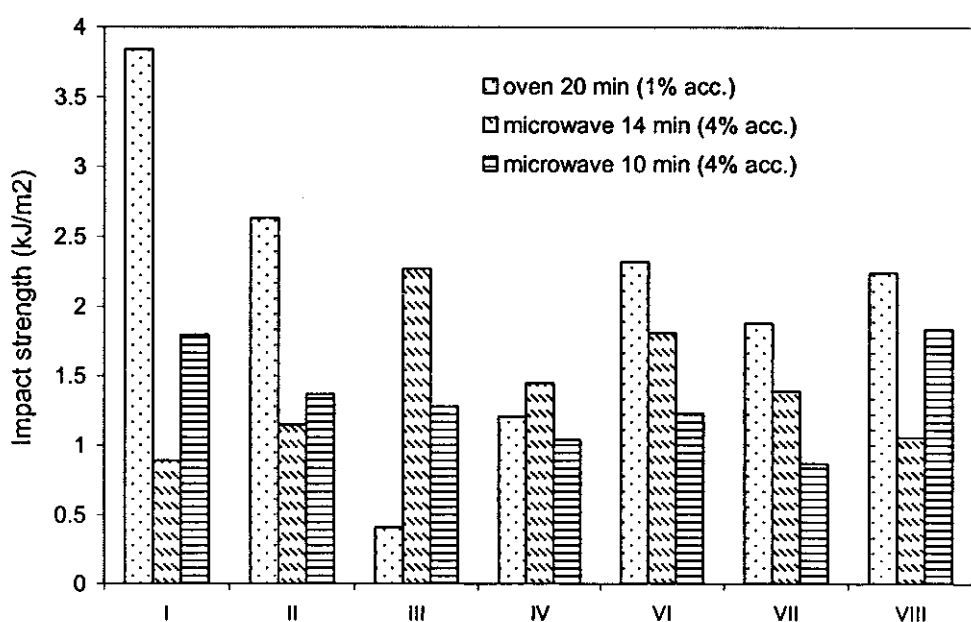
รูปที่ 3.24 Impact strength ( $\text{kJ}/\text{m}^2$ ) ของชิ้นทดสอบที่อบด้วยเตาในคลื่นแม่เหล็กไฟฟ้า 14 นาที และ 10 นาที เรซินมีค่าเร่งปฏิกิริยา 4%



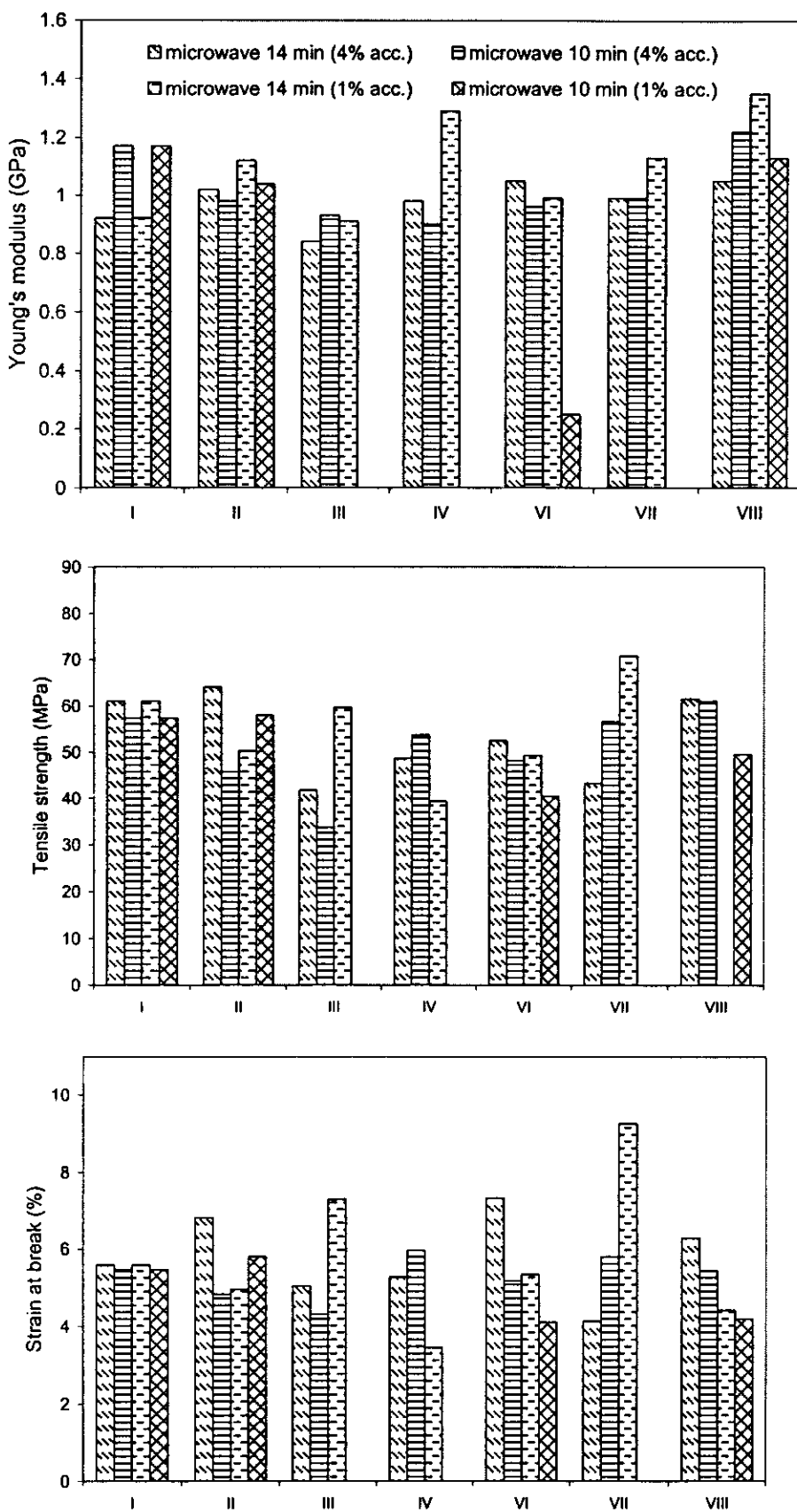
รูปที่ 3.25 Impact strength ( $\text{kJ}/\text{m}^2$ ) ของชิ้นทดสอบที่อบด้วยเตาในคลื่นแม่เหล็กไฟฟ้า 14 นาที เรซินมีค่าเร่งปฏิกิริยาไม่เท่ากัน



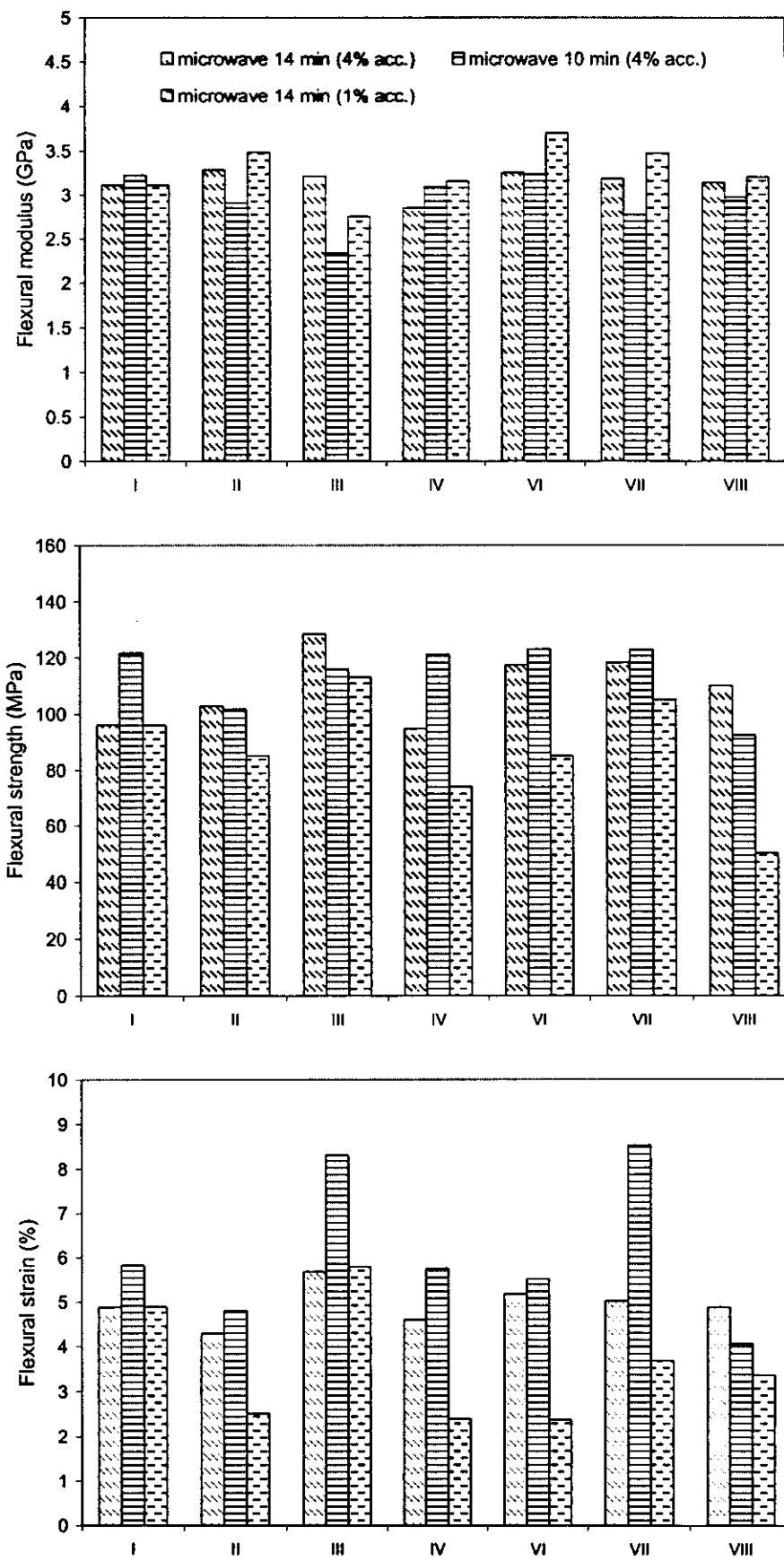
รูปที่ 3.26 Impact strength ( $\text{kJ}/\text{m}^2$ ) ของชิ้นทดสอบที่อบด้วยตู้อบและเตาไมโครเวฟ 14 นาที เรซินมีดัวเร่งปฏิกิริยาไม่เท่ากัน



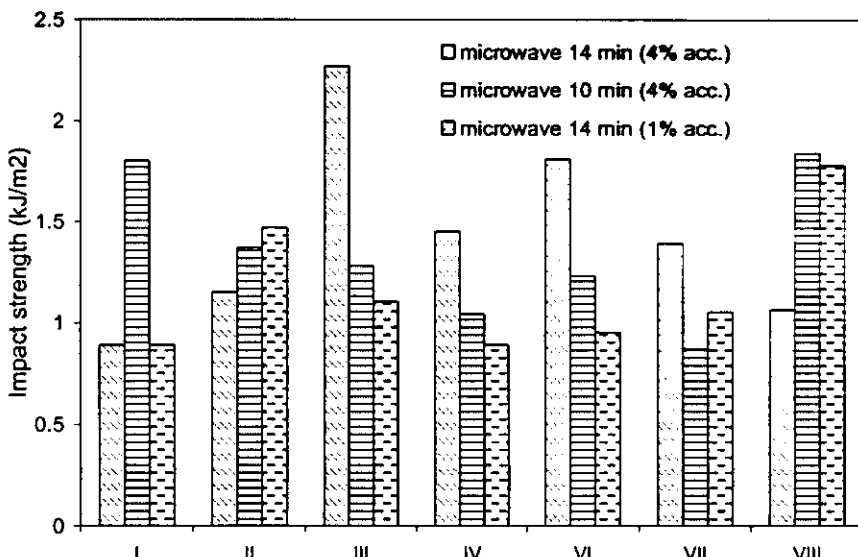
รูปที่ 3.27 Impact strength ( $\text{kJ}/\text{m}^2$ ) ของชิ้นทดสอบที่อบด้วยตู้อบและเตาไมโครเวฟในเวลาต่างๆ กัน เรซินมีดัวเร่งปฏิกิริยาไม่เท่ากัน



รูปที่ 3.28 Tensile properties ของชั้นทดสอบที่อบด้วยเตาไมโครเวฟในเวลาต่างๆ กัน  
เรซิโนมีด้าวเร่งปฏิกิริยาไม่เท่ากัน



รูปที่ 3.29 Flexural properties ของขั้นก่อสูบที่อบด้วยเตาไมโครเวฟในเวลาต่างๆ กับเรซินมีดัวเร่งปฏิกิริยาไม่เท่ากัน



รูปที่ 3.30 Impact strength ( $\text{kJ}/\text{m}^2$ ) ของชิ้นทดสอบที่อบด้วยเตาไมโครเวฟในเวลาต่างๆ กัน เรซินมีตัวเร่งปฏิกิริยาไม่เท่ากัน

จากการวิเคราะห์เปรียบเทียบแต่ละสูตรสามารถสรุปผลการทดลองของแต่ละสูตรได้ดังนี้

### 1. สูตร I

- (ก) เปรียบเทียบสภาวะเตาไมโครเวฟ : ตัวอย่างอบ 14 นาที (ตัวเร่งปฏิกิริยา 4%) และค่า flexural properties และ impact strength ต่ำกว่าตัวอย่างที่อบ 10 นาที (ตัวเร่งปฏิกิริยา 4%) แม้มีค่า tensile properties ใกล้เคียงกัน
- (ข) ตัวอย่างที่อบด้วยตู้อบความร้อน 14 นาที (ตัวเร่งปฏิกิริยา 4%) แสดง tensile properties ใกล้เคียงกับตัวอย่างที่อบด้วยเตาไมโครเวฟ 10 นาที (ตัวเร่งปฏิกิริยา 4%)
- (ค) ตัวอย่างที่อบด้วยตู้อบความร้อน 14 นาที (ตัวเร่งปฏิกิริยา 4%) แสดง flexural properties และ impact strength สูงกว่าตัวอย่างที่อบด้วยเตาไมโครเวฟ 14 นาที (ตัวเร่งปฏิกิริยา 4%)

### 2. สูตร II

- (ก) เปรียบเทียบสภาวะเตาไมโครเวฟ : ตัวอย่างที่อบ 14 นาที (ตัวเร่งปฏิกิริยา 4%) และสมบัติเชิงกลโดยรวมดีที่สุด โดยให้ค่าสูงกว่าตัวอย่างที่ได้จากการอบด้วยเตาไมโครเวฟที่สภาวะอื่นๆ และที่อบด้วยตู้อบความร้อน
- (ข) ตัวอย่างที่อบด้วยตู้อบความร้อน 20 นาที (ตัวเร่งปฏิกิริยา 1%) และลักษณะยืดหยุ่น (flexible) มากกว่าตัวอย่างที่อบด้วยตู้อบความร้อน 14 นาที (ตัวเร่งปฏิกิริยา 4%) และมี tensile properties ต่ำกว่าตัวอย่างที่อบด้วยเตาไมโครเวฟทุกสภาวะ
- (ค) ตัวอย่างที่อบด้วยเตาไมโครเวฟ 14 นาที (ตัวเร่งปฏิกิริยา 4%) แสดงค่า impact strength สูงกว่าตัวอย่างที่อบด้วยตู้อบความร้อน 14 นาที (ตัวเร่งปฏิกิริยา 4%)

### 3. สูตร III

- (ก) เปรียบเทียบสภาวะเตาไมโครเวฟ : tensile properties ของตัวอย่างที่อบด้วยเตาไมโครเวฟ 14 นาที (ตัวเร่งปฏิกิริยา 1%) และ (ตัวเร่งปฏิกิริยา 4%) มีค่าใกล้เคียงกัน และมีค่าต่ำกว่าตัวอย่างที่อบด้วยตู้อบความร้อน 14 นาที (ตัวเร่งปฏิกิริยา 4%)

- (x) เปรียบเทียบสภาวะตู้อบความร้อน : ตัวอย่างอบ 14 นาที (ตัวเร่งปฏิกิริยา 4%) แสดงค่า tensile properties ใกล้เคียงกับตัวอย่างที่อบ 20 นาที (ตัวเร่งปฏิกิริยา 1%) และแสดงค่า impact strength สูงกว่า แต่ค่า flexural properties ต่ำกว่า
- (ค) flexural properties ของตัวอย่างที่อบด้วยเตาไมโครเวฟ 14 นาที (ตัวเร่งปฏิกิริยา 4%) มีค่าใกล้เคียง กับตัวอย่างที่อบด้วยตู้อบความร้อน 14 นาที (ตัวเร่งปฏิกิริยา 4%)
- (ง) ตัวอย่างที่ด้วยตู้อบความร้อนมีค่า impact strength ต่ำกว่าตัวอย่างที่อบด้วยเตาไมโครเวฟ

#### 4. สูตร IV :

- (ก) เปรียบเทียบสภาวะเตาไมโครเวฟ : ตัวอย่างที่อบ 14 นาที (ตัวเร่งปฏิกิริยา 1%) แสดงสมบัติเชิงกล ค่าสูด ตัวอย่างที่อบ 14 นาที (ตัวเร่งปฏิกิริยา 4%) และแสดงค่า impact strength สูงสุด และตัวอย่างที่ อบ 10 นาที (4%) และแสดงค่า flexural properties สูงสุด
- (ข) เปรียบเทียบสภาวะตู้อบความร้อน : ตัวอย่างที่อบ 14 นาที (ตัวเร่งปฏิกิริยา 4%) และแสดงค่า impact strength ต่ำกว่าตัวอย่างที่อบ 20 นาที (ตัวเร่งปฏิกิริยา 1%) แต่แสดงค่า flexural properties สูงกว่า
- (ค) ตัวอย่างที่อบด้วยตู้อบความร้อน 14 นาที (ตัวเร่งปฏิกิริยา 4%) และแสดงค่า tensile properties และ flexural properties สูงกว่าตัวอย่างที่อบด้วยเตาไมโครเวฟ และตัวอย่างที่อบด้วยตู้อบความร้อน 20 นาที (ตัวเร่งปฏิกิริยา 1%) และแสดงค่า flexural properties ต่ำกว่าตัวอย่างที่อบด้วยเตาไมโครเวฟ 10 นาที (ตัวเร่งปฏิกิริยา 4%)
- (ง) ตัวอย่างที่อบด้วยตู้อบความร้อน 14 นาที (ตัวเร่งปฏิกิริยา 4%) และแสดงค่า impact strength ต่ำกว่า ตัวอย่างที่อบด้วยเตาไมโครเวฟ 14 นาที (ตัวเร่งปฏิกิริยา 1% และ 4%)

#### 5. สูตร VI :

- (ก) เปรียบเทียบสภาวะเตาไมโครเวฟ : ตัวอย่างที่อบ 14 นาที (ตัวเร่งปฏิกิริยา 4%) และ tensile properties ดีที่สุด และแสดงค่า flexural properties ใกล้เคียงกับสภาวะอบ 10 นาที (ตัวเร่งปฏิกิริยา 4%)
- (ข) เปรียบเทียบสภาวะตู้อบความร้อน : ตัวอย่างที่อบ 14 นาที (ตัวเร่งปฏิกิริยา 4%) และแสดงค่า tensile properties และค่า flexural properties สูงกว่าตัวอย่างที่อบ 20 นาที (ตัวเร่งปฏิกิริยา 1%)
- (ค) ตัวอย่างที่อบด้วยตู้อบ 14 นาที (ตัวเร่งปฏิกิริยา 4%) และแสดงค่า tensile properties และ flexural properties สูงกว่าตัวอย่างที่อบด้วยเตาไมโครเวฟ ยกเว้นตัวอย่างที่อบด้วยตู้อบ 20 นาที มีค่า ใกล้เคียงกับตัวอย่างที่อบด้วยเตาไมโครเวฟ 14 นาที (ตัวเร่งปฏิกิริยา 4%)

#### 6. สูตร VII :

- (ก) เปรียบเทียบสภาวะเตาไมโครเวฟ : ตัวอย่างที่อบ 14 นาที (ตัวเร่งปฏิกิริยา 1%) และแสดงค่า tensile properties สูงสุด ตัวอย่างที่อบ 14 นาที (ตัวเร่งปฏิกิริยา 4%) และแสดงค่า impact strength สูงสุด และ ตัวอย่างที่มี 4% (10 และ 14 นาที) และแสดงค่า flexural properties ใกล้เคียงกัน
- (ข) เปรียบเทียบสภาวะตู้อบ : ตัวอย่างที่อบ 14 นาที (ตัวเร่งปฏิกิริยา 4%) และแสดงค่า tensile properties และค่า flexural properties สูงกว่าตัวอย่างที่อบ 20 นาที (ตัวเร่งปฏิกิริยา 1%)
- (ค) ตัวอย่างที่อบด้วยตู้อบความร้อน 14 นาที (ตัวเร่งปฏิกิริยา 4%) และแสดงค่า flexural properties และ impact strength สูงกว่าตัวอย่างที่อบด้วยเตาไมโครเวฟ และมีค่า tensile properties ใกล้เคียงกับ ตัวอย่างที่อบด้วยเตาไมโครเวฟ 10 นาที (ตัวเร่งปฏิกิริยา 4%)

#### 7. สูตร VIII :

- (ก) เปรียบเทียบสภาวะเตาไมโครเวฟ : ตัวอย่างที่มีตัวเร่งปฏิกิริยา 4% และแสดงค่า tensile properties ดี ที่สุด โดยตัวอย่างที่อบ 14 นาที (ตัวเร่งปฏิกิริยา 1%) และแสดงค่า tensile properties ใกล้เคียงกับ

ตัวอย่างท่อน 10 นาที (ตัวเร่งปฏิกิริยา 4%) แม้มีค่า flexural properties สูงกว่า และมีค่า impact strength ต่ำกว่า

- (ข) เปรียบเทียบสภาวะดื้อ : ตัวอย่างท่อน 14 นาที (ตัวเร่งปฏิกิริยา 4%) และค่า tensile properties สูงกว่าตัวอย่างท่อน 20 นาที (ตัวเร่งปฏิกิริยา 1%)
- (ค) ตัวอย่างท่อนด้วยดื้อความร้อน 14 นาที (ตัวเร่งปฏิกิริยา 4%) และค่า tensile properties ใกล้เคียง กับตัวอย่างท่อนด้วยเดาในโครงเฟฟ (ตัวเร่งปฏิกิริยา 4%) ทั้ง 10 นาที และ 14 นาที แต่แสดงความ แข็งแรงด้าน flexural properties ต่ำกว่า (แต่มากกว่า) และแสดงค่า impact strength สูงกว่า ตัวอย่างท่อนด้วยเดาในโครงเฟฟ 14 นาที (ตัวเร่งปฏิกิริยา 4%)

จากผลการทดลองที่ได้ จะเห็นว่าการอบด้วยเดาในโครงเฟฟสามารถให้สมบัติเชิงกลที่ดีกว่าการอบด้วย ดื้อความร้อน ทั้งนี้ขึ้นอยู่กับสูตรเรชิน สภาวะการอบ และประเภทของสมบัติเชิงกล อย่างไรก็ตาม เป็นที่น่าสังเกต ว่า เรชินสูตร // มีศักยภาพในการอบด้วยเดาในโครงเฟฟ คือ แสดงสมบัติเชิงกลดีขึ้นในภาพรวม

### 3.2.2 สมบัติทางกลแบบพลวัตเชิงความร้อนและพลังงานgradeตุน

นำขั้นงานท่อนแล้วมาวิเคราะห์ด้วยเทคนิค DMTA เพื่อหาค่า dynamic mechanical properties ( $\tan \delta$ , storage modulus, loss modulus, full-width at half-maximum) และพลังงานgradeตุน (activation energy,  $E_a$ ) activation enthalpy ( $\Delta H^*$ ) และ activation entropy ( $\Delta S^*$ ) ณ ตำแหน่ง  $T_g$  การวิเคราะห์จะได้สมบัติต่างๆดังนี้

(1) อุณหภูมิที่สูงที่สุดของ  $\tan \delta$  ซึ่งเทียบเท่ากับ glass transition temperature ( $T_g$ )

(2)  $\tan \delta$  maximum คือตำแหน่งที่สูงที่สุดของ  $\tan \delta$  เป็นตัวบ่งบอกอัตราส่วนระหว่าง loss modulus ( $E''$ ) และ storage modulus ( $E'$ ) ถ้าค่าสูงขึ้นแสดงว่ามีสัดส่วนพลังงานที่สูญหายไปมากขึ้น

(3) Full-width-at-half-maximum (FWHM) เป็นความกว้างของพีค  $\tan \delta$  ที่ระเบิดร่องหนึ่งของความสูง ค่านี้จะบ่งบอกถึงความสามารถในการดูดกลืนพลังงานหรือ damping ถ้าพีคกว้างขึ้นจะมี damping มากขึ้น ความสามารถในการรับพลังงานมากขึ้น

ตารางที่ 3.22 แสดงสมบัติต้านกลศาสตร์ความร้อนเชิงพลศาสตร์ (dynamic mechanical thermal properties) ของเรชินสูตรต่างๆที่มีปริมาณตัวเร่งปฏิกิริยา 4 % ทดสอบด้วยความถี่ 1 Hz ในที่นี้จะเปรียบเทียบใน แบ่งของการอบที่แตกต่างกันเท่านั้น ไม่ได้มีความมุ่งหมายที่จะเปรียบเทียบสูตรแต่ละสูตร ค่า  $\tan \delta$  หรือ  $T_g$  ของเรชินที่ได้จากการอบด้วยดื้อและอบด้วยเดาในโครงเฟฟ มีค่าใกล้เคียงกัน ค่าที่ไม่เท่ากันนี้อาจเป็นเพราะความ หนาแน่นของการเชื่อมโดยไม่หลุบไม่เท่ากัน หรือความเป็นเนื้อเดียวกันสม่ำเสมอไม่เท่ากัน ไม่สามารถหา ความสัมพันธ์ระหว่าง  $T_g$  จากตารางที่ 3.22 และปริมาณการเกิดปฏิกิริยาจากตารางที่ 3.24 ทั้งนี้อาจเป็นเพราะมี ข้อผิดพลาดจากการทดลอง (experimental errors) แต่ยังอยู่ในช่วงที่ยอมรับได้ ปรากฏการณ์ที่ค่า  $T_g$  ไม่สัมพันธ์ กับปริมาณการเกิดปฏิกิริยานี้พบในการทดลองของ Boey and Yap [1] ส่วนค่าอื่นๆมีค่าใกล้เคียงกันระหว่างอีพ็อก ซีเรชินท่อนด้วยวิธีการทั้งสอง

ค่าพลังงานgradeตุน (activation energy,  $E_a$ ) ที่ตำแหน่ง  $T_g$  ( $\alpha$  transition) ที่คำนวณด้วยเทคนิค DMTA ได้จากการอ้างอิง [2-6] ตามสมการอาร์涅ส ดังนี้

$$\ln(f) = \ln A - (E_a/R) \cdot 1/T_g \quad (3.3)$$

เมื่อ  $f$  = ความถี่ที่ทดสอบ หน่วยเป็น Hz

$R$  = ค่าคงที่ของกําช (gas constant = 8.314 J/K mol)

$$T_g = \text{อุณหภูมิที่ทำให้ } \tan\delta_{\max} \text{ หรือ } T_g \text{ หน่วยเป็น K}$$

คำนวณเพลิงงานกระตุ้นจากความชันของกราฟความสัมพันธ์ระหว่าง  $\ln(f)$  และ  $1/T_g$  ในการทดลองนี้ใช้ค่า  $T_g$  ที่ความถี่ 1, 10 และ 30 Hz

ค่า activation enthalpy ( $\Delta H^*$ ) ได้จากการชัน ( $\Delta H^*/R$ ) ของกราฟความสัมพันธ์ระหว่าง  $\ln(f/T_g)$  และ  $1/T_g$  ตามสมการต่อไปนี้

$$\ln(f/T_g) = \ln(k/2\pi\hbar) - (\Delta H^*/R) \cdot 1/T_g - \Delta S^*/R \quad (3.4)$$

เมื่อ  $\hbar$  = ค่าคงที่ของแพลนค์ (Planck constant =  $6.626 \times 10^{-34}$  Js)

$K$  = ค่าคงที่ของโบลต์ซ์แมน (Boltzmann constant =  $1.380 \times 10^{-23}$  J/K)

$\Delta S^*$  = activation entropy ค่านิวน์ได้จากการดัดแกน y ( $c = \ln(k/2\pi\hbar) - \Delta S^*/R$ )

(ค่านิวน์ activation enthalpy และ activation entropy ตามเอกสารอ้างอิง [3])

ตารางที่ 3.22 สมบัติต้าน DMTA ของเรซินที่มีปริมาณตัวเร่งปฏิกิริยา 4 % ทดสอบที่ความถี่ 1 Hz

	I	II	III	IV	VI	VII	VIII
<b><math>\tan\delta</math> (°C)</b>							
Thermal 14 min	104.4	144.1	147.7	135.3	134.7	115.8	115.1
Microwave 14 min	110.6	135.1	149.1	138.0	130.5	132.0	107.5
Microwave 20 min	120.7	139.7	144.1	138.4	122.9	132.9	115.4
<b><math>\tan\delta</math> maximum</b>							
Thermal 14 min	1.240	0.781	0.525	0.846	0.773	0.652	0.667
Microwave 14 min	1.185	0.734	0.534	0.915	0.832	0.649	0.875
Microwave 20 min	0.763	0.756	0.539	0.943	0.866	1.010	0.859
<b>Full-width-at-half-maximum (FWHM) of <math>\tan\delta</math> (°C)</b>							
Thermal 14 min	19.25	20.61	32.29	18.82	23.67	33.67	33.02
Microwave 14 min	17.58	21.43	11.83	19.67	31.18	25.15	21.42
Microwave 20 min	23.45	26.20	23.51	27.54	26.68	17.56	19.50
<b>Glassy modulus (GPa)</b>							
Thermal 14 min	2.43	1.58	1.57	1.81	2.20	2.39	1.72
Microwave 14 min	1.51	1.56	1.16	1.04	1.27	1.46	1.93
Microwave 20 min	1.19	1.38	1.22	1.23	0.84	1.42	1.56
<b>Rubber modulus (MPa)</b>							
Thermal 14 min	24.8	15.7	16.9	16.5	18.7	14.1	10.7
Microwave 14 min	14.4	17.9	15.7	14.2	13.7	16.8	11.8
Microwave 20 min	14.7	13.1	26.8	16.1	11.4	14.1	13.9

ค่าพลังงานgradeต้นของอีพ็อกซี่-แอนไฮดริดเรชินที่ศึกษานี้ มีพลังงานgradeต้นอยู่ในช่วง 327 - 597 kJ/mol ยกเว้นสูตร VI ที่มีค่าต่ำมาก (200 kJ/mol) ดังแสดงในตารางที่ 3.23 ซึ่งน่าจะเกิดจากข้อผิดพลาดในการทดลอง พลังงานgradeต้นที่ค่านวนได้นี้มีค่าใกล้เคียงกับพลังงานgradeต้นของอีพ็อกซี่ที่รายงานจากนักวิจัยอื่นๆ ได้แก่ 286 - 525 kJ/mol [3], 290 - 508 kJ/mol [4], และ 357 kJ/mol [5] Cook และคณะ [6] ได้รายงานว่าพลังงานgradeต้นของอีพ็อกซีมีค่าประมาณ 500 - 600 kJ/mol ซึ่งค่าที่ได้นี้มีค่าอยู่ระหว่างค่าที่มีการรายงานมาก่อน คือ 700 - 900 kJ/mol และ 200 kJ/mol Chen และคณะ [7] ได้รายงานค่าพลังงานgradeต้นของพอลิเมอร์ต่างๆ (PEEK, nylon 6, nylon 6/12, nylon 12, PET) มีค่าอยู่ในช่วง 230 - 790 kJ/mol จะเห็นได้ว่าค่าพลังงานgradeต้นของอีพ็อกซีที่อบด้วยเตาไมโครเวฟมีค่าใกล้เคียงกับที่อบด้วยตู้อบ บ่งบอกว่าระบบการให้ความร้อนทั้งสองแบบนี้ไม่มีผลอย่างมีนัยสำคัญต่อโครงสร้างของไมเลกุลที่เชื่อมโยงกัน ค่าพลังงานgradeต้นมีแนวโน้มสัมพันธ์กับ  $T_g$  หรือ  $\tan \delta_{max}$  คือ เมื่อ  $T_g$  สูงขึ้นพลังงานgradeต้นจะสูงขึ้นด้วย พฤติกรรมนี้พบในรายงานอื่นๆด้วย [3,4] Laso และคณะ [4] อธิบายว่า ความหนาแน่นของปริมาณการเรือนโยงไมเลกุลของอีพ็อกซีสัมพันธ์กับค่า  $T_g$  หากกว่าค่าพลังงานgradeต้น ในขณะที่ผลการทดลองของโครงสร้างนี้ ยังไม่สามารถหาความสัมพันธ์โดยตรงระหว่างพลังงานgradeต้นและปริมาณการเกิดปฏิกิริยา ทั้งนี้อาจเป็นเพราะค่าปริมาณการเกิดปฏิกิริยาที่ค่านวนได้มีค่าใกล้เคียงกันมากเพริ่งไปทางขวาสูตรเรชินที่คลายเคลิงกันมาก และโดยทั่วไปค่าพลังงานgradeต้นของพอลิเมอร์จะอยู่ในช่วงกว้างมาก ซึ่ง Cook และคณะ [6] ได้กล่าวว่าพลังงานgradeต้นอาจไม่ขึ้นอยู่กับปริมาณการเกิดปฏิกิริยา ส่วนค่า activation enthalpy มีทิศทางเดียวกันกับค่าพลังงานgradeต้น ค่า activation entropy ที่ค่านวนได้มีค่าสูงมาก แสดงถึงความไม่เป็นระเบียบในระดับสูง หรือกล่าวอีกนัยหนึ่งคือมีปริมาณการเคลื่อนไหวของไมเลกุลสูงในช่วง  $\alpha$  transition (high degree of long range cooperative motion) รายละเอียดของผลการทดลองอ่านเพิ่มเติมใน reprint ที่แนบในภาคผนวก ก

ตารางที่ 3.23 พลังงานgradeต้นที่ต่ำแห่ง  $T_g$  ของเรชินที่มีปริมาณตัวเร่งปฏิกิริยา 4 % ค่านวนจากการวิเคราะห์ด้วยเครื่อง DMTA

	I	II	III	IV	VI	VII	VIII
Activation energy, $E_a$ (kJ/mol)							
Thermal 14 min	365	575	315	438	521	391	354
Microwave 14 min	327	355	417	508	388	426	597
Microwave 20 min	406	474	458	515	200	442	459
Activation enthalpy, $\Delta H^\ddagger$ (kJ/mol)							
Thermal 14 min	363	571	311	435	518	388	351
Microwave 14 min	324	352	413	504	384	423	594
Microwave 20 min	402	471	455	512	197	439	456
Activation entropy, $\Delta S^\ddagger$ (J/mol)							
Thermal 14 min	728	1139	508	832	1037	765	673
Microwave 14 min	613	630	749	996	717	813	1328
Microwave 20 min	790	911	857	1012	267	850	941

#### เอกสารอ้างอิง

- Boey, F.Y.C.; Yap, B.H. Polymer Testing 2001, 20, 837.
- Cukierman, S.; Halary, J.L.; Monnerie, L. Polym Eng Sci 1991, 31, 1476.
- Dyakonov, T.; Chen, Y.; Holland, K.; et al. Polym Degra Stab 1996, 53, 217.

4. Laža, J.M., Julian, C.A., Larrauri, E., Leon, L.M. Polymer 1998, 40, 35.
5. Wingard, C.D. Thermo Acta 2000, 357-358, 293.
6. Cook, W.D., Scott, T.F., Tjevenon, S.Q., Forsythe, J.S. J Appl Polym Sci 2004, 93, 1348.
7. Chen, M.; Hellgeth, J. W.; Siochi, E.J.; Ward, T.C.; McGrath, J.E. Polym Eng Sci 1993, 33, 1122.

### 3.2.3 ปริมาณปฏิกิริยาเคมีและอุณหภูมิกลางส่วนของชั้น

นำชั้นงานที่อบแล้วมาตรวจสอบหากปริมาณการเกิดปฏิกิริยาด้วยเทคนิค DSC ปริมาณพื้นที่ได้กราฟของพีคคายความร้อน (exothermic peak) ถูกคำนวณเพื่อบ่งบอกปริมาณการเกิดปฏิกิริยาที่เกิดขึ้นของชั้นทดสอบนั้น เมื่อได้รับความร้อนอีกครั้งภายในเครื่องวิเคราะห์ พื้นที่ได้กราฟของด้วยที่เกิดปฏิกิริยาสมบูรณ์ (100% conversion) ได้มาจาก การวิเคราะห์ด้วยเรซินที่ทำให้เกิดปฏิกิริยาภายในเครื่อง DSC นั้น โดยการทดสอบสารเคมีตามสูตรต่างๆ ที่เรียกว่า fresh sample เทลงใน DSC pan

วิเคราะห์ หากปริมาณการเกิดปฏิกิริยาเทื่อมโคงไม่เทกุลงเรซินด้วยเครื่อง DSC ทำโดยตัดชั้นงานจากชั้นทดสอบบริเวณกลางแผ่นและบริเวณใกล้ขอบแผ่น ซึ่งเป็นตำแหน่งที่ถูกจับยืดด้วยหัวจับของเครื่องทดสอบ tensile properties ถ้าหากการอบเกิดปฏิกิริยาไม่สมบูรณ์ จะมีพีคคายความร้อนปรากฏบน DSC thermograms นำค่าพื้นที่ได้พีคนี้คำนวณตามสมการต่อไปนี้

$$\chi = [1 - (\Delta H_s / \Delta H_i)] \times 100 \quad (3.5)$$

เมื่อ	$\chi$	คือ	ปริมาณการเกิดปฏิกิริยา (extent of conversion)
	$\Delta H_i$	คือ	ปริมาณความร้อนที่คายออกมาจาก fresh sample
	$\Delta H_s$	คือ	ปริมาณความร้อนที่คายออกมากจากชั้นทดสอบ

$\Delta H_i$  เป็นดัชนีของปฏิกิริยาที่เกิดขึ้นอย่างสมบูรณ์ (100% conversion) โดยได้จากการอ่าน exothermic peak เช่นเดียวกัน ตารางที่ 3.24 แสดงปริมาณปฏิกิริยาที่เกิดขึ้นจากการอบของเรซินสูตรต่างๆ เมื่อมีตัวเร่งปฏิกิริยา ต่างกัน เรซินส่วนใหญ่จะเกิดปฏิกิริยานิ่ง 90 – 100 % มีเพียงบางสูตรในบางสภาวะที่มีการเกิดปฏิกิริยาไม่ถึง 90% จากการทดลองเบรียกเทียนค่าแห่งที่ต่างกันระหว่างบริเวณศูนย์กลางแผ่นและบริเวณใกล้ขอบแผ่น พบว่า ปริมาณการเกิดปฏิกิริยาต่างกันเล็กน้อย ผลการทดลองนี้บ่งบอกถึงความสม่ำเสมอของการเกิดปฏิกิริยาต่อทั่วชั้นงาน เพราจะตามปกติแล้ว การอบด้วยเตาไมโครเวฟทำให้บริเวณศูนย์กลางแผ่นร้อนก่อนบริเวณขอบ ถ้าใช้เวลาในการอบไม่เพียงพอ บริเวณขอบแผ่นจะไม่แข็งหรือเกิดปฏิกิริยาน้อยกว่า

หากพิจารณาเวลาที่ใช้ในการอบจริงกับปริมาณการเกิดปฏิกิริยาแล้ว การอบด้วยเตาไมโครเวฟจะมีประสิทธิผลมากกว่าการอบด้วยตู้อบ เนื่องจากเวลาที่ใช้ในการอบด้วยตู้อบจะใช้เวลานานกว่า คือ 20 นาที สำหรับเรซินที่มีปริมาณตัวเร่งปฏิกิริยา 1 % และ 14 นาที สำหรับเรซินที่มีปริมาณตัวเร่งปฏิกิริยา 4 % ในขณะที่ การอบด้วยเตาไมโครเวฟนั้น เวลาที่อบจริงจะสั้นกว่าเวลาที่ต้องไว้ในตารางที่ 3.4 หน้า 33

### ความสม่ำเสมอของการเกิดปฏิกิริยานะชั้นตัวอย่าง

ผลจากการวิเคราะห์ด้วยเครื่อง DSC เพื่อคำนวณหา ปริมาณการเกิดปฏิกิริยา (extent of conversion) ของอีพ็อกซี่เรซินที่อบด้วยตู้อบและเตาไมโครเวฟแสดงในตารางที่ 3.24 ชั้นงานบริเวณกลางแผ่น (center) มีความสำคัญมาก เพราะเป็นบริเวณที่นำไปทดสอบสมบัติเชิงกล ส่วนบริเวณขอบ (edge) ไม่ใช่ส่วนสำคัญในการทดสอบสมบัติเชิงกล แต่เป็นส่วนที่บ่งชี้ถึงการเกิดปฏิกิริยาอย่างสม่ำเสมอทั่วแผ่นงาน เตาไมโครเวฟที่ดีจะต้องทำ

ให้เรซินเกิดความร้อนส่วนเสนอหัวแฟ่นงาน อย่างไรก็ตาม ความส่วนเสนในการเกิดความร้อนนี้ขึ้นอยู่กับขนาดของชิ้นงาน (ความกว้าง) ที่เหมาะสมต่อเดาในโครงสร้างและสภาพการอบด้วย

การอบด้วยเดาในโครงสร้างและตู้อบความร้อนของเรซินตัวนี้ใหญ่มีปริมาณการเกิดปฏิกิริยาใกล้เคียงกันมาก มีเพียงบางด้วอย่างเท่านั้นที่มีค่าต่างกันมาก ปริมาณการเกิดปฏิกิริยาของชิ้นงานบริเวณศูนย์กลางและบริเวณนอกของเรซินส่วนใหญ่ก็มีค่าใกล้เคียงกัน แสดงว่าสภาพการอบและขนาดของแบบหล่อ มีความเหมาะสมต่อการอบอุณหภูมิกลางแทรนชิชันของชิ้นทดสอบเดียวกันนี้แสดงในตารางที่ รูปที่ 3.31 – 3.34 เป็นกราฟเปรียบเทียบปริมาณการเกิดปฏิกิริยาและอุณหภูมิกลางแทรนชิชันของข้อมูลในตารางที่ 3.24 และ 3.25

ตารางที่ 3.24 ปริมาณการเกิดปฏิกิริยา (%) ของอีพ็อกซีเรซิน ค่าวนด้วยเทคนิค DSC

สูตร	Specimen Thickness 1.5 mm <sup>a</sup>				Specimen Thickness 3 mm <sup>b</sup>			
	Accelerator 1%		Accelerator 4%		Accelerator 1%		Accelerator 4%	
	Center <sup>c</sup>	Edge <sup>d</sup>	Center <sup>c</sup>	Edge <sup>d</sup>	Center <sup>e</sup>	Edge <sup>f</sup>	Center <sup>e</sup>	Edge <sup>f</sup>
I (OV)	86.9	-	86.9	-	99.2	99.5	99.2	99.5
(MV)	92.3	92.3	92.3	92.3	96.9	97.5	96.9	97.5
II (OV)	89.7	-	97.2	-	99.6	99.4	98.8	-
(MV)	97.4	94.5	97.2	97.9	96.9	94.3	99.5	98.3
III (OV)	93.4	-	96.6	-	-	-	-	-
(MV)	99.9	85.2	99.6	94.1	-	-	-	-
IV (OV)	81.6	-	99.6	-	98.3	98.0	100	-
(MV)	96.3	88.4	99.7	97.7	94.7	94.6	99.5	99.8
VI (OV)	94.5	-	97.5	-	98.6	98.8	98.2	-
(MV)	95.0	91.3	98.2	83.4	94.6	93.7	96.2	97.7
VII (OV)	99.9	-	96.0	-	-	-	-	-
(MV)	99.9	99.1	99.3	91.4	-	-	-	-
VIII (OV)	97.3	-	99.1	-	98.5	99.2	99.2	-
(MV)	98.6	93.5	97.9	97.9	92.2	95.7	96.9	97.1

<sup>a</sup> ใช้เวลาอบ 14 นาที สำหรับเดาในโครงสร้าง ใช้เวลาอบ 20 นาที และ 10 นาที สำหรับการอบด้วยตู้อบความร้อนของเรซินที่มีตัวเร่งปฏิกิริยา 1% และ 4% ตามลำดับ ใช้ระดับกำลังในโครงสร้าง 3 และ 4 (ดูตารางที่ 3.4 หน้า 33) ไม่ทราบปริมาณตัวเร่งปฏิกิริยาในสูตร |

<sup>b</sup> คุณภาพการอบในตารางที่ 3.27 หน้า 82

<sup>c</sup> ชิ้นทดสอบตัดจากบริเวณแกจของ tensile tested specimens

<sup>d</sup> ชิ้นทดสอบตัดจากปลายสุดของ tensile tested specimens (ส่วนที่ถูกจับยึดด้วย grip ของเครื่องทดสอบจะเดึง)

<sup>e</sup> ชิ้นทดสอบตัดจากบริเวณกลางแผ่นชิ้นงานที่อบได้ (ใกล้จุดศูนย์กลางแผ่น)

<sup>f</sup> ชิ้นทดสอบตัดจากบริเวณห่างจากจุดศูนย์กลางแผ่นชิ้นงานที่อบได้ประมาณ 3-5 ซม.

ตารางที่ 3.25 Glass transition temperature ของอีพ็อกซิเรซิน คำนวณด้วยเทคนิค DSC (ข้อมูลชุดเดียวกัน กับตารางที่ 3.24)

สูตร	Specimen Thickness 1.5 mm <sup>a</sup>				Specimen Thickness 3 mm <sup>b</sup>			
	Accelerator 1%		Accelerator 4%		Accelerator 1%		Accelerator 4%	
	Center <sup>c</sup>	Edge <sup>d</sup>	Center <sup>c</sup>	Edge <sup>d</sup>	Center <sup>e</sup>	Edge <sup>f</sup>	Center <sup>e</sup>	Edge <sup>f</sup>
I (OV)	82.3	-	82.3	-	118.3	118.7	118.3	118.7
(MV)	89.0	88.3	89.0	88.3	106.3	106.0	106.3	106.0
II (OV)	90	-	76.7	-	110.7	112.3	116.6	-
(MV)	93.0	91.3	96	93	80.7	81.0	112.3	115.7
III (OV)	88.7	-	99.0	-	-	-	-	-
(MV)	114.3	83.0	111.7	89.7	-	-	-	-
IV (OV)	83.3	-	77.0	-	120.7	126.0	116.6	-
(MV)	89.7	78.3	95.7	63.7	81.7	83.0	115.3	112.0
VI (OV)	88	-	89.3	-	80.7	78.7	101.9	-
(MV)	85.3	81.7	90	70	75.0	75.7	86.1	77.3
VII (OV)	89.3	-	85.7	-	-	-	-	-
(MV)	89.0	88.0	88	60	-	-	-	-
VIII (OV)	88.0	-	88.3	-	75.7	74.7	102.4	-
(MV)	82.0	80.0	100.0	91	77.7	75.7	93.3	94.7

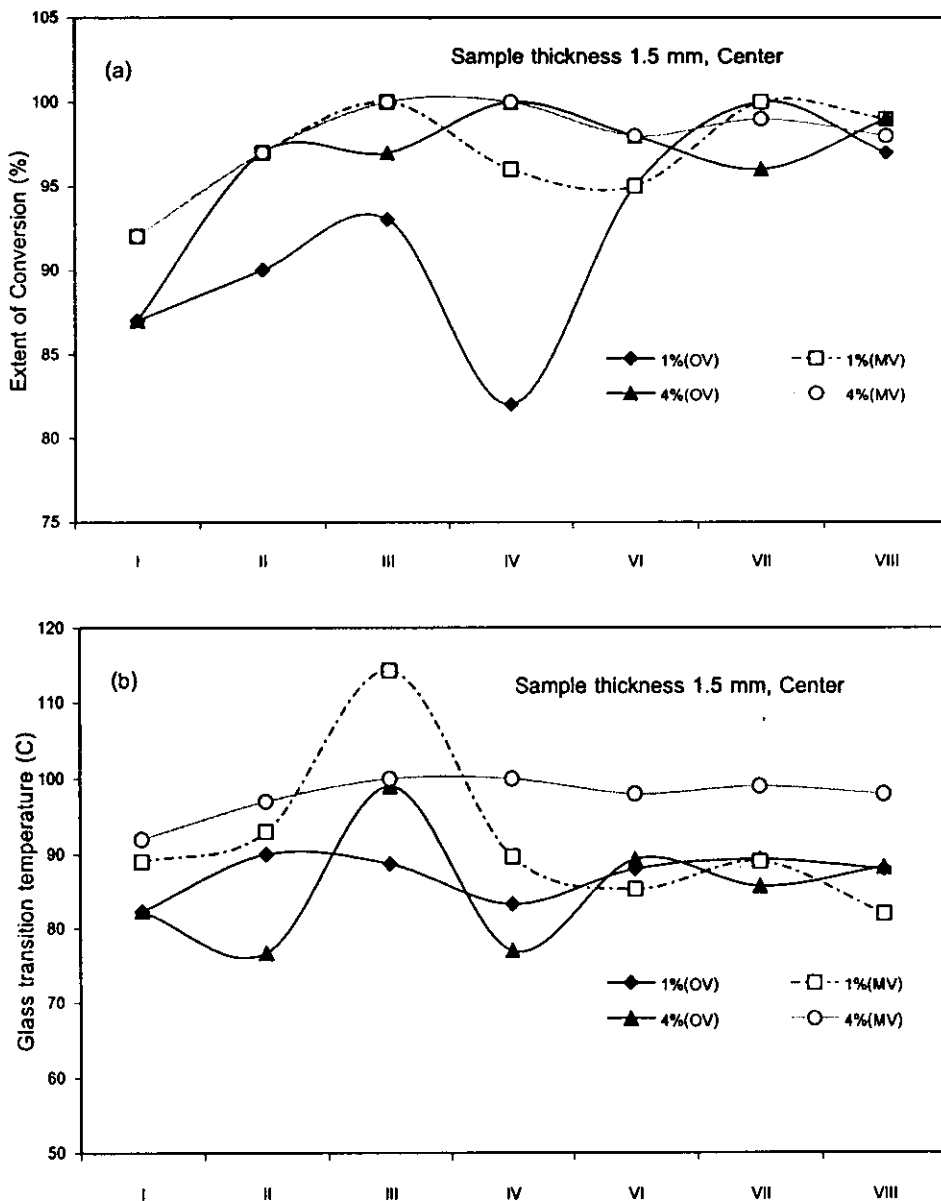
(<sup>a</sup> – <sup>f</sup> เช่นเดียวกับตารางที่ 3.24)

ปริมาณตัวเร่งปฏิกิริยาเมื่อผลต่อปริมาณการขยายความร้อนและอุณหภูมิที่เกิดปฏิกิริยาสูงสุด ดังแสดงในตารางที่ 3.26 ซึ่งอุณหภูมิสูงสุด ( $T_{peak}$ ) จะต่ำลงมากกว่า  $10^{\circ}\text{C}$  เมื่อเพิ่มปริมาณเป็น 4% พื้นที่ไดกราฟมีค่าเพิ่มขึ้น เช่นเดียวกับ ยกเว้นสูตร VII ที่มีปริมาณต่างกันน้อยมาก แสดงว่าตัวเร่งปฏิกิริยาทำให้เกิดปฏิกิริยาเร็วขึ้น (อุณหภูมิลดลง) และส่งผลให้มีปฏิกิริยามากขึ้น (การขยายความร้อนมากขึ้น)

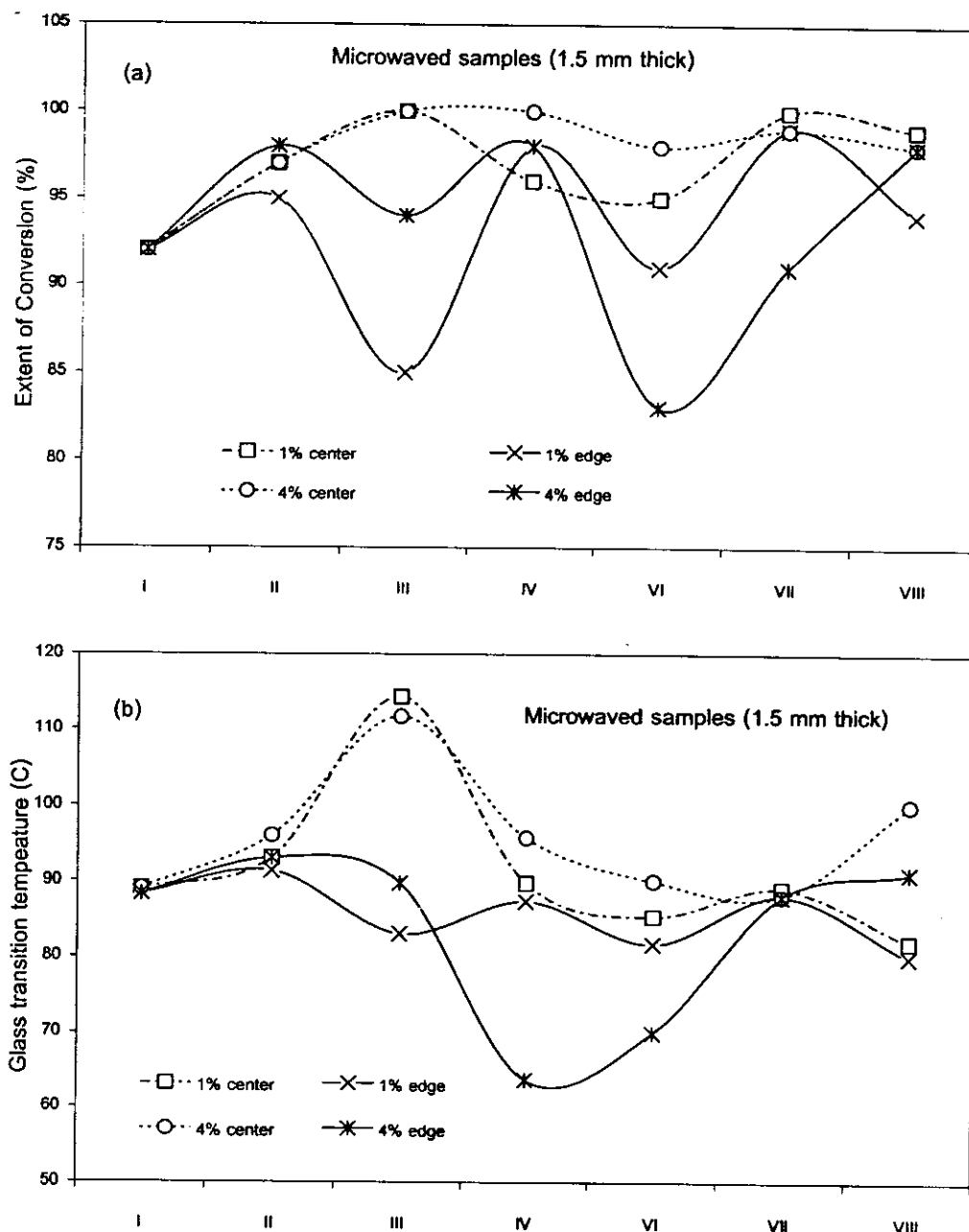
ตารางที่ 3.26 พื้นที่ไดพีค (enthalpy,  $\Delta H$ ) และอุณหภูมิที่ตำแหน่งของ exothermal peak ( $T_{peak}$ ) ของ fresh samples (epoxy : hardener = 100 : 80) เมื่อวิเคราะห์ด้วยเครื่อง DSC

Resin	Accelerator 1%		Accelerator 4%	
	$\Delta H$ (J/g)	$T_{peak}$ ( $^{\circ}\text{C}$ )	$\Delta H$ (J/g)	$T_{peak}$ ( $^{\circ}\text{C}$ )
I <sup>a</sup>	312	157.7	312	157.7
II	254	166.3	330	143.0
III	339	162.3	363	150.0
IV	252	169.7	324	146.3
VI	282	167.7	322	149.3
VII	363	166.0	367	153.7
VIII	302	168.0	340	148.7

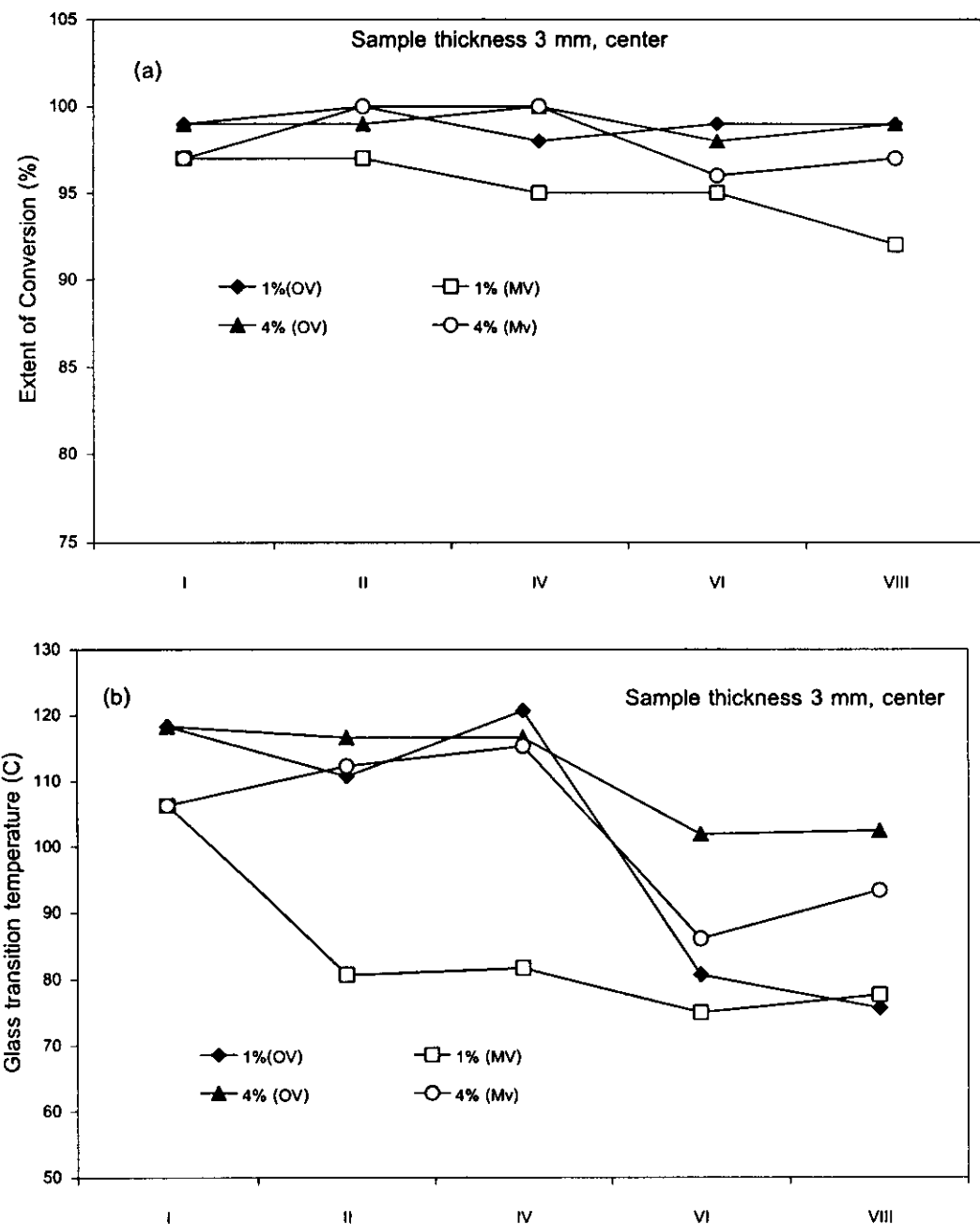
(<sup>a</sup> ไม่ทราบปริมาณตัวเร่งปฏิกิริยา)



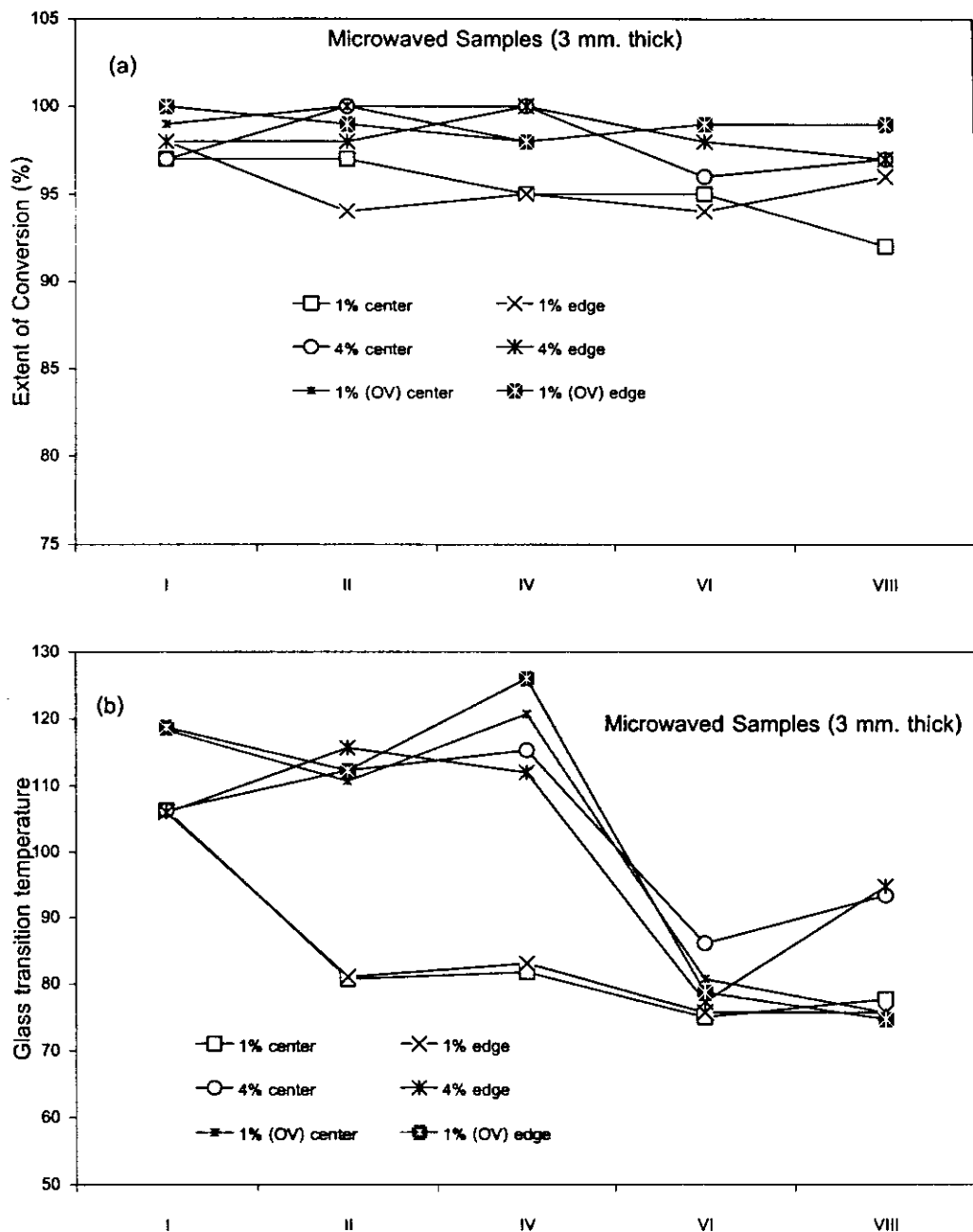
รูปที่ 3.31 กราฟแสดงปริมาณการเกิดปฏิกิริยา (a) และอุณหภูมิกลассแทรนช์ชัน (b) ของอี-พ็อกซีเรซิน ที่อบด้วยดูอ่อนความร้อน (OV) และเตาไมโครเวฟ (MV) ชั้นงานหนา 1.5 mm และมีปริมาณตัวเร่งปฏิกิริยา 1% และ 4% ตัดตัวอย่างบริเวณศูนย์กลางแผ่น



รูปที่ 3.32 กราฟแสดงปริมาณการเกิดปฏิกิริยา (a) และอุณหภูมิกล้าสแทรนช์ชั้น (b) ของอีพ็อกซีเรซินที่อบด้วยเตาไมโครเวฟ ชั้นงานหนา 1.5 mm และมีปริมาณด้วยเรงปฏิกิริยา 1% และ 4% ตัดตัวอย่างบริเวณศูนย์กลางแผ่น (center) และบริเวณขอบแผ่น (edge)



รูปที่ 3.33 กราฟแสดงปริมาณการเกิดปฏิกิริยา (a) และอุณหภูมิกล้าสแทรนช์ชั้น (b) ของอีพ็อกซี่เรซินที่อบด้วยตู้อบความร้อน (OV) และเตาไมโครเวฟ (MV) ชั้นงานหนา 3 mm และมีปริมาณตัวเร่งปฏิกิริยา 1% และ 4% ตัดต่ออย่างบวบเบนศูนย์กลางแผ่น



รูปที่ 3.34 กราฟแสดงปริมาณการเกิดปฏิกิริยา (a) และอุณหภูมิกลассแทรนซิชัน (b) ของอีพ็อกซีเรซินที่อบด้วยเตาไมโครเวฟและดู้บความร้อน (OV 1%) ชั้นงานหนา 3 mm และมีปริมาณตัวเร่งปฏิกิริยา 1% และ 4% ตัดตัวอย่างบริเวณศูนย์กลางแผ่น (center) และบริเวณขอบแผ่น (edge)

## สรุปผลการทดลอง

- อีพ็อกซี่-แอนไฮไดรต์เรซินที่ใช้ศักยานี้ สามารถอบให้เกิดปฏิกิริยาเชื่อมโดยไม่เลกุลด้วยเตาไมโครเวฟที่ใช้ในครัวเรือนได้ เช่นเดียวกับกับการอบด้วยตู้อบ โดยสมบัติเชิงกลของเรซินสูตร I และ II ท่อนด้วยเตาไมโครเวฟ เหมาะสมในการที่จะนำไปศึกษาต่อเพื่อทำเป็นอีพ็อกซี่คอมโพลิทที่อบด้วยเตาไมโครเวฟ เนื่องจากห้องส่องสูตรนี้ เมื่อบดด้วยเตาไมโครเวฟ แสดงสมบัติเชิงกลที่ดี ไม่ต้องกว่าชั้นงานที่อบด้วยตู้อบความร้อน
- การอบด้วยเตาไมโครเวฟจะใช้เวลาสั้นกว่าการอบด้วยตู้อบความร้อน เมื่อเทียบกับระยะเวลาอบจริงกับปริมาณการเกิดปฏิกิริยา
- สมบัติที่ได้จากการวิเคราะห์ด้วยเทคนิค DMTA แสดงให้เห็นว่าอีพ็อกซี่ที่อบด้วยเตาไมโครเวฟน่าจะมีความหนาแน่นการเชื่อมโดยไม่เลกุลใกล้เคียงกับอีพ็อกซี่ที่อบด้วยตู้อบ
- การวิเคราะห์ด้วยเครื่อง DSC ในกระบวนการการเกิดปฏิกิริยาและอุณหภูมิกลางแทรกซ้อน ยังไม่สามารถชี้แจงความแตกต่างสมบัติเชิงกลระหว่างตัวอย่างที่อบด้วยตู้อบและเตาไมโครเวฟ

### 3.3 อีพ็อกซี่เรซินอบด้วยคลีนไมโครเวฟสำหรับชั้นตัวอย่างหนา

เนื่องจากการเตรียมอีพ็อกซี่คอมโพลิท จำเป็นต้องใช้ชั้นทดสอบที่มีความหนาเพิ่มขึ้น โดยมีความหนาไม่ต่ำกว่า 3 mm ดังนั้น จึงทำการทดลองชุดใหม่ที่มีความหนา 3 mm สูตรที่มี EMI เป็นตัวเร่งปฏิกิริยาไม่สามารถทดสอบภาวะการอบในเตาไมโครเวฟที่เหมาะสมได้ เนื่องจากเรซินจะไหม้ คาดว่าเป็นเพราะชั้นงานมีความหนามากขึ้น ภาวะการอบในตู้อบความร้อนและในเตาไมโครเวฟแสดงในตารางที่ 3.27 ลังเกตได้ว่าเป็นภาวะการอบที่แตกต่างจากการอบตัวอย่างที่มีขนาดบาง จากที่กล่าวมาแล้วว่าสามารถใช้สภาวะการอบที่ต่างกันได้ เพราะจะใช้ลักษณะชั้นงานที่อบได้เป็นเกณฑ์กำหนด แต่อย่างไรก็ตาม พนว่าสภาวะการอบด้วยเตาไมโครเวฟของแต่ละสูตรยังคงอยู่ในช่วงเดียวกัน คือ ใช้ระดับกำลัง 3 และใช้เวลาในการอบในช่วง 6 – 10 นาที

ตารางที่ 3.27 สภาวะการอบด้วยเตาไมโครเวฟของตัวอย่างชนิดหนาแบบครั้งเดียว (single step)

Resin	Thermal oven (150°C)		Microwave oven (Level 3)	
	Accelerator 1%	Accelerator 4%	Accelerator 1%	Accelerator 4%
I	25 min		10 min	
II			12 min	7 min
IV	25 min	15 min	15 min	7 min
VI			12 min	6 min
VIII			10 min	6 min

#### 3.3.1 สมบัติเชิงกลของอีพ็อกซี่เรซินที่อบแบบขั้นตอนเดียว

Tensile properties, impact strength และ flexural properties ของอีพ็อกซี่เรซินสูตรต่างๆ และในตารางที่ 3.28 – 3.31 และรูปที่ 3.35 – 3.37 เรซินสูตร I ไม่ทราบปริมาณตัวเร่งปฏิกิริยา ส่วนเรซินสูตรอื่นๆ มีการเติมตัวเร่งปฏิกิริยาปริมาณ 1% และ 4% เมื่อเทียบสมบัติเชิงกลของแต่ละสูตรที่มีระบบการอบต่างกัน พนว่า ความแตกต่างสมบัติเชิงกลของสูตรต่างๆ มีความชัดเจน จำเป็นต้องพิจารณาแต่ละสมบัติ ซึ่งจะมีความเฉพาะตัวของสูตรและปริมาณตัวเร่งปฏิกิริยา สูตร I ท่อนด้วยเตาไมโครเวฟแสดง Tensile properties และ flexural properties ด้วยกว่าตัวอย่างที่อบด้วยตู้อบ ส่วนเรซินสูตร II ที่มีตัวเร่งปฏิกิริยาปริมาณ 4% เป็นสูตรที่มีศักยภาพสำหรับการอบด้วยเตาไมโครเวฟ เพราะให้สมบัติเชิงกลที่เทียบเท่าหรือดีกว่าตัวอย่างที่อบด้วยตู้อบ เรซินสูตรอื่นๆ แสดงสมบัติไม่สม่ำเสมอ

ตารางที่ 3.28 สมบัติเชิงกลของอีพ็อกซี่เรซินหนา 3 mm เรซินมีตัวเร่งปฏิกิริยา 1% อบด้วยตู้อบความร้อน

Resin	Tensile properties			Flexural properties			Impact Strength (kJ/m <sup>2</sup> )
	E (GPa)	$\sigma_b$ (MPa)	$\epsilon_b$ (%)	E (GPa)	$\sigma_b$ (MPa)	$\epsilon_b$ (%)	
I	1.66	69.21	8.06	3.84	96.81	6.36	3.18
	± 0.14	± 7.84	± 1.69	± 0.30	± 13.00	± 3.08	± 0.87
II	1.49	35.88	3.49	2.40	52.08	2.33	1.68
	± 0.23	± 8.23	± 0.81	± 0.54	± 0.20	± 0.41	± 0.44
IV	1.68	17.12	1.31	2.62	62.01	2.45	1.91
	± 0.33	± 5.12	± 0.39	± 0.35	± 10.88	± 0.39	± 0.29
VI	1.84	30.18	2.39	3.09	58.35	1.94	0.44
	± 0.28	± 6.89	± 0.50	± 0.35	± 8.95	± 0.25	± 0.13
VII	2.06	29.34	1.74	3.84	73.08	2.78	2.04
	± 0.14	± 6.19	± 0.33	± 0.73	± 5.18	± 0.26	± 1.15

ตารางที่ 3.29 สมบัติเชิงกลของอีพ็อกซี่เรซินหนา 3 mm เรซินมีตัวเร่งปฏิกิริยา 4% อบด้วยตู้อบความร้อน

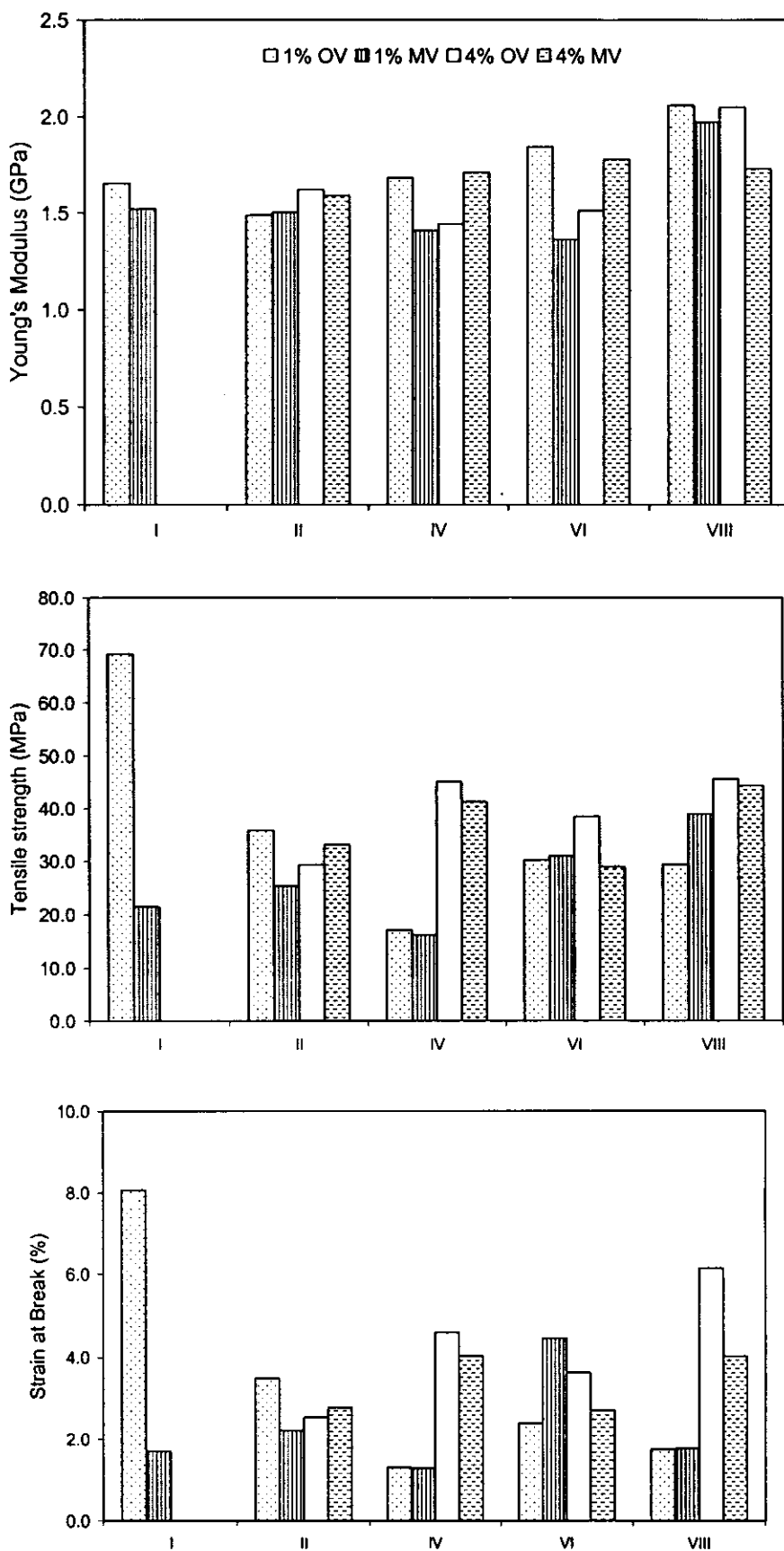
Resin	Tensile properties			Flexural properties			Impact Strength (kJ/m <sup>2</sup> )
	E (GPa)	$\sigma_b$ (MPa)	$\epsilon_b$ (%)	E (GPa)	$\sigma_b$ (MPa)	$\epsilon_b$ (%)	
I	1.66	69.21	8.06	3.84	96.81	6.36	3.18
	± 0.14	± 7.84	± 1.69	± 0.30	± 13.00	± 3.08	± 0.87
II	1.62	29.30	2.54	2.23	38.12	2.14	2.34
	± 0.05	± 3.19	± 0.42	± 0.56	± 5.24	± 1.48	± 1.03
IV	1.44	45.07	4.59	2.64	63.24	2.51	2.52
	± 0.07	± 9.04	± 0.73	± 0.23	± 12.73	± 0.39	± 1.00
VI	1.51	38.43	3.63	3.17	74.04	2.67	2.52
	± 0.17	± 5.00	± 0.54	± 0.15	± 19.42	± 0.91	± 0.96
VII	2.05	45.51	6.14	3.04	63.95	2.25	2.27
	± 0.15	± 7.00	± 2.9	± 0.25	± 8.42	± 0.46	± 0.43

ตารางที่ 3.30 สมบัติเชิงกลของอีพ็อกซีเรซินหนา 3 mm เรซินมีตัวเร่งปฏิกิริยา 1% omn ด้วยเตาไมโครเวฟ

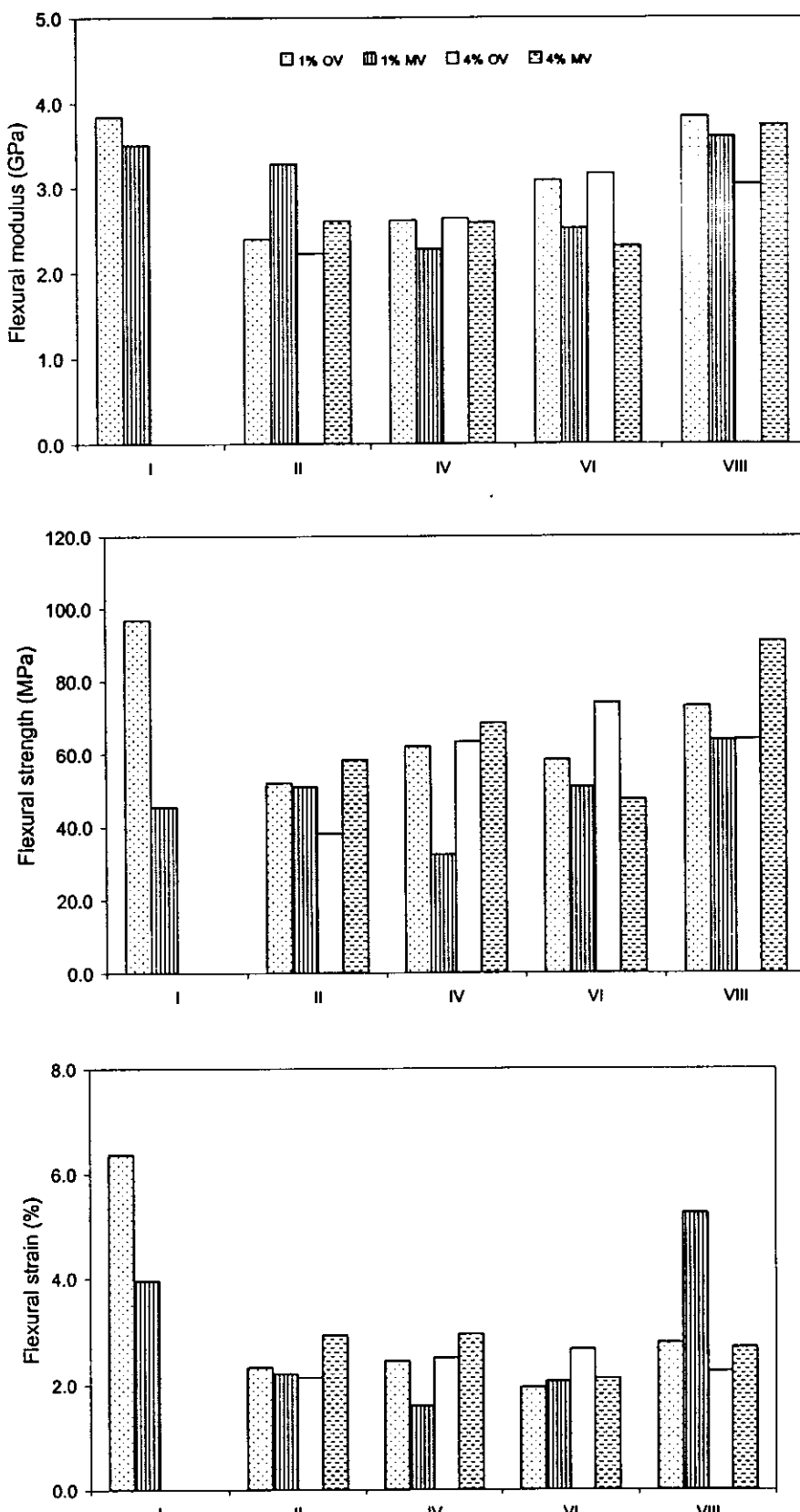
Resin	Tensile properties			Flexural properties			Impact Strength (kJ/m <sup>2</sup> )
	E (GPa)	$\sigma_b$ (MPa)	$\epsilon_b$ (%)	E (GPa)	$\sigma_b$ (MPa)	$\epsilon_b$ (%)	
I	1.52 ± 0.34	21.49 ± 5.31	1.70 ± 0.30	3.51 ± 0.10	45.24 ± 12.31	3.95 ± 0.23	3.11 ± 0.63
II	1.50 ± 0.21	25.27 ± 5.03	2.21 ± 0.90	3.29 ± 0.32	50.98 ± 8.79	2.21 ± 0.24	1.46 ± 0.24
IV	1.41 ± 0.44	16.23 ± 5.54	1.28 ± 0.38	2.28 ± 0.11	32.30 ± 7.04	1.61 ± 0.31	1.81 ± 0.52
VI	1.36 ± 0.29	31.01 ± 7.09	4.45 ± 1.14	2.52 ± 0.53	50.82 ± 5.74	2.06 ± 0.37	1.14 ± 0.45
VII	1.97 ± 0.12	38.92 ± 9.63	1.76 ± 1.1	3.60 ± 0.41	63.71 ± 16.44	5.24 ± 0.37	1.14 ± 0.45

ตารางที่ 3.31 สมบัติเชิงกลของอีพ็อกซีเรซินหนา 3 mm เรซินมีตัวเร่งปฏิกิริยา 4% omn ด้วยเตาไมโครเวฟ

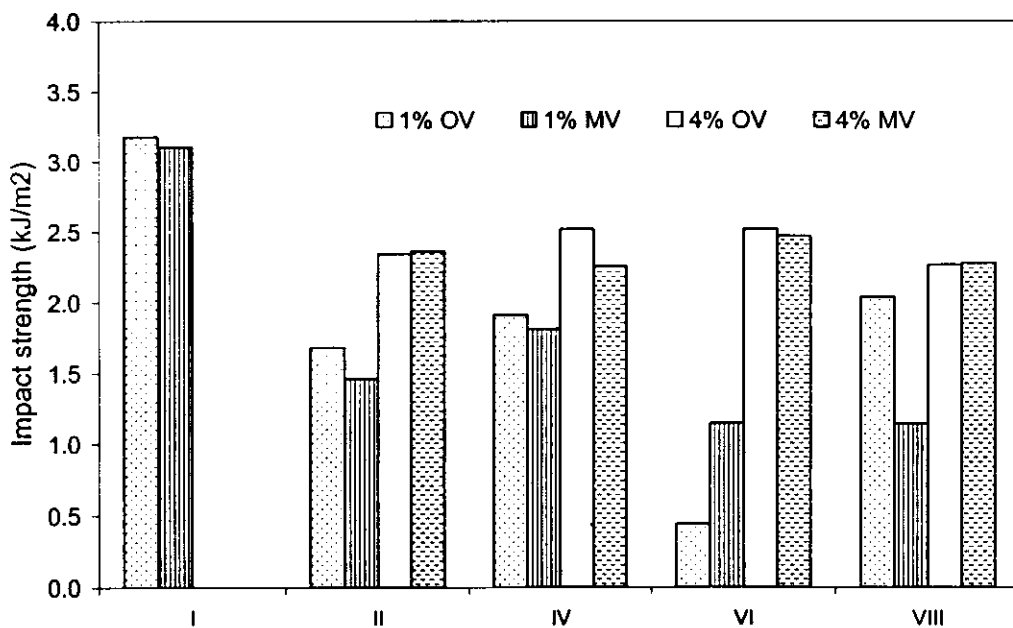
Resin	Tensile properties			Flexural properties			Impact Strength (kJ/m <sup>2</sup> )
	E (GPa)	$\sigma_b$ (MPa)	$\epsilon_b$ (%)	E (GPa)	$\sigma_b$ (MPa)	$\epsilon_b$ (%)	
I	1.52 ± 0.34	21.49 ± 5.31	1.70 ± 0.30	3.84 ± 0.30	96.81 ± 13	6.36 ± 0.38	3.18 ± 0.87
II	1.59 ± 0.17	33.11 ± 2.38	2.78 ± 0.58	2.61 ± 0.86	58.39 ± 9.58	2.93 ± 1.7	2.36 ± 0.71
IV	1.71 ± 0.16	41.24 ± 6.95	4.03 ± 0.37	2.59 ± 0.71	68.37 ± 9.78	2.94 ± 0.83	2.25 ± 0.45
VI	1.78 ± 0.07	28.88 ± 7.92	2.70 ± 0.54	2.31 ± 0.65	47.46 ± 15.63	2.11 ± 0.59	2.47 ± 0.35
VII	1.73 ± 0.25	44.28 ± 6.30	4.02 ± 1.30	3.74 ± 0.33	9099 ± 7.65	2.70 ± 0.48	2.28 ± 0.84



รูปที่ 3.35 Tensile properties ของอีพ็อกซี่เรซิโนบัฟเวอร์ครั้งเดียว มีตัวเร่งปฏิกิริยา 1% และ 4% ชั้นทดสอบหนา 3 mm (OV = oven และ MV = microwave)



รูปที่ 3.36 Flexural properties ของอีพ็อกซี่เรซินสูตรค่างๆ แบบอบครั้งเดียว ชั้นงานหนา 3 mm (OV = oven, MV = microwave, 1% และ 4% คือปริมาณตัวเร่งปฏิกิริยา)



รูปที่ 3.37 Impact strength ของอีพ็อกซีเรซินสูตรต่างๆ ที่อบแบบครั้งเดียว ชั้นงานหนา 3 mm  
(OV = oven, MV = microwave, 1% และ 4% คือ ปริมาณดั่วเร่งปฏิกิริยา)

สิ่งสำคัญของโครงการวิจัยนี้ คือ การเปรียบเทียบสมบัติเชิงกลของอีพ็อกซีเรซินและคอมโพลิสทรหัสว่างชั้นงานที่อบด้วยดูตอน (thermal curing) และอบด้วยเตาไมโครเวฟ (microwave curing) โดยศึกษาจากเรซินสูตรต่างๆ ไม่ได้มุ่งเน้นเปรียบเทียบสมบัติเชิงกลระหว่างสูตร แต่จะคัดเลือกสูตรที่เหมาะสมต่อการอบด้วยเตาไมโครเวฟ งานวิจัยในครั้งหลังนี้เป็นการศึกษาคอมโพลิสทรหัสว่างชั้นงานวิจัยช่วงแรกเป็นการศึกษาเฉพาะอีพ็อกซีเรซิน แต่เนื่องจากมีการปรับความหนาของชั้นงานเมื่อทำเป็นคอมโพลิสทรหัสว่างชั้นงานวิจัยช่วงแรกเป็นการศึกษาเฉพาะอีพ็อกซีเรซินที่ความหนาใหม่นี้ด้วย โดยช่วงแรกเตรียมด้วยย่างหนาประมาณ 1 - 2 mm ต่อมาเตรียมด้วยย่างหนาประมาณ 3 - 4 mm

### 3.3.2 สมบัติเชิงกลของอีพ็อกซีเรซินที่อบแบบหลายชั้นตอน

ตามที่ได้กล่าวมาแล้วว่า สูตร II เป็นสูตรที่เหมาะสมต่อการอบด้วยเตาไมโครเวฟมากที่สุด ดังนั้น การทดลองต่อไปจึงเลือกใช้สูตรนี้ และทำการเปรียบเทียบกับสูตร I การทดลองตอนนี้จะเลือกใช้เรซินที่มีดั่วเร่งปฏิกิริยา 4% เท่านั้น การอบหลายชั้นตอนในเตาไมโครเวฟ หมายถึงการอบโดยใช้ระดับกำลังต่างๆ ก่อน ในระยะเวลาหนึ่งๆ แล้วเพิ่มระดับกำลังให้สูงขึ้น ทำต่อเนื่องกันไป การเลือกใช้สภาวะการอบเช่นนี้ เป็นการทดลองคล้ายกับการลองผิดลองถูกในเบื้องต้น เพื่อให้ทราบพื้นฐานที่ต้องการ สภาวะที่ผ่านมา ระดับกำลัง 2 ไม่สามารถทำให้อีพ็อกซีเรซินแข็งตัวได้ จึงเลือกใช้ระดับกำลังนี้เป็นจุดเริ่มต้น แต่ระยะเวลาที่ใช้ในการอุ่นนั้น ไม่มีเกณฑ์ในการกำหนด ต้องทำการทดลองเก็บข้อมูลด้วยการใช้ระยะเวลาต่างๆ กัน สภาวะการอบในเตาไมโครเวฟแบบหลายชั้นตอนของเรซินสูตร I และสูตร II แสดงในตารางที่ 3.32 เรซินสูตร I จะนำไปทดสอบ Tensile properties เท่านั้น ส่วนเรซินสูตร II มีสมบัติเชิงกลทั้ง 3 ประเภท ภาพแสดงการเปรียบเทียบสมบัติเชิงกลของเรซินในตารางที่ 3.32 แสดงในรูปที่ 3.38 – 3.41 เป็นที่น่าสังเกตว่า การอบหลายชั้นตอนในเตาไมโครเวฟจะแสดงสมบัติเชิงกลต่ำกว่าการอบแบบชั้นตอนเดียวและอบด้วย

ตู้อบความร้อน ยกเว้น impact strength ของเรซินสูตร II ที่การอบด้วยเตาไมโครเวฟแบบสองชั้นตอน ให้ค่าต่อลงทั้งนี้ต้องตรวจกว่า สภาวะการอบที่ทำน้ำอาจไม่ใช่สภาวะที่เหมาะสมก็ได้

ตารางที่ 3.32 สภาวะการอบในเตาไมโครเวฟแบบหลายชั้นตอนของเรซินสูตร I และสูตร II

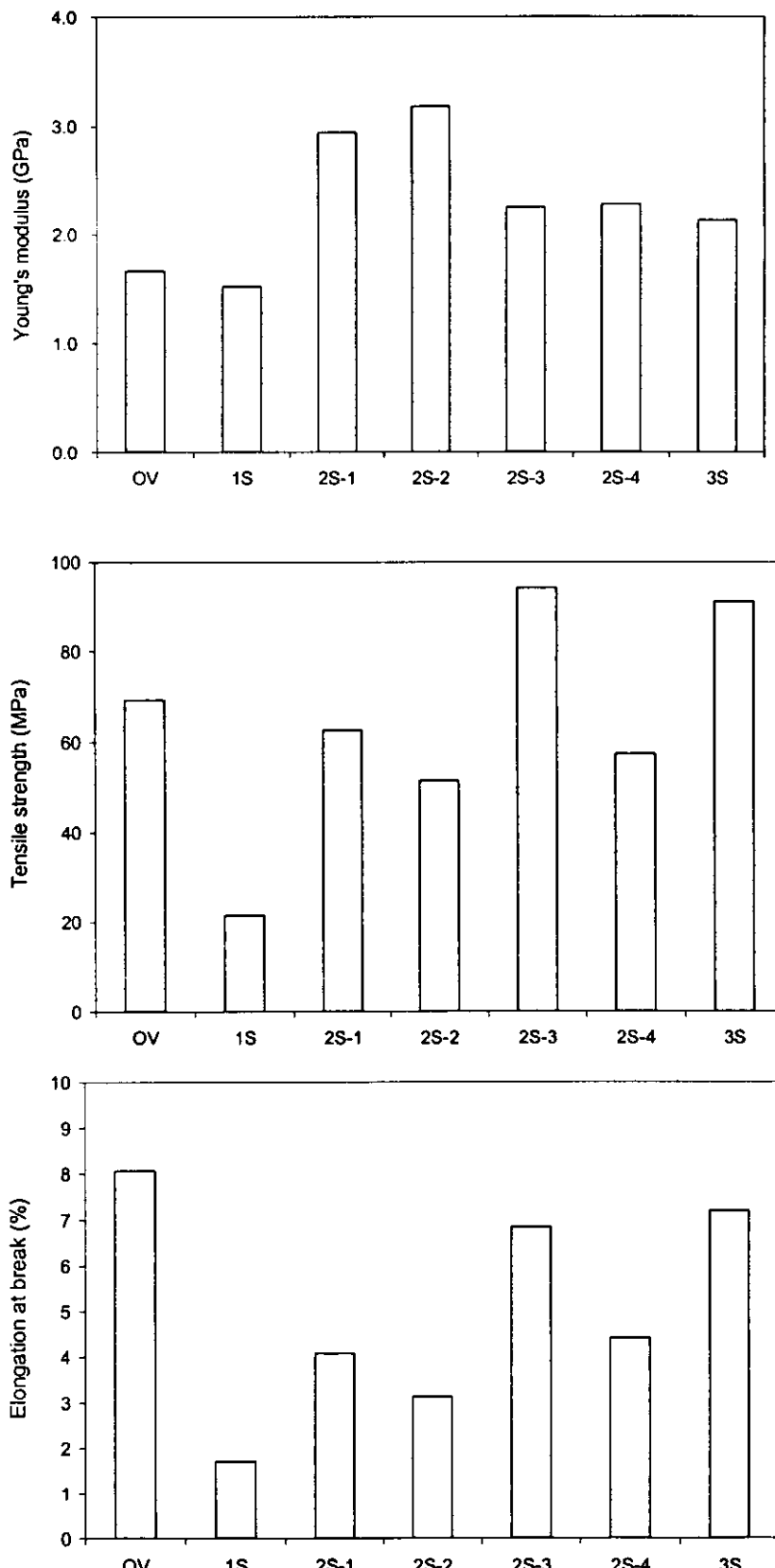
Code	Resin I			Resin II		
	Heat source	Condition	T <sup>*</sup> (sec)	Heat source	Condition	T <sup>*</sup> (sec)
OV	Thermal oven	150°C, 25 min	1500	Thermal oven	150°C, 15 min	900
1S	Microwave oven	L3/10	180	Microwave oven	L3/7	125
2S-1		L2/20 + L4/5	339		L2/5 + L4/3	131
2S-2		L2/25 + L3/5	357		L2/5 + L3/5	144
2S-3		L2/25 + L6/5	465		L2/3 + L4/3	110
2S-4		L2/20 + L3/10	393		L2/3 + L4/5	159
2S-5		-	-		L2/10 + L3/5	198
2S-6		-	-		L2/10 + L3/7	233
2S-7		-	-		L2/10 + L4/3	185
2S-8		-	-		L2/10 + L4/5	234
2S-9		-	-		L3/5 + L4/3	167
3S	L2/20+L3/10+L5/5		555	L2/10 + L3/7 + L4/3		310

หมายเหตุ

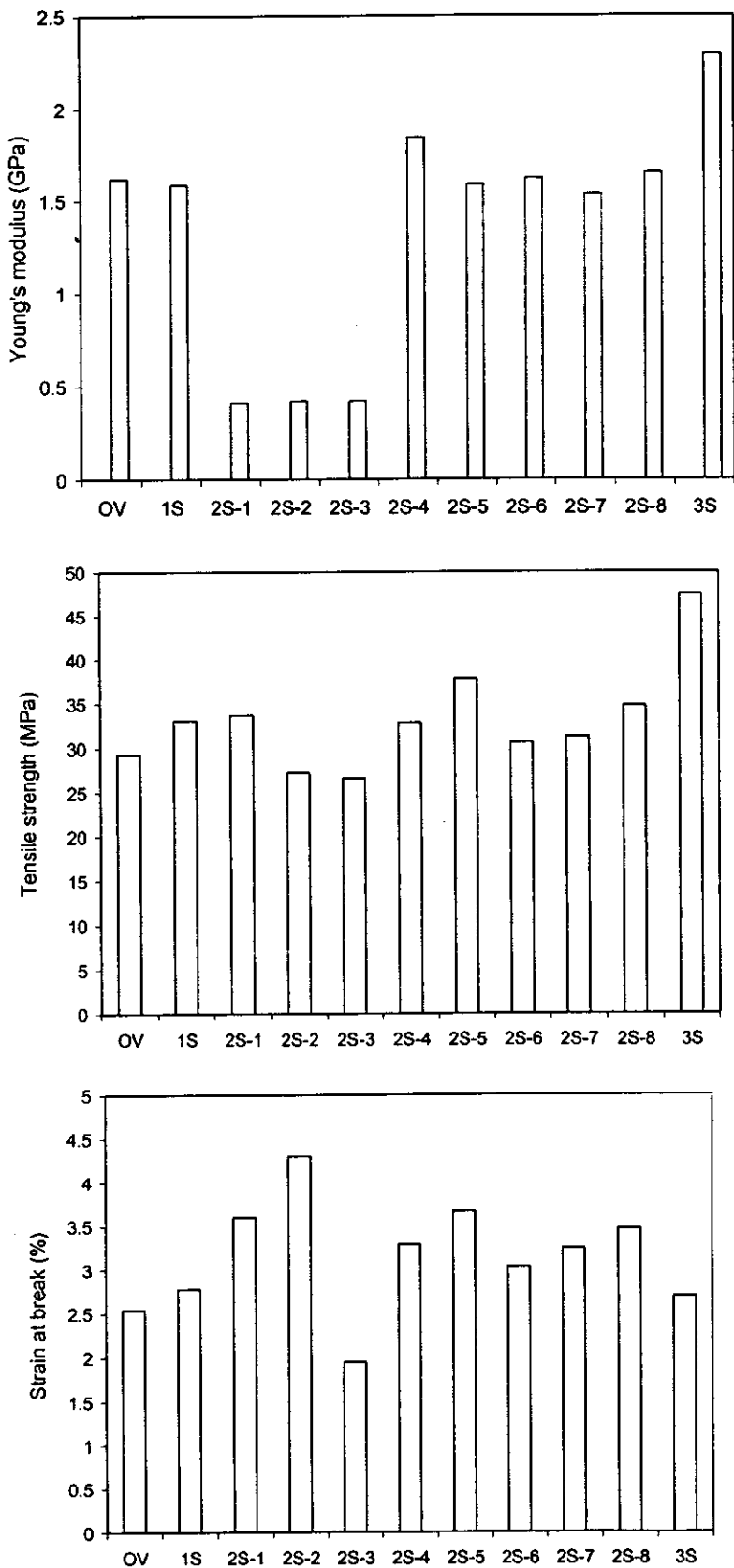
L2/20 หมายถึงใช้ระดับกำลัง 2 และตั้งเวลาไว้ 20 นาที

T<sup>\*</sup> หมายถึงเวลาที่ใช้จริงในการให้คลื่นไมโครเวฟแก่ตัวอย่าง (actual heating time)

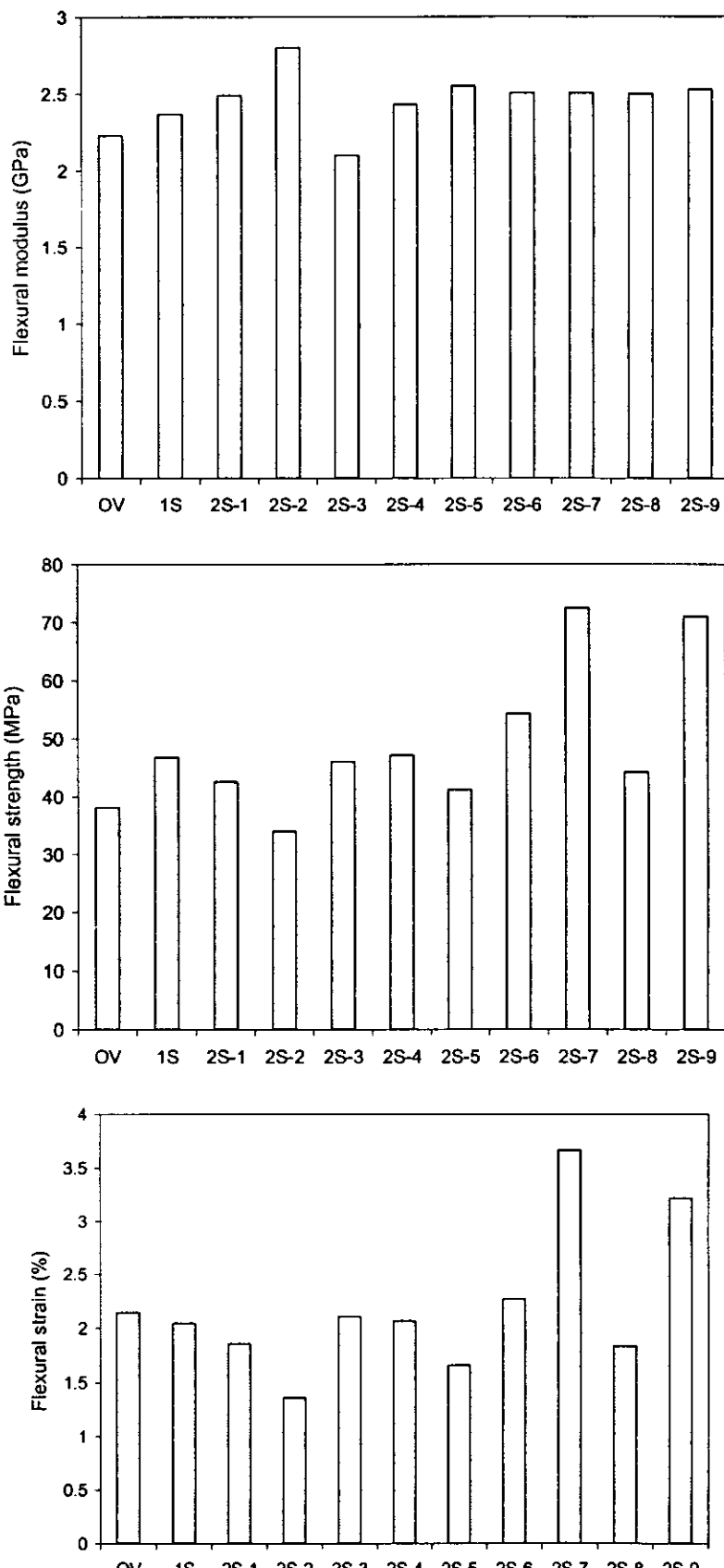
ตัวอย่างที่ใช้ในการทดสอบคงตอนนี้เป็นตัวอย่างชนิดหนา ( $\geq 3$  mm) ดังนั้น ระยะเวลาในการอบด้วยตู้อบความร้อนจึงค่อนข้างนาน การคิดเวลาในการอบด้วยเตาไมโครเวฟ เป็นหัวข้อที่อาจมีข้อคิดเห็นขัดแย้งกันได้ เพราะเตาไมโครเวฟที่ใช้ในครัวเรือน มีระยะเวลาในการเปิดเครื่องไม่เท่ากับระยะเวลาที่วัสดุได้รับคลื่นไมโครเวฟเนื่องจากโครงสร้างที่มีข้อจำกัด คือไม่สามารถสร้างเตาไมโครเวฟได้เอง จึงไม่สามารถควบคุมระยะเวลาปล่อยคลื่นให้ต่อเนื่องได้ ถ้าหากคิดระยะเวลาในการเปิดเครื่อง (setting time) จากผลรวมของเวลาทุกรอบดับ เช่น สูตร 2S-1 ที่ใช้เวลาเท่ากัน 25 นาที แต่ถ้าหากพิจารณาเวลาที่เครื่องปล่อยคลื่นไมโครเวฟออกมานะ (actual heating time) จะเป็นเวลาเพียง 339 วินาที เท่านั้น การพิจารณาระยะเวลาอบในตู้อบความร้อนนั้น จะต้องใช้เวลาหักหมดที่วัสดุอยู่ภายในตู้อบ เนื่องจากเป็นการใช้ไอน้ำในบรรยากาศภายในตู้ ด้วยเหตุนี้ จะเห็นว่าเตาไมโครเวฟใช้เวลาสั้นกว่าตู้อบความร้อน อย่างไรก็ตาม เป็นที่น่าคิดว่า หากใช้เตาไมโครเวฟที่ให้คลื่นแบบต่อเนื่อง ผลของการอบทั้งแบบชั้นตอนเดียวและหลายชั้นตอน อาจต่างจากผลการทดสอบที่ปราศจากโครงสร้างที่วัสดุได้ เพราะระบบการทำงานของเตาไมโครเวฟในครัวเรือนนี้ ถึงแม้ว่าตามทฤษฎีนั้น คลื่นไมโครเวฟที่ออกมานะเป็นแบบต่อเนื่อง แต่ระบบจะมีการปิด-เปิดสัญญาณทำให้ค่าเฉลี่ยกำลังลดลง ทำให้มีพุทธิกรรมคล้ายกับ pulsed wave



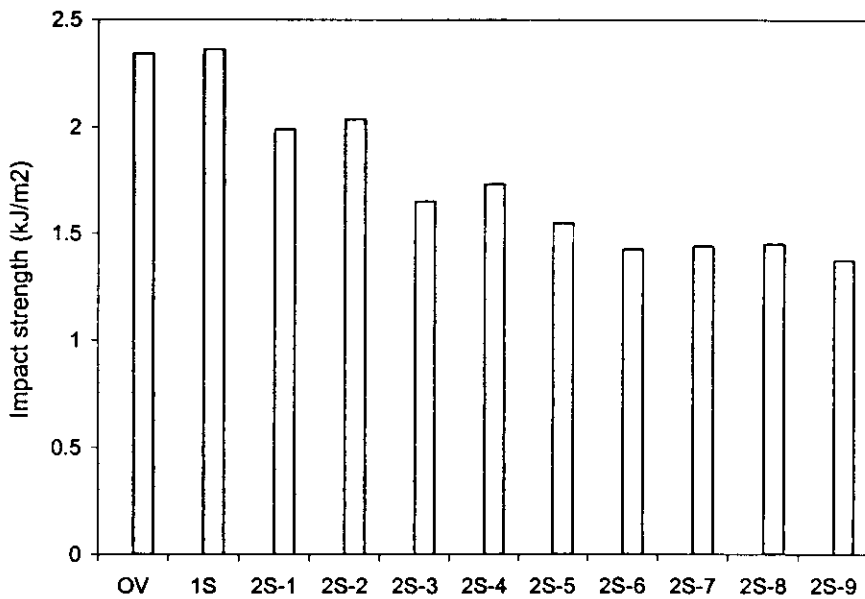
รูปที่ 3.38 Tensile properties ของเกชินสูตร I ที่อบด้วยตู้อบความร้อน (OV) และ เท่าไมโครเวฟแบบขั้นตอนเดียว (1S) สองขั้นตอน (2S-1 – 2S-4) และ สามขั้นตอน (3S)



รูปที่ 3.39 Tensile properties ของเรซินสูตร II ที่อบด้วยศูนย์ความร้อน (OV) และ เตาไมโครเวฟแบบขันตอนเดียว (1S) ส่องขันตอน (2S-1 – 2S-8) และ สามขันตอน (3S)



รูปที่ 3.40 Flexural properties ของเรซิโนสูตร II ที่อบด้วยตู้อบความร้อน (OV) เดาในโครงเวฟแบบขั้นตอนเดียว (1S) และสองขั้นตอน (2S-1 – 2S-9)



รูปที่ 3.41 Impact strength ของเรซินสูตร II ที่อบด้วยตู้อบความร้อน (OV) และ เตาไมโครเวฟแบบขั้นตอนเดียว (1S) และสองขั้นตอน (2S-1 – 2S-9)

### 3.4 อีพ็อกซี-เส้นใยแก้วคอมโพสิตอบด้วยคลีนไนโตรเวฟ

#### 3.4.1 สมบัติเชิงกลของอีพ็อกซีคอมโพสิตสูตรต่างๆ

Tensile properties, impact strength และ flexural properties ของอีพ็อกซีคอมโพสิตสูตรต่างๆ แสดงในตารางที่ 3.33 – 3.36 และรูปที่ 3.42 – 3.44 คอมโพสิตสูตร I ที่อบด้วยเตาไมโครเวฟยังคงแสดงสมบัติที่ดีอย่างต่อเนื่อง แต่สูตรต่อไปนี้ที่อบด้วยตู้อบ คอมโพสิตสูตร II ที่อบด้วยเตาไมโครเวฟแสดง flexural properties ดีกว่าตัวอย่างที่อบด้วยตู้อบ ส่วน tensile properties และ impact strength ด้อยกว่าเล็กน้อย

ตารางที่ 3.33 สมบัติเชิงกลของอีพ็อกซีคอมโพสิต เรซินมีตัวเร่งปฏิกิริยา 1% อบด้วยตู้อบความร้อน

Resin	Tensile properties			Flexural properties			Impact Strength (kJ/m <sup>2</sup> )
	E (GPa)	$\sigma_b$ (MPa)	$\epsilon_b$ (%)	E (GPa)	$\sigma_b$ (MPa)	$\epsilon_b$ (%)	
I	2.05 ± 0.18	60.26 ± 7.56	4.47 ± 1.07	4.14 ± 0.40	99.29 ± 18.82	3.16 ± 1.04	12.62 ± 1.51
	1.77 ± 0.08	19.48 ± 6.27	1.73 ± 0.56	3.81 ± 0.55	71.07 ± 6.63	1.92 ± 0.12	9.58 ± 1.50
	2.42 ± 0.14	25.61 ± 7.20	1.43 ± 0.54	3.80 ± 0.44	73.06 ± 4.48	2.05 ± 0.14	10.60 ± 4.23
VI	1.98 ± 0.17	43.08 ± 5.70	3.66 ± 0.54	4.59 ± 0.47	77.56 ± 8.16	1.91 ± 0.13	3.06 ± 0.42
	2.08 ± 0.20	46.26 ± 3.38	3.15 ± 0.49	5.22 ± 0.41	76.71 ± 5.17	2.59 ± 0.35	5.82 ± 1.72

ตารางที่ 3.34 สมบัติเชิงกลของอีพ็อกซ์คอมโพลิท เรซินมีค่าเร่งปฏิกิริยา 4% อบด้วยเตาไมโครเวฟ

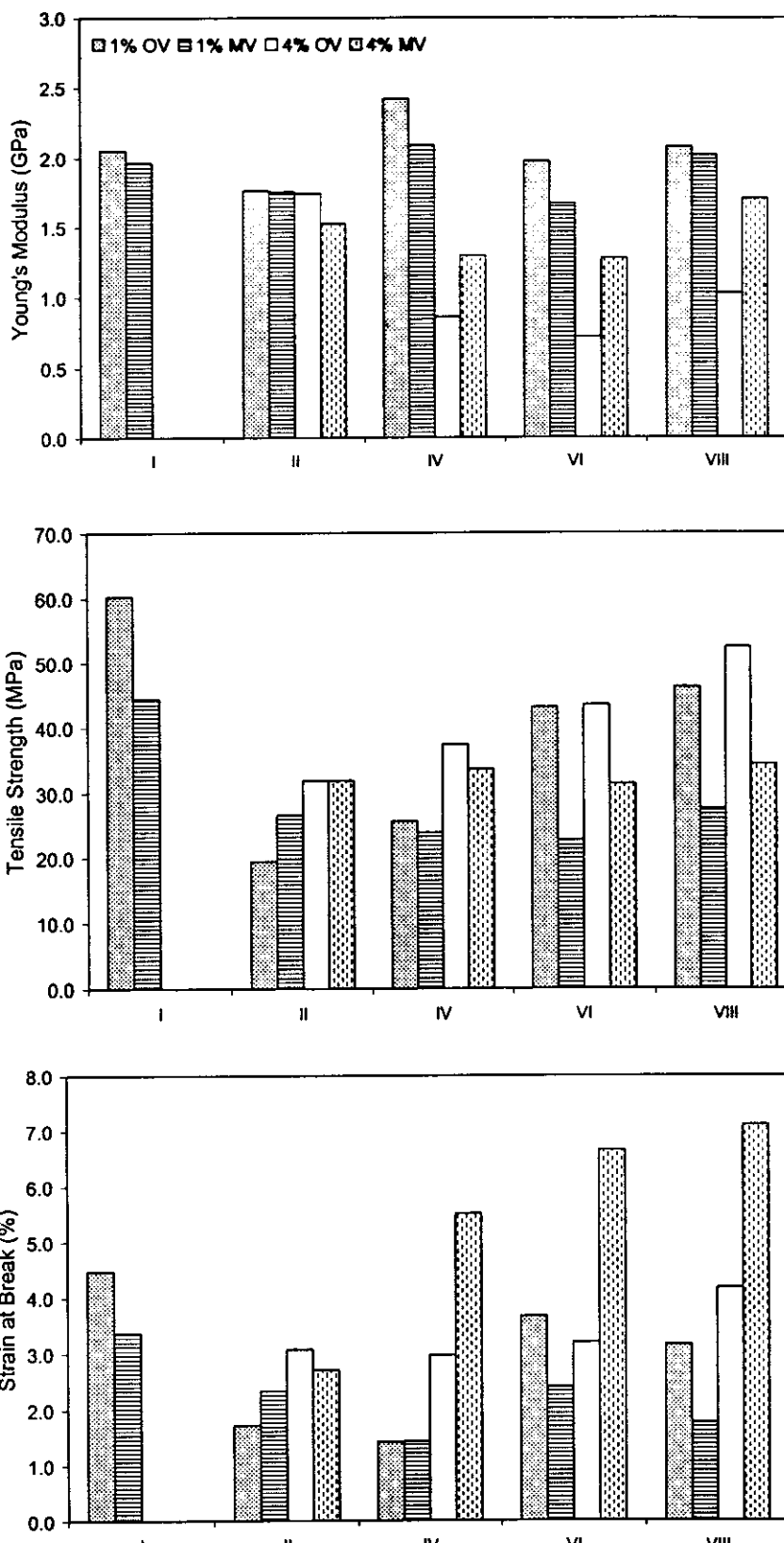
Resin	Tensile properties			Flexural properties			Impact Strength (kJ/m <sup>2</sup> )
	E (GPa)	$\sigma_b$ (MPa)	$\epsilon_b$ (%)	E (GPa)	$\sigma_b$ (MPa)	$\epsilon_b$ (%)	
I	2.05 ± 0.18	60.26 ± 7.56	4.47 ± 1.07	4.14 ± 0.40	99.29 ± 18.82	3.16 ± 1.04	12.62 ± 1.51
	1.75 ± 0.12	31.93 ± 4.44	3.07 ± 0.76	3.77 ± 0.52	75.08 ± 8.06	2.10 ± 0.15	21.00 ± 2.32
IV	0.86 ± 0.35	37.41 ± 7.57	2.97 ± 0.62	3.77 ± 0.50	69.86 ± 6.27	1.96 ± 0.16	17.97 ± 3.78
	0.72 ± 0.54	43.46 ± 5.87	3.19 ± 0.71	4.67 ± 0.65	84.06 ± 9.34	1.95 ± 0.31	14.93 ± 3.11
VII	1.03 ± 0.70	52.49 ± 6.49	4.17 ± 1.13	4.24 ± 0.16	71.18 ± 7.04	1.86 ± 0.14	20.97 ± 1.79

ตารางที่ 3.35 สมบัติเชิงกลของอีพ็อกซ์คอมโพลิท เรซินมีค่าเร่งปฏิกิริยา 1% อบด้วยเตาไมโครเวฟ

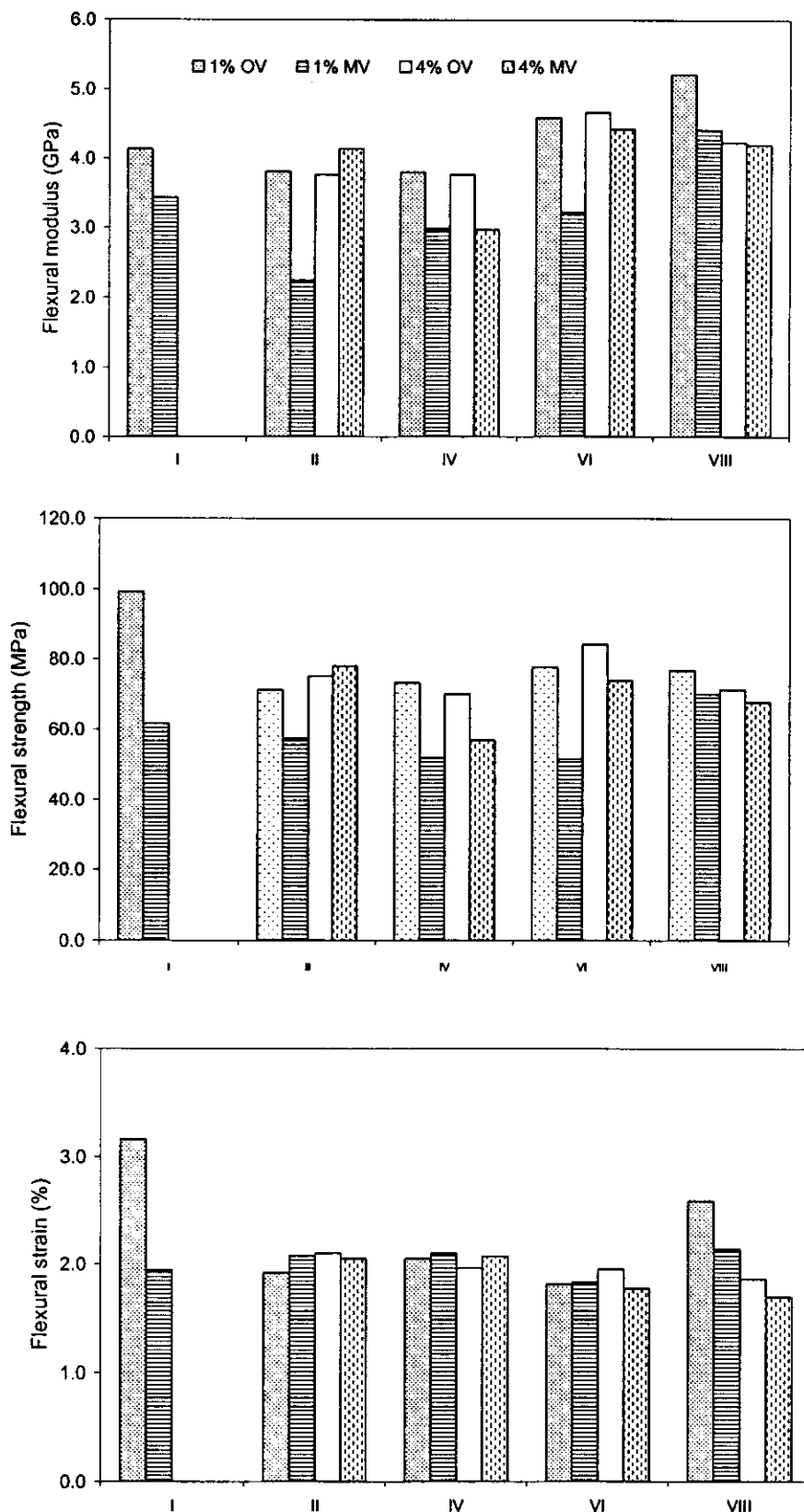
Resin	Tensile properties			Flexural properties			Impact Strength (kJ/m <sup>2</sup> )
	E (GPa)	$\sigma_b$ (MPa)	$\epsilon_b$ (%)	E (GPa)	$\sigma_b$ (MPa)	$\epsilon_b$ (%)	
I	1.96 ± 0.23	44.40 ± 1.17	3.36 ± 1.54	3.43 ± 1.29	61.54 ± 5.12	1.94 ± 0.12	13.76 ± 1.70
	1.76 ± 0.20	26.58 ± 3.08	2.33 ± 0.54	2.24 ± 0.12	57.33 ± 7.31	2.08 ± 0.22	9.35 ± 2.42
IV	2.09 ± 0.34	23.89 ± 4.01	1.44 ± 0.21	2.98 ± 0.30	51.66 ± 9.35	2.10 ± 0.29	13.18 ± 3.98
	1.67 ± 0.24	22.73 ± 6.17	2.40 ± 0.87	3.22 ± 0.62	51.36 ± 4.87	1.83 ± 0.36	5.33 ± 0.87
VII	2.02 ± 1.71	27.58 ± 8.44	1.77 ± 0.53	4.42 ± 0.66	69.89 ± 5.71	2.14 ± 0.22	6.47 ± 1.36

ตารางที่ 3.36 สมบัติเชิงกลของอีพ็อกซ์คอมโพลิท เรซินมีค่าเร่งปฏิกิริยา 4% อบด้วยเตาไมโครเวฟ

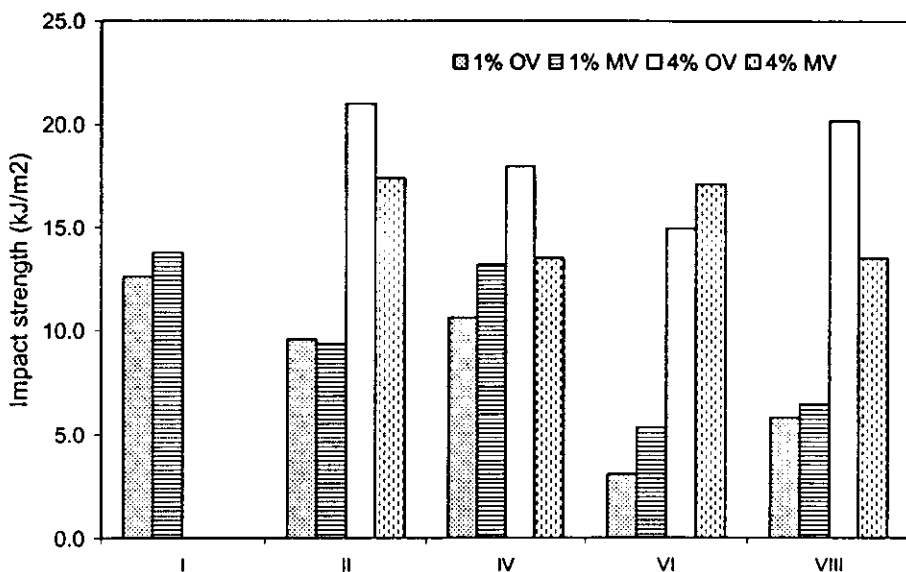
Resin	Tensile properties			Flexural properties			Impact Strength (kJ/m <sup>2</sup> )
	E (GPa)	$\sigma_b$ (MPa)	$\epsilon_b$ (%)	E (GPa)	$\sigma_b$ (MPa)	$\epsilon_b$ (%)	
I	1.96 ± 0.23	44.40 ± 1.17	3.36 ± 1.54	3.43 ± 1.29	61.54 ± 5.12	1.94 ± 0.12	13.76 ± 1.70
	1.53 ± 0.14	31.92 ± 3.62	2.71 ± 0.54	4.14 ± 0.36	77.92 ± 2.55	2.05 ± 0.31	17.41 ± 3.43
IV	1.3 ± 0.41	33.6 ± 2.96	5.51 ± 0.97	2.97 ± 0.51	56.81 ± 8.75	2.07 ± 0.27	13.49 ± 0.90
	1.28 ± 0.58	31.35 ± 3.9	6.65 ± 2.05	4.43 ± 0.53	73.66 ± 6.99	1.77 ± 0.10	17.11 ± 2.46
VII	1.71 ± 0.69	34.36 ± 5.26	7.11 ± 3.63	4.21 ± 0.30	67.68 ± 9.78	1.69 ± 0.29	13.49 ± 3.35



รูปที่ 3.42 Tensile properties ของอีพ็อกซีคอมโพสิตสูตรด่างๆ อบแบบครั้งเดียว  
มีตัวเร่งปฏิกิริยา 1% และ 4% ชั้นทดสอบหนา 3 mm (OV = oven  
และ MV = microwave)



รูปที่ 3.43 Flexural properties ของอีพ็อกซีคอมโพลิสต์ต่างๆ แบบอบครั้งเดียว  
ชั้นงานหนา 3 mm (OV = oven, MV = microwave, 1% และ 4% คือ  
ปริมาณดั่วเร่งปฏิกิริยา)



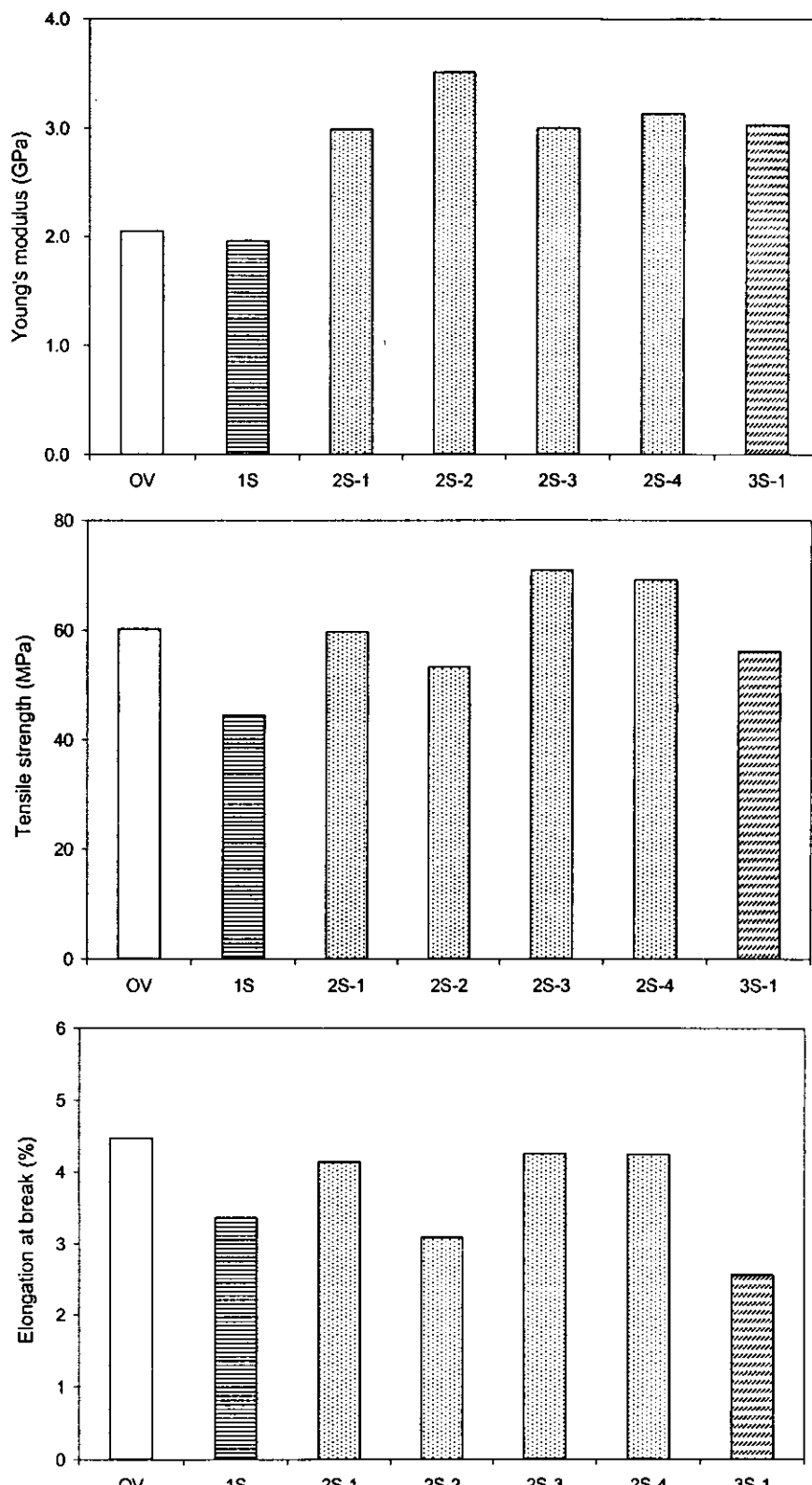
รูปที่ 3.44 Impact strength ของอีพ็อกซีคอมโพลิทสูตรต่างๆ ที่อบแบบครั้งเดียว  
ชั้นงานหนา 3 mm (OV = oven, MV = microwave, 1% และ 4% คือ  
ปริมาณตัวเร่งปฏิกิริยา)

#### 3.4.2 สมบัติเชิงกลของอีพ็อกซีคอมโพลิทที่อบแบบหลายขั้นตอน

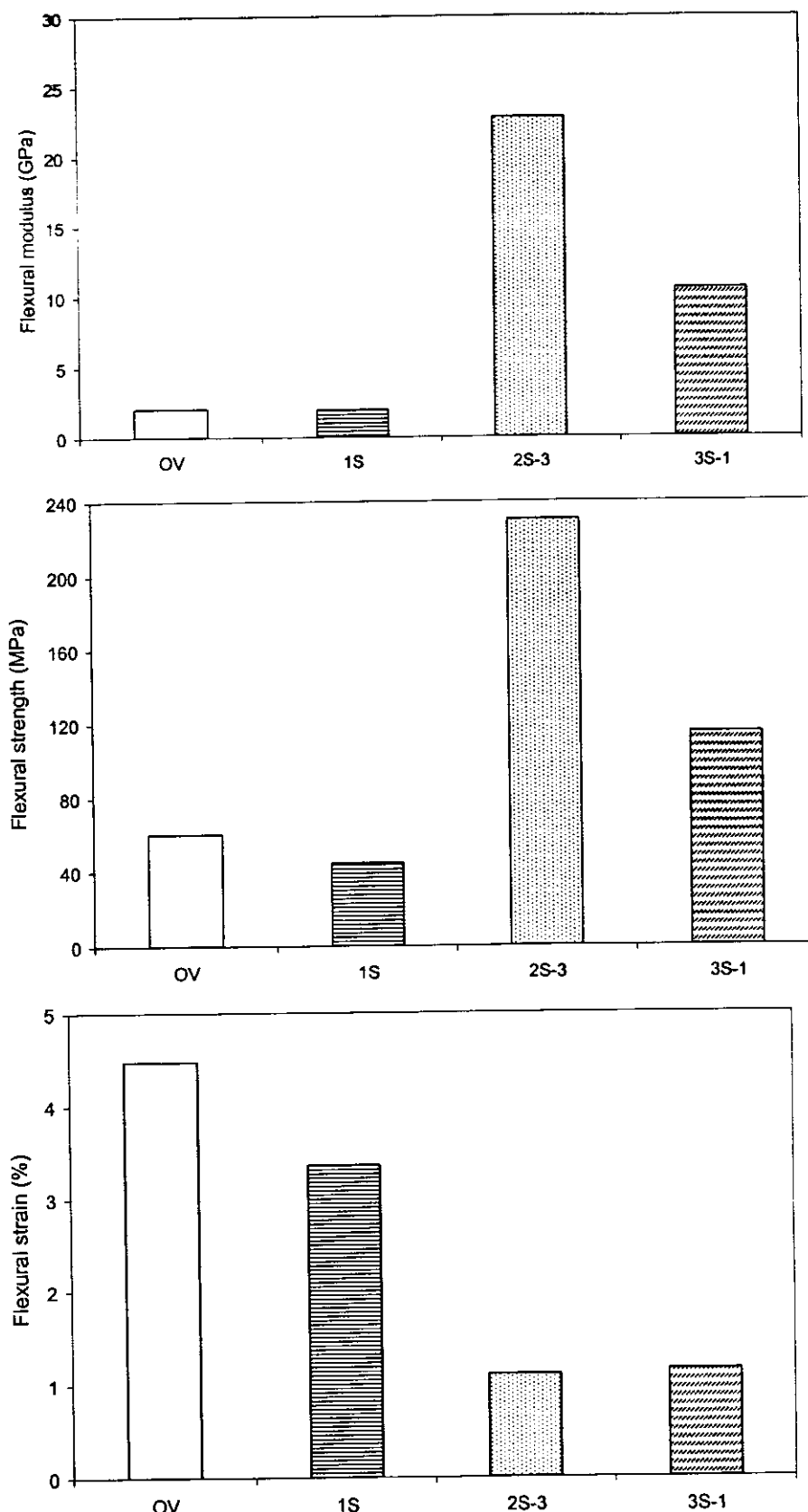
คอมโพลิทสูตร I ใช้สภาวะการอบเหมือนกับเรซินสูตร I ส่วนคอมโพลิทสูตร II จะมีสภาวะที่เหมือนกับ  
ที่ใช้ในการทดสอบกับเรซิน แต่ข้อมูลส่วนใหญ่จะทดลองกับคอมโพลิทมากกว่า สภาวะการอบคอมโพลิทแสดงใน  
ตารางที่ 3.37 ผลการทดลองแสดงในรูปที่ 3.45 – 3.50

ตารางที่ 3.37 สภาวะการอบในเตาไมโครเวฟแบบหลายขั้นตอนของคอมโพลิทสูตร I และสูตร II

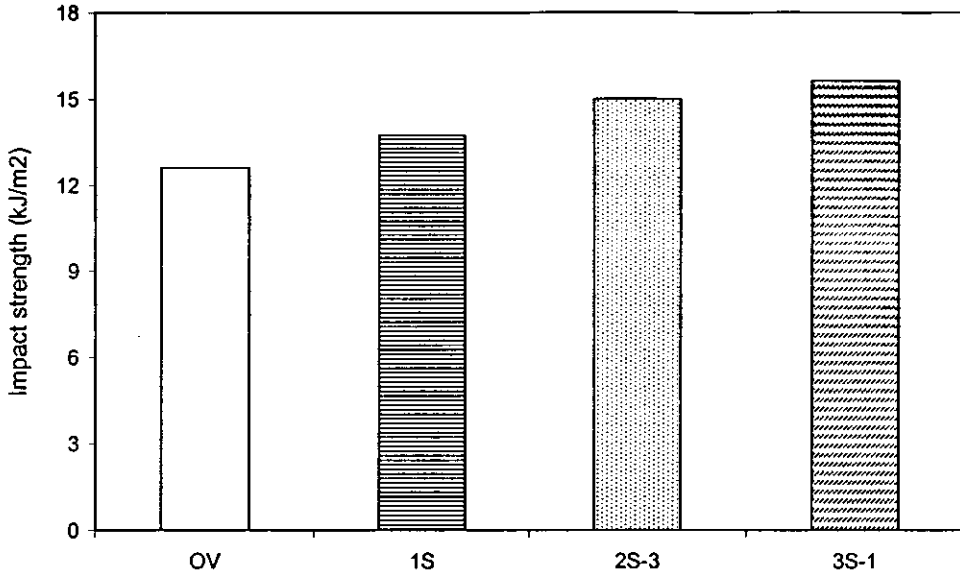
Code	Composites I			Composites II		
	Source of heat	Condition	T* (sec)	Source of heat	Condition	T* (sec)
OV	Thermal oven	150°C, 25 min	1500	Thermal oven	150°C, 15 min	900
1S	Microwave oven	L3/10	180	Microwave oven	L3/7	125
2S-1		L2/20 + L4/5	339		L2/10 + L4/5	234
2S-2		L2/25 + L3/5	357		L3/5 + L4/3	167
2S-3		L2/25 + L6/5	465		L2/15 + L4/5	285
2S-4		L2/20 + L3/10	393		L2/10 + L4/7	285
2S-5		-	-		L3/5 + L4/5	216
3S-1		L2/20+L3/10+L5/5	555		L2/10+L3/5+L4/3	275
3S-2		-	-		L2/10+L3/5+L4/5	324
3S-3		-	-		L2/10+L3/7+L4/3	310
3S-4		-	-		L2/10+L3/3+L4/7	338
3S-5		-	-		L2/15+L3/5+L4/5	375



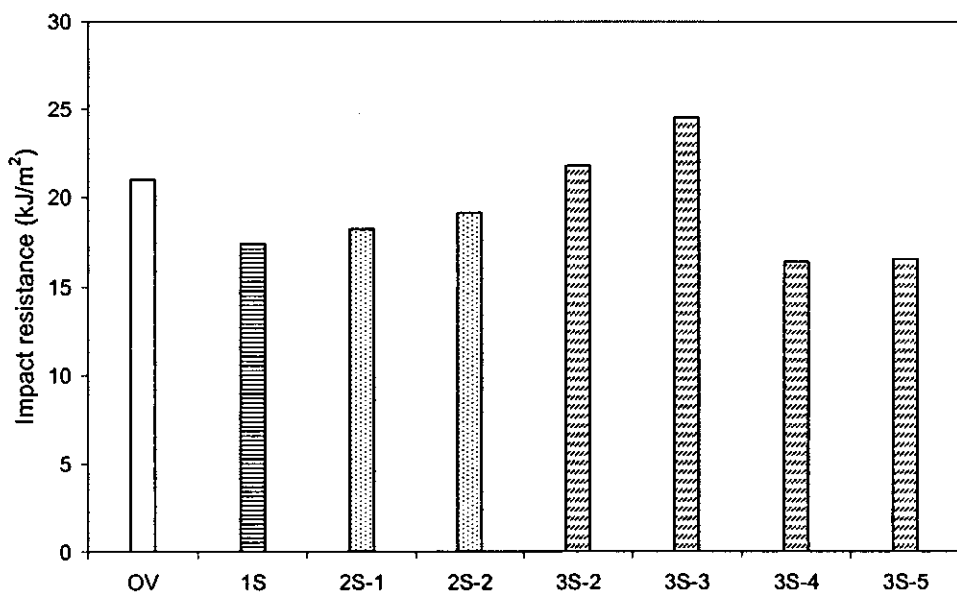
รูปที่ 3.45 Tensile properties ของคอมโพลิสต์ที่อบด้วยตู้อบความร้อน (OV) และเตาไมโครเวฟแบบขั้นตอนเดียว (1S) ส่องขั้นตอน (2S-1 – 2S-4) และสามขั้นตอน (3S-1)



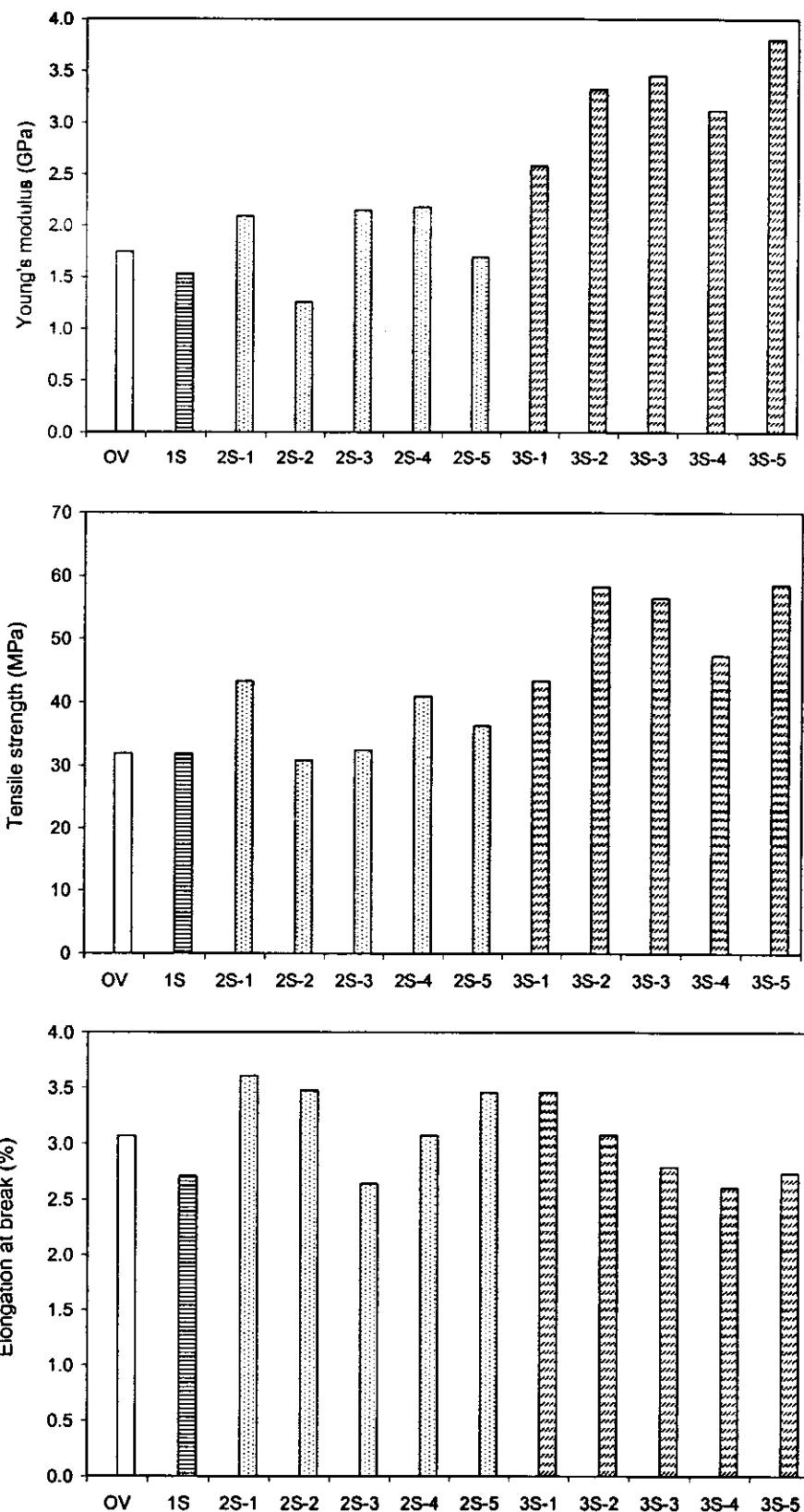
รูปที่ 3.46 Flexural properties ของคุณภาพสิทธิ์ | ที่อ่อนด้วยตัวบันความร้อน (OV) และเตาไม่ไฟฟ้าแบบชั้นตอนเดียว (1S) ส่องชั้นตอน (2S-3) และสามชั้นตอน (3S-1)



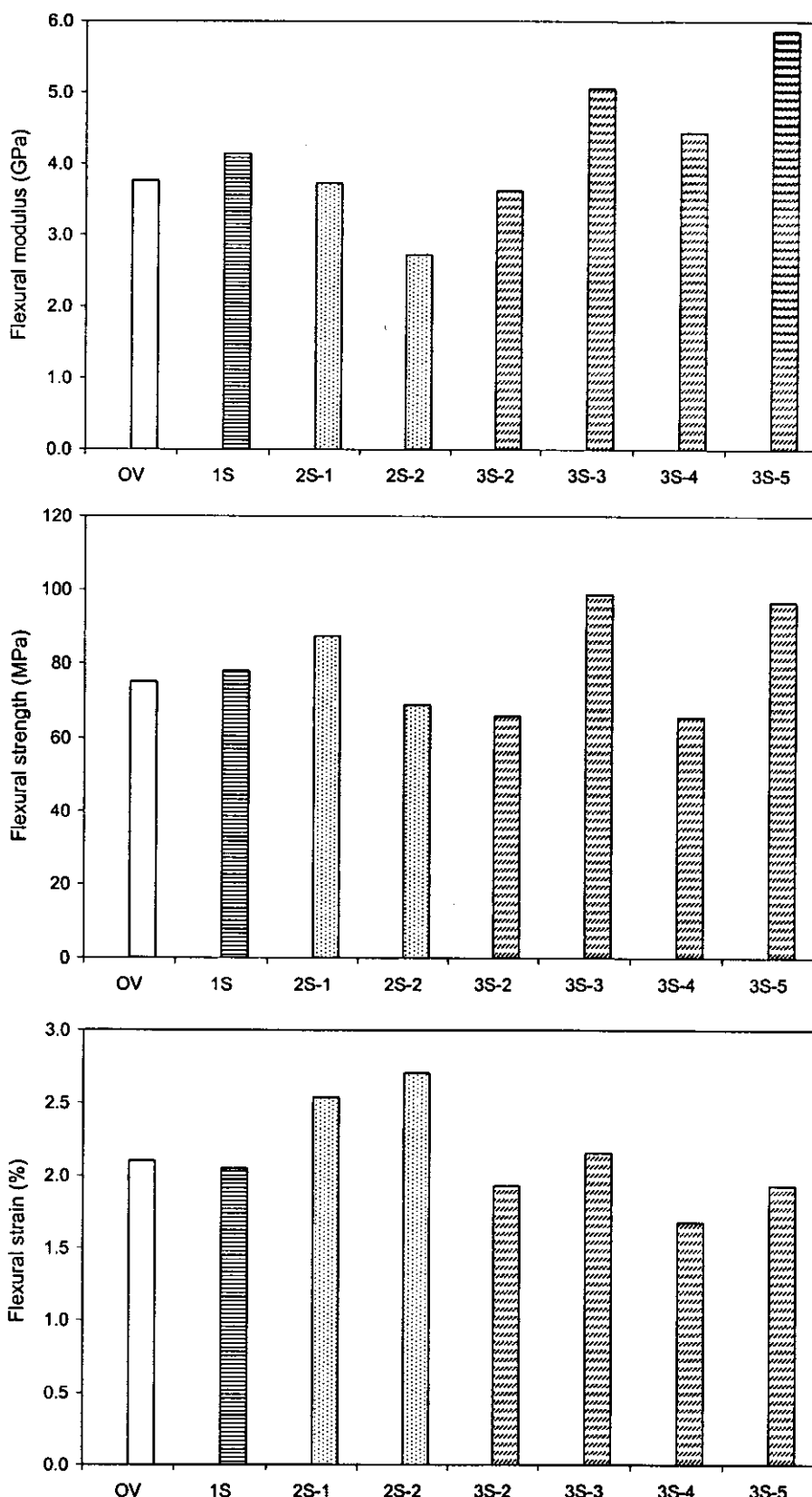
รูปที่ 3.47 Impact strength ของคอมโพลิสต์ดรา I ที่อบด้วยดูบความร้อน (OV) และ เตาไมโครเวฟแบบขั้นตอนเดียว (1S) ส่องขั้นตอน (2S-3) และสามขั้นตอน (3S-1)



รูปที่ 3.48 Impact strength ของคอมโพลิสต์ดรา II ที่อบด้วยดูบความร้อน (OV) และ เตาไมโครเวฟแบบขั้นตอนเดียว (1S) ส่องขั้นตอน (2S-1 – 2S-2) และสาม ขั้นตอน (3S-3 – 3S-5)



รูปที่ 3.49 Tensile properties ของคอมโพลิทสูตร II ที่อบด้วยตู้อบความร้อน (OV) และเตาไมโครเวฟแบบขั้นตอนเดียว (1S) ส่องขั้นตอน (2S-1 – 2S-5) และสามขั้นตอน (3S-1 – 3S-5)



รูปที่ 3.50 Flexural properties ของคอมโพลิทสูตร II ที่อบด้วยตู้อบความร้อน (OV) และเตาในโครงเฟปแบบขันตอนเดียว (1S) สองขันตอน (2S-1 – 2S-2) และสามขันตอน (3S-2 – 3S-5)

- รูปที่ 3.45 – 3.47 เป็นสมบัติเชิงกลของคอมโพลิทสูตร I ดูเหมือนว่าในสภาวะการอบที่ใช้อยู่นี้ การอบแบบสองขั้นตอนจะให้สมบัติเชิงกลดีกว่าการอบแบบขั้นตอนเดียวและอบในครั้งเดียว ในการทดสอบความร้อน ในขณะที่คอมโพลิทสูตร II จะแสดงสมบัติเชิงกลได้ดีที่สุดเมื่ออบแบบสามขั้นตอน (รูปที่ 3.48 – 3.50) ผลการทดสอบดอนนี้แสดงให้เห็นว่า หากใช้สภาวะการอบที่เหมาะสมในเตาไมโครเวฟ สมบัติเชิงกลของคอมโพลิทและเรซินจะมีค่าสูงขึ้นมากและมีค่ามากกว่าชั้นทดลองที่ได้จากการอบด้วยครัว การทำลายเวลาที่ใช้ในการอบ เป็นไปในทำนองเดียวกันกับที่กล่าวมาแล้ว นัยน์ในหัวข้อ 3.3.2 ค่า  $T^*$  ในตารางที่ 3.37 คือค่า *actual heating time* เช่นเดียวกับที่กล่าวมาแล้ว

ถึงแม้ว่าผลการทดสอบแสดงให้เห็นว่าการอบในเตาไมโครเวฟแบบหลายขั้นตอนดีกว่าการอบแบบขั้นตอนเดียว และดีกว่าการอบด้วยครัว แต่ยังไม่สามารถสรุปได้อย่างแน่ชัดว่า คอมโพลิทสูตร I ต้องอบแบบสองขั้นตอน และคอมโพลิทสูตร II ต้องอบแบบสามขั้นตอน เพราะการกำหนดสภาวะการอบแบบสามขั้นตอนที่ใช้กับคอมโพลิทสูตร I อาจไม่เหมาะสมก็ได้ สิ่งที่สามารถสรุปได้คือ การอบแบบหลายขั้นตอนให้สมบัติเชิงกลดีที่สุด เนื่องจากมีเวลาในการอุ่นเรซินให้ค่อยๆ ร้อน น่าจะช่วยให้การยึดเกาะระหว่างเรซินและเส้นใยแก้วดีขึ้น ผลงานให้สมบัติเชิงกลสูงขึ้น ดังนั้น จึงทำการวิเคราะห์ *interfacial adhesion* ระหว่างเส้นใยแก้วและเรซิน ด้วยภาพถ่ายจากเครื่อง SEM และวิเคราะห์ลักษณะอื่นๆ ดังที่จะกล่าวต่อไป

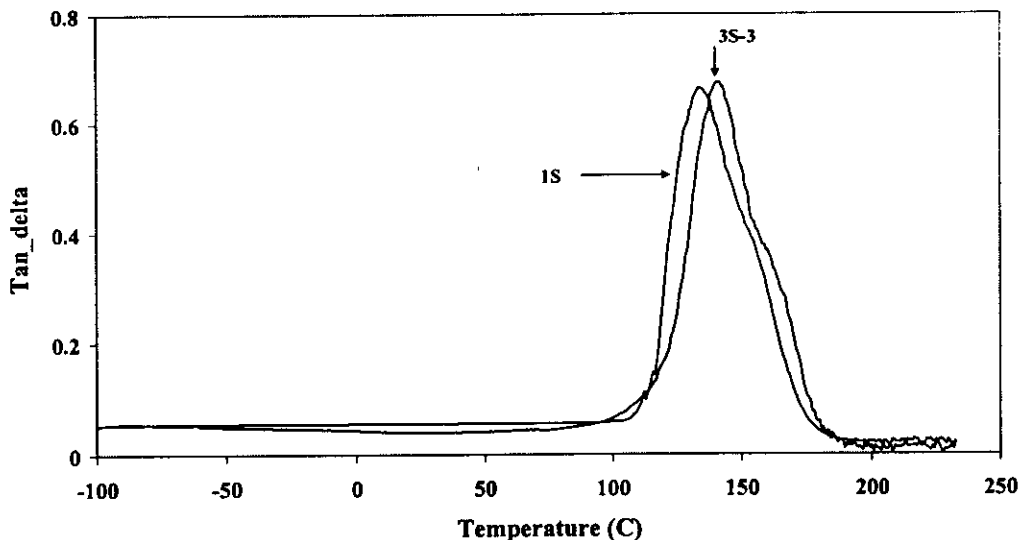
### 3.5 การวิเคราะห์สาเหตุการเพิ่มขึ้นของสมบัติเชิงกลที่ได้จากการอบด้วยเตาไมโครเวฟแบบหลายขั้นตอน

#### 3.5.1 การวิเคราะห์คุณลักษณะการเกิดปฏิกิริยาเคมี

เนื่องจากการอบแบบหลายขั้นตอนแสดงค่ามอดูลัส (modulus) และความแข็งแรง (strength) สูงขึ้นมาก เช่น สภาวะการอบ 2S-3 และ 3S-3 ของคอมโพลิทสูตร I และ II ตามลำดับ ดังนั้น จึงเป็นที่น่าสนใจว่า เพราะเหตุใด สภาวะการอบทั้งสองนี้ทำให้สมบัติเชิงกลดีขึ้น กล่าวอีกนัยหนึ่ง เหตุใดการอบแบบสองขั้นตอนดีกว่าการอบแบบสามขั้นตอนในคอมโพลิทสูตร I และตรงข้ามกับคอมโพลิทสูตร II ที่สภาวะการอบแบบสามขั้นตอนดีกว่าแบบสองขั้นตอน จากการตรวจสอบด้วยเทคนิค DSC พบร่วมกับ exothermic peaks ซึ่งบ่งบอกว่าอีพ็อกซี่เกิดปฏิกิริยาได้หมด การเกิดปฏิกิริยาที่กล่าวถึงนี้มีได้หมายถึงการเขื่อมโยงโมเลกุลเพียงอย่างเดียว แต่รวมถึงการเกิดพอลิเมอร์เชิงของอีพ็อกซี่ด้วย ความคงทนเป็นจริง การวิเคราะห์ด้วย DSC ไม่สามารถอธิบายการเขื่อมโยงโมเลกุลได้ แต่จะบอกว่าเรซินมีการเกิดปฏิกิริยาเกิดขึ้นอีกหรือไม่ระหว่างการให้ความร้อนภายใต้เครื่อง DSC นั้นๆ

โดยทั่วไป คอมโพลิทที่มี  $T_g$  สูงขึ้น จะให้ค่ามอดูลัสและความแข็งแรงสูงขึ้น ได้ทำการเบรย์นเทียนค่า  $\alpha$  transition temperature ของสภาวะการอบแบบ 1S และ 3S-3 ของคอมโพลิทสูตร II และในรูปที่ 3.51 โดยที่สภาวะการอบแบบ 1S มีค่า  $T_g$  เท่ากับ  $138^\circ\text{C}$  และสภาวะการอบแบบ 3S-3 มีค่า  $T_g$  เท่ากับ  $143^\circ\text{C}$  เป็นที่น่าเสียดายที่ไม่สามารถตรวจพบ  $\beta$  transition temperature จากการวิเคราะห์ค่ามอดูลัสสะสมในช่วง  $200^\circ\text{C}$  (ช่วงปิดที่อยู่บนยาง, *rubbery plateau region*) ของตัวอย่าง 3S-3 มีค่าสูงกว่าตัวอย่าง 1S และว่าตัวอย่าง 3S-3 มีความหนาแน่นการเขื่อมโยงโมเลกุลมากกว่าตัวอย่าง 1S ถึงแม้ว่าผลการทดสอบจากเทคนิค DMTA ให้ค่า  $T_g$  ต่างกันไม่นัก แต่ผลการวัด  $T_g$  จากเทคนิค DSC ให้ค่าที่แตกต่างกันอย่างมีนัยสำคัญ คือ ตัวอย่าง 1S, 2S-1 และ 3S-3 ของคอมโพลิทสูตร II จะมี  $T_g$  เรียงตามลำดับดังนี้  $78, 106$  และ  $115^\circ\text{C}$  ดังนั้น ความสัมพันธ์ระหว่างสมบัติเชิงกลและโครงสร้างโมเลกุล (molecular architecture) หรือสัณฐานวิทยาของคอมโพลิทในกระบวนการวิจัยนี้ สอดคล้องกับสมมติฐานที่กล่าวมา อย่างไรก็ตาม ยังมีข้อพิจารณาถึงความสัมพันธ์ดังกล่าวที่ เพราะในบางกรณี  $T_g$  ไม่สัมพันธ์กับสมบัติเชิงกล ตัวอย่างเช่น การอบพอลิเออมิค-เส้นใยcarbonบนคอมโพลิทด้วยความร้อน แสดงค่า  $T_g$  ต่ำ

กว่าแต่ให้ค่า flexural strength สูงกว่าตัวอย่างที่อบด้วยเคาน์คริเวฟ<sup>3</sup> ทั้งนี้เป็นพารามิเตอร์ทางวิศวกรรมที่สำคัญมากในวัสดุคอมโพลิท การพิจารณาปัจจัยที่เกี่ยวข้องกับสมบัติเชิงกลจึงไม่สามารถใช้ค่า  $T_g$  เพียงปัจจัยเดียวในการพิจารณา

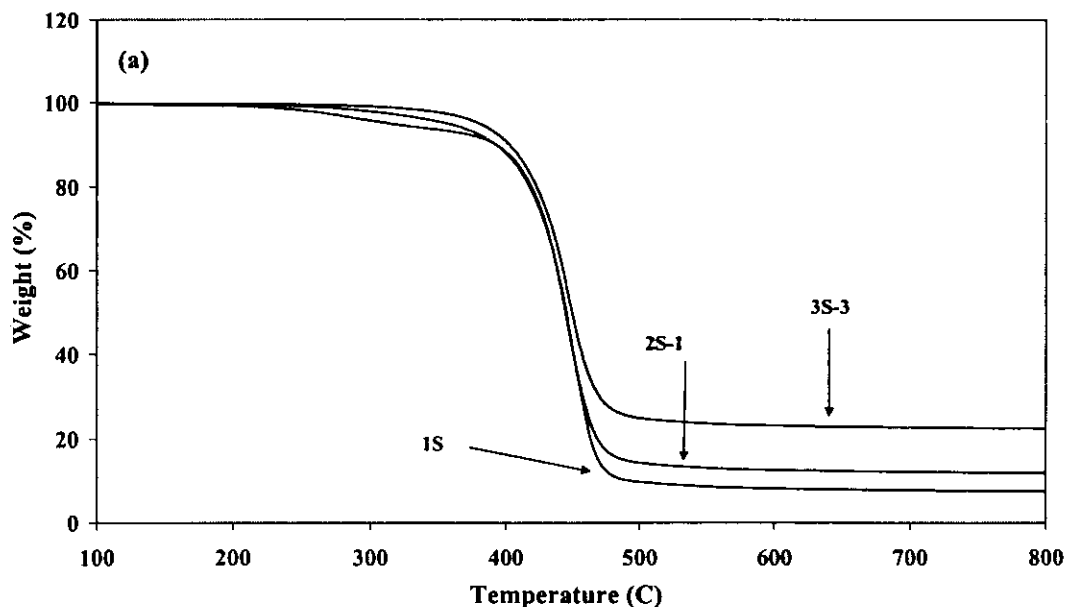


รูปที่ 3.51  $\alpha$  transition temperature ของคอมโพลิท II สภาวะการอบแบบขันตอนเดียว (1S) แสดงค่าต่ำกว่าสภาวะการอบแบบสามขันตอน (3S-3)

เทคนิค TGA เป็นเทคนิคการวิเคราะห์เทคโนโลยีที่มีประโยชน์มาก เทอร์โมแกรมของตัวอย่าง 1S, 2S-1 และ 3S-3 ของคอมโพลิท II แสดงในรูปที่ 3.52a-b ตัวอย่าง 1S และ 2S-1 แสดงการสลายตัวแบบสองขั้นตอน (two step degradation) และเริ่มสลายตัวที่  $200^\circ\text{C}$  ในขณะที่ตัวอย่าง 3S-3 มีการสลายตัวแบบขันตอนเดียว (one step degradation) และเริ่มสลายตัวที่  $240^\circ\text{C}$  ปริมาณการสลายตัวขันตอนแรกของตัวอย่าง 1S (6.6%) สูงกว่าตัวอย่าง 2S-1 เล็กน้อย (4.2%) อาจส่วนใหญ่ได้ว่าความหนาแน่นของการเชื่อมโยงไมโครลิก (crosslink density) ของคอมโพลิท เหล่านี้ สามารถเรียงตามลำดับได้ดังนี้ 3S-3 > 2S-1 > 1S ได้ทำให้วิเคราะห์เพิ่มเติมเพื่อยืนยันผลสรุปนี้ ด้วยการนำเรซินสูตร II ที่อบแบบขันตอนเดียว (1S) และสามขันตอน (3S-3) วิเคราะห์ด้วย TGA พบว่าให้ผลการทดสอบแบบเดียวกัน ดังแสดงในรูปที่ 3.53a-b คือตัวอย่าง 1S ยังคงแสดงการสลายตัวแบบสองขั้นตอน และตัวอย่าง 3S-3 สลายตัวแบบขันตอนเดียว การสลายตัวแบบสองขั้นตอนและขันตอนเดียว นี้ มีสาเหตุมาจากการมีโครงร่างไมโครลิก ต่างกัน โดยทั่วไป ไมโครลิกของพอลิเมอร์ที่มีขนาดเล็กกว่า จะสลายตัวที่อุณหภูมิต่ำกว่าพวกรวมที่มีไมโครลิกขนาดใหญ่ และที่แข็งแรงกว่า ไมโครลิกแบบสัมตรอง (linear polymers) จะสลายตัวก่อนไมโครลิกร่างแท้ (polymer network) ปริมาณการเชื่อมโยงมากขึ้นจะทำให้สลายตัวที่อุณหภูมิสูงขึ้น ผลการทดสอบชี้ให้เห็นว่า การอบแบบขันตอนเดียว และสองขันตอนในคอมโพลิทสูตร II ยังไม่สมบูรณ์ อาจมีค่าหนินิโครงร่างไมโครลิก อาจมีอิพ็อกซี่ไมโครลิกที่ไม่เกิดเป็นร่างแท้และถูกกักขังไว้ในร่างแท้ หรือมีความไม่สม่ำเสมอในโครงสร้าง สิ่งเหล่านี้ทำให้เกิดการสลายตัวก่อนกำหนด สาเหตุนี้สามารถนำมาอธิบายการเพิ่มขั้นของสมบัติเชิงกลในคอมโพลิทสูตร II การอบแบบสามขันตอนทำให้ไม่มีการกักขังไมโครลิกดังกล่าว หากให้เกิดร่างแท้ที่สมบูรณ์กว่าการอบแบบขันตอนเดียวและสองขันตอน

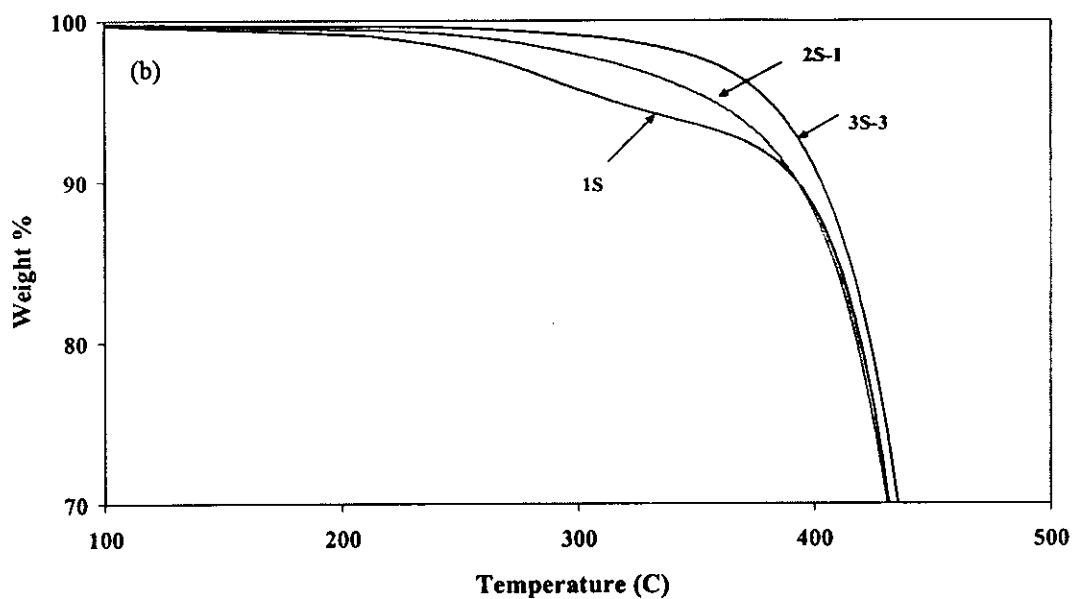
<sup>3</sup> X. Fang and D.A. Scola, J. Polym. Sci. Polym. Chem., 37, 4616 (1999).

แนวความคิดเรื่องความสมบูรณ์ของโครงร่างแหหหรือความสม่ำเสมอทางโครงสร้างนี้ ได้รับการสนับสนุน อีกครั้งจากผลการทดลองที่วิเคราะห์ด้วยคอมโพลิทสูตร I ดังแสดงในรูปที่ 3.54a-b ตัวอย่าง 3S-1 ที่มีสมบัติเชิงกล ด้อยกว่าตัวอย่าง 2S-3 นั้น แสดงการสลายตัวแบบสองขั้นตอน โดยเริ่มสลายตัวที่  $200^{\circ}\text{C}$  ในขณะที่ตัวอย่าง 2S-3 มีการสลายตัวแบบขั้นตอนเดียว แสดงว่าสภาวะการอบบนแบบสามขั้นตอนที่ใช้ในคอมโพลิทสูตร I นี้ เป็นสภาวะที่ไม่เหมาะสม ทำให้ได้โครงร่างแหหที่มีค่าหนา มีการกักขังโมเลกุลในร่างแหห เช่นกัน ข้อมูลที่ได้จากเทคนิค TGA สอดคล้องกับสมบัติเชิงกล คอมโพลิทที่มีการสลายตัวแบบขั้นตอนเดียวและสลายตัวที่อุณหภูมิสูงกว่า จะมีสมบัติ เชิงกลดีกว่า ได้มีรายงานว่าการอบเรซินด้วยในโครงเวฟ อาจทำให้มีการเกิดปฏิกิริยาต่อกว่าการอบด้วยความร้อน<sup>4</sup> ทั้งนี้เป็นเพระะมีการกักขังโมเลกุลที่ว่องไวตอปฏิกิริยา (functional molecules) ไว้ภายในโครงร่างแหห ทำให้ชั้นงาน เกิดปฏิกิริยาได้อีกเมื่อนำมาวิเคราะห์ด้วย DSC แต่เหตุผลดังกล่าวไม่สามารถอธิบายคอมโพลิทในกระบวนการวิจัยนี้ ได้ เพราะผลการวิเคราะห์ด้วย DSC ของคอมโพลิททั้งสองสูตร พบร่วมกับไม่มีการทำปฏิกิริยาเพิ่มเดjmายได้การให้ ความร้อนด้วยเครื่อง DSC และแสดงว่าการอบด้วยเตาไม่โครงเวฟทำให้อีพ็อกซี่เรซินเกิดปฏิกิริยาได้หมด แต่การ เกิดปฏิกิริยานี้ไม่ได้หมายถึงการเกิดโครงสร้างร่างแหหเท่านั้น การเกิดพอลิเมอร์เรซันจัดว่าเป็นปฏิกิริยาเคมีที่ จะต้องเกิดขึ้นด้วย แต่ความสามารถในการเขื่อมโยงโมเลกุลเพื่อให้เกิดเป็นร่างแหห ถูกกักขังไว้ในโครงร่างแหห ส่งผลให้เกิดการสลายตัวก่อน กลุ่มโมเลกุลที่เป็นร่างแหห กล่าวอีกนัยหนึ่งชั้นงานที่มีโมเลกุลถูกกักขังไว้ในร่างแหห มีความสม่ำเสมอทางโครงสร้าง (structural homogeneity) ลดน้อยลง และน่าจะมีความหนาแน่นการเขื่อมโยงโมเลกุลลดน้อยลงเช่นกัน สาเหตุหลัก ของความแตกต่างทางโครงร่างนี้ เกิดจากการอบที่แตกต่างกัน

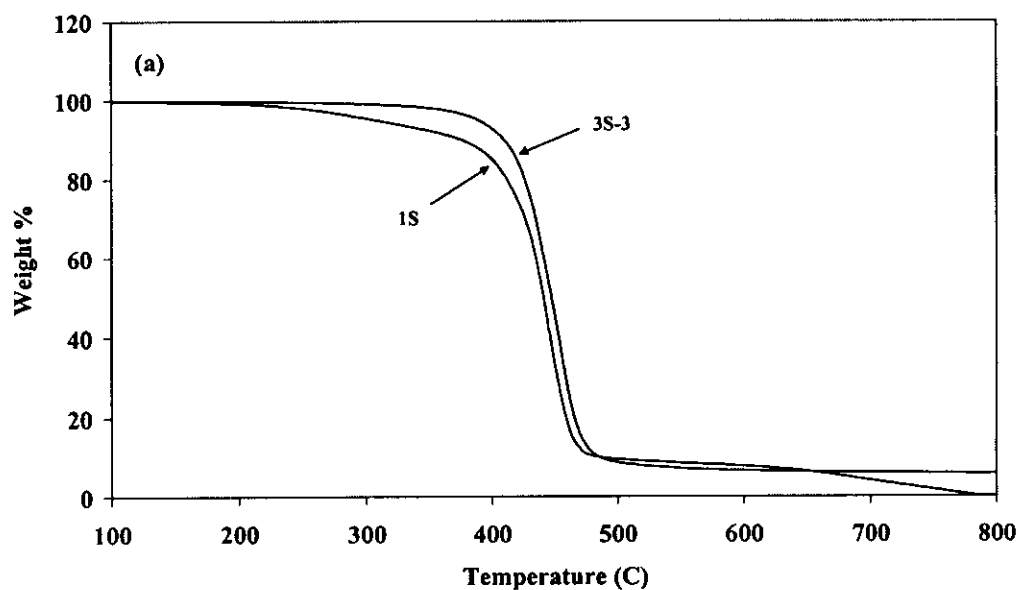


รูปที่ 3.52a TGA thermograms ของคอมโพลิทสูตร II ตัวอย่าง 1S และ 2S-1 แสดงการ สลายตัวแบบสองขั้นตอนตัวอย่าง 3S-3 แสดงการสลายตัวแบบขั้นตอนเดียว

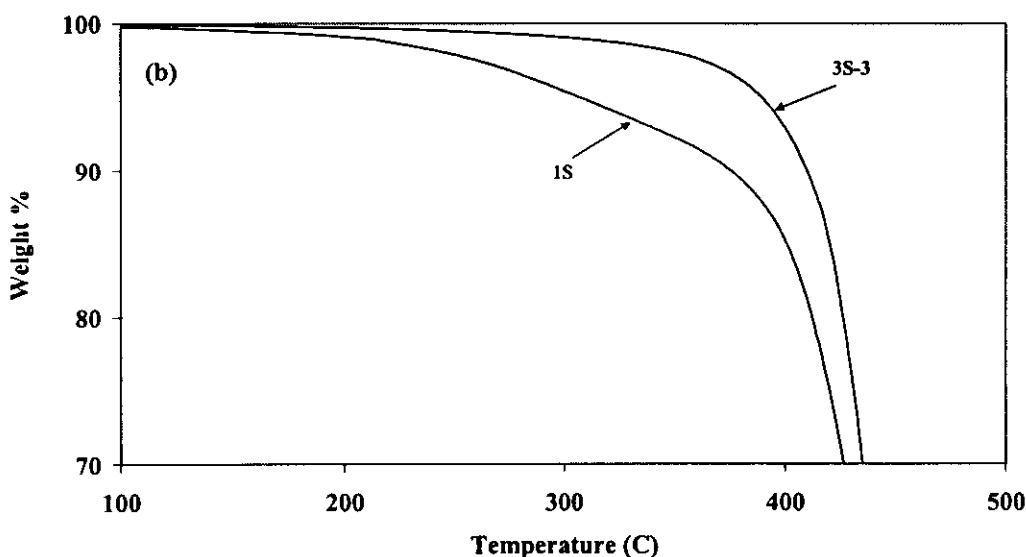
<sup>4</sup> C. Jordan, J. Galy, J.P. Pascault, C. More, M. Delmotte and H. Jullien, Polym. Eng. Sci. 35, 233 (1995).



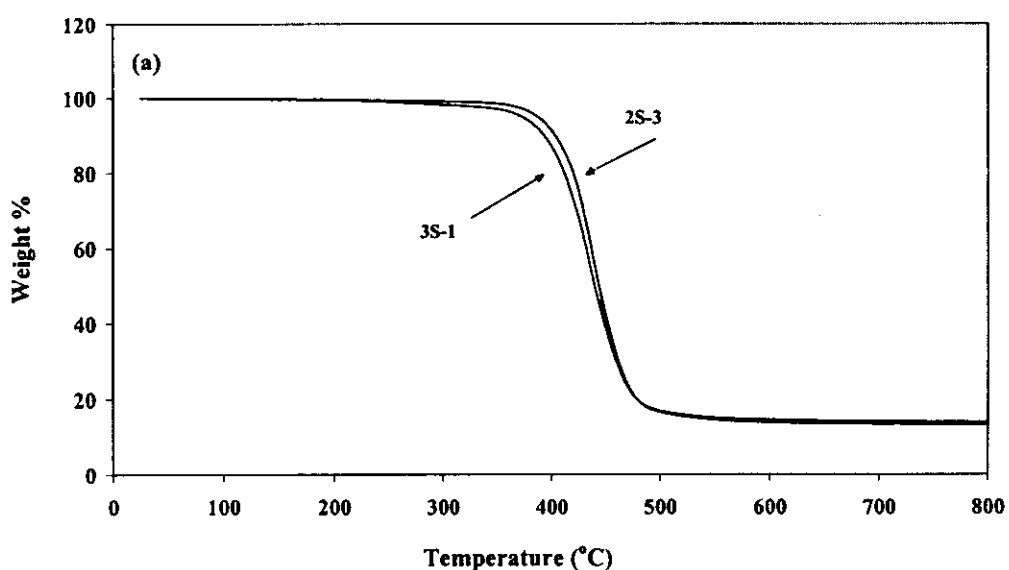
รูปที่ 3.52b TGA thermograms ของคอมโพลิสิทสูตร II ตัวอย่าง 1S และ 2S-1 แสดงการสลายตัวแบบสองขั้นตอนตัวอย่าง 3S-3 แสดงการสลายตัวแบบขั้นตอนเดียว รูป b เป็นภาพขยายของรูป a



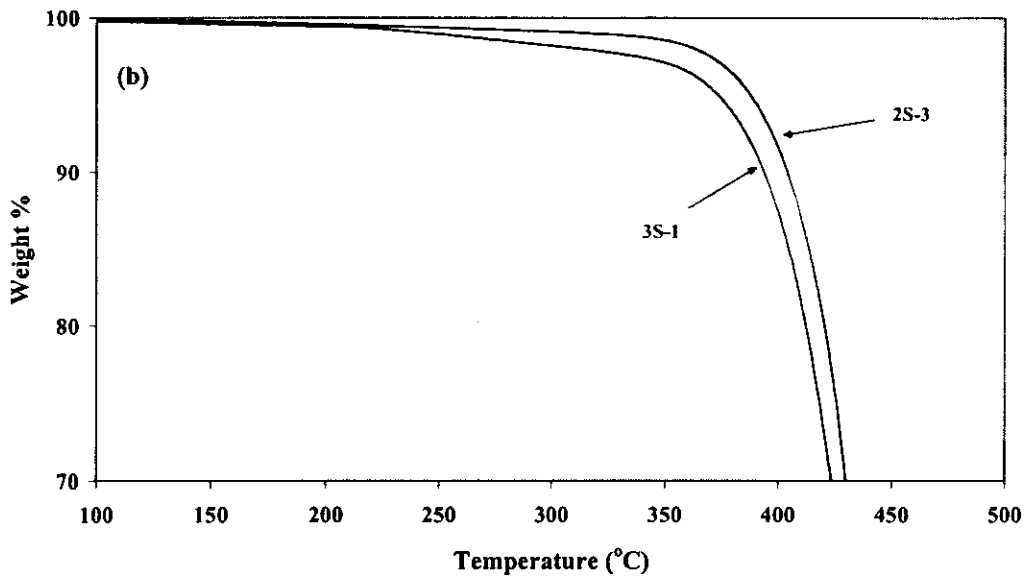
รูปที่ 3.53a TGA thermograms ของเรซินสูตร II ตัวอย่าง 1S แสดงการสลายตัวแบบสองขั้นตอน ตัวอย่าง 3S-3 แสดงการสลายตัวแบบขั้นตอนเดียว



รูปที่ 3.53b TGA thermograms ของเรซินสูตร II ตัวอย่าง 1S แสดงการสลายตัวแบบสองขั้นตอน ตัวอย่าง 3S-3 แสดงการสลายตัวแบบขั้นตอนเดียว รูป ๖ เป็นภาพขยายของรูป ๒



รูปที่ 3.54a TGA thermograms ของคอมโพลิทสูตร I ตัวอย่าง 3S-1 แสดงการสลายตัวก่อน ตัวอย่าง 3S-1



รูปที่ 3.54b TGA thermograms ของคอมโพลิทสูตร I ตัวอย่าง 3S-1 แสดงการสลายตัวก่อน ตัวอย่าง 3S-1 รูป b เป็นภาพขยายของรูป a

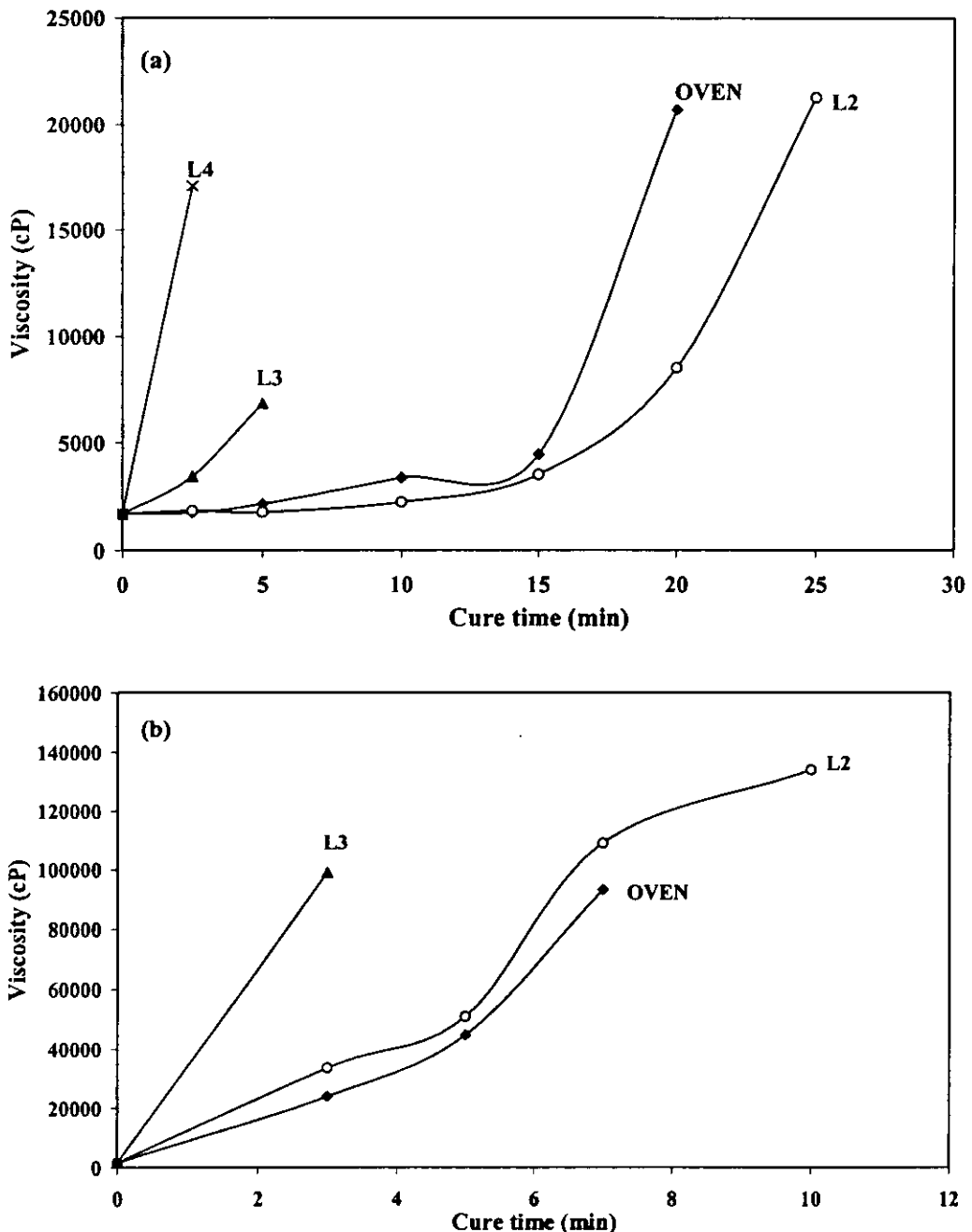
### 3.5.2 การตรวจสอบความหนืดและอุณหภูมิของเรซินระหว่างการอบ

จากการวิเคราะห์ด้วย TGA ทำให้เชื่อว่าการอบที่ต่างกัน (แบบขั้นตอนเดียว-สองขั้นตอน-สามขั้นตอน) ทำให้ความsmärre เสมอของโครงสร้างต่างกัน คาดว่าปัจจัยที่มีอิทธิพลต่อความsmärre เสมอของโครงสร้างคือความหนืดของเรซินและอุณหภูมิที่เกิดขึ้นในเรซินระหว่างการอบ ถ้าเรซินมีความหนืดเพิ่มขึ้นอย่างรวดเร็ว จะทำให้เกิดตัวหนิในโครงสร้างแห้งได้ เช่น มีการกักขังเรซินที่ไม่ได้เกิดการเชื่อมโยงใหม่ๆ<sup>5</sup> ในระยะเริ่มต้นของการเกิดร่างแห้ง หากเรซินมีความหนืดสูงเกินไป จะทำให้การไหลหรือการแพร่กระจายของอิพ็อกซีและสารทำให้แข็งมีค่าต่ำลง เมื่อปฏิกิริยาเกิดไปอย่างต่อเนื่อง เรซินจะมีความหนืดเพิ่มขึ้น การเคลื่อนไหวแบบบรรทัดฐานก็จะถูกจำกัดลงไปเรื่อยๆ และทำให้จลนพลศาสตร์ของการเกิดร่างแห้งลดลง<sup>6</sup> สิ่งเหล่านี้อาจก่อให้เกิดความแตกต่างในบางพื้นที่ หรือทำให้มีความไม่smärre เสมอทั่วทั้งระบบ

ได้ทำการทดสอบอบคอมโพลิทในระยะเวลาต่างๆเพื่อนำไปวัดความหนืด และวัดอุณหภูมิที่เกิดขึ้นภายในเรซิน โดยทำการวัดทันทีที่อบเสร็จ ใช้เวลาในการวัดไม่เกิน 5 วินาที ตัวอย่างชุดนี้เป็นชุดเดียวกันกับที่ทำการวัดความหนืด รูปที่ 3.55 แสดงผลการวัดความหนืดของคอมโพลิทสูตร I และ II การอบด้วยเตาไมโครเวฟที่ระดับกำลัง 2 จะให้ความหนืดใกล้เคียงกับการอบด้วยตู้อบความร้อน และอัตราการเพิ่มขึ้นของความหนืดก็ใกล้เคียงกัน ตรงข้ามกับการอบที่ระดับกำลัง 3 และ 4 เรซินจะมีความหนืดเพิ่มขึ้นอย่างรวดเร็ว คอมโพลิทสูตร I จะเริ่มนีลักษณะคล้ายเยลลีหรือเกิดเป็นเจล (gel) ที่สภาวะ L3 – 7 min และ L5 – 2.5 min ในขณะที่สภาวะ L4 – L6 เป็นเวลา 5 นาที จะมีเรซินบางส่วนแข็งตัว ตัวอย่างเหล่านี้จะไม่นำมาวิเคราะห์หาความหนืด เนื่องจากการวัดความหนืดจะไม่ใช้ตัวทำละลาย เพราะต้องการวิเคราะห์ความหนืดที่แท้จริงของเรซินในคอมโพลิทนั้นๆ

<sup>5</sup> J.J. Aklonis and W.J. MacKnight, Introduction to Polymer Viscoelasticity, 2<sup>nd</sup> edn., John Wiley & Sons, New York, 1983.

<sup>6</sup> P. Alazardm, M. Palumbo and A. Gourdenne, Macromol. Symp. 199, 59 (2003).



รูปที่ 3.55 ความหนืดของเรซินระหว่างการอบด้วยตู้อบความร้อน (OV) ที่  $150^{\circ}\text{C}$  และอบด้วยเตาไมโครเวฟที่ระดับกำลังต่างๆ (L2 – L4) : (a) คอมโพลิสท์ I; (b) คอมโพลิสท์ II

คอมโพลิสท์ II จะเกิดเป็นเจลที่สภาวะ L2 – 15 min, L3 – 5 min และ L4 – 3 min ความหนืดที่ L2 – 25 min ของสูตร I และที่ L2 – 10 min ของสูตร II มีค่าสูงมากเมื่อเทียบกับความหนืดที่ L3 – 5 min ของสูตร I และที่ L3 – 3 min ของสูตร II เมื่อพิจารณาสภาวะการอบคอมโพลิสท์ I ตัวอย่าง 1S จะเริ่มเกิดเป็นของแข็งเมื่อใช้ระดับกำลัง 3 ในเวลา 7.5 นาที และเป็นของแข็งในเวลา 10 นาที ถึงแม้ว่าตัวอย่าง 1S จะเป็นของแข็งก่อนตัวอย่าง 2S-3 แต่ความหนืดของตัวอย่าง 1S ในช่วงก่อนเป็นเจลซึ่งมีค่าเท่ากับ 3,420 cP (ที่ L3 – 5 min) มีค่าต่ำกว่าความหนืดของเรซินที่อบที่ L2 – 25 min (21,300 cP) อัตราเร็วในการเพิ่มขึ้นของหนืดก่อนเกิดเป็นเจลน่าจะมีความสำคัญมากกว่าความหนืด และอัตราการเพิ่มขึ้นอย่างช้าๆ ของความหนืดน่าจะเป็นลักษณะที่พึงประสงค์

ได้ทำการตรวจสอบความหนืดของตัวอย่าง 2S-1 และ 3S-3 ของคอมโพลิกสูตร II หั้งสองตัวอย่างเรื่มแข็งตัวเมื่ออยู่ในการอบขันตอนที่สอง คือ L4 – 3 min (ตัวอย่าง 2S-1) และ L3 – 5 min (ตัวอย่าง 3S-3) โดยที่สภาวะการอบของตัวอย่าง 2S-1 คือ L2 – 10 min + L4 – 5 min และสภาวะการอบของตัวอย่าง 3S-3 คือ L2 – 10 min + L3 – 5 min + L4 – 3 min ความหนืดก่อนเกิดเป็นเจลของตัวอย่าง 1S เท่ากับ 98,900 cP (L3 – 3 min) และมีค่าต่ำกว่าความหนืดก่อนเกิดเป็นเจลของตัวอย่าง 2S-1 และ 3S-3 ที่มีค่าเท่ากับ 134,000 cP (L2 – 10 min) ในท่านองเดียวกันกับที่กล่าวไว้ในคอมโพลิกสูตร I อัตราเร็วในการเพิ่มความหนืดมีบทบาทสำคัญ และการอบที่ดีควรมีอัตราการเพิ่มความหนืดแบบช้าๆ

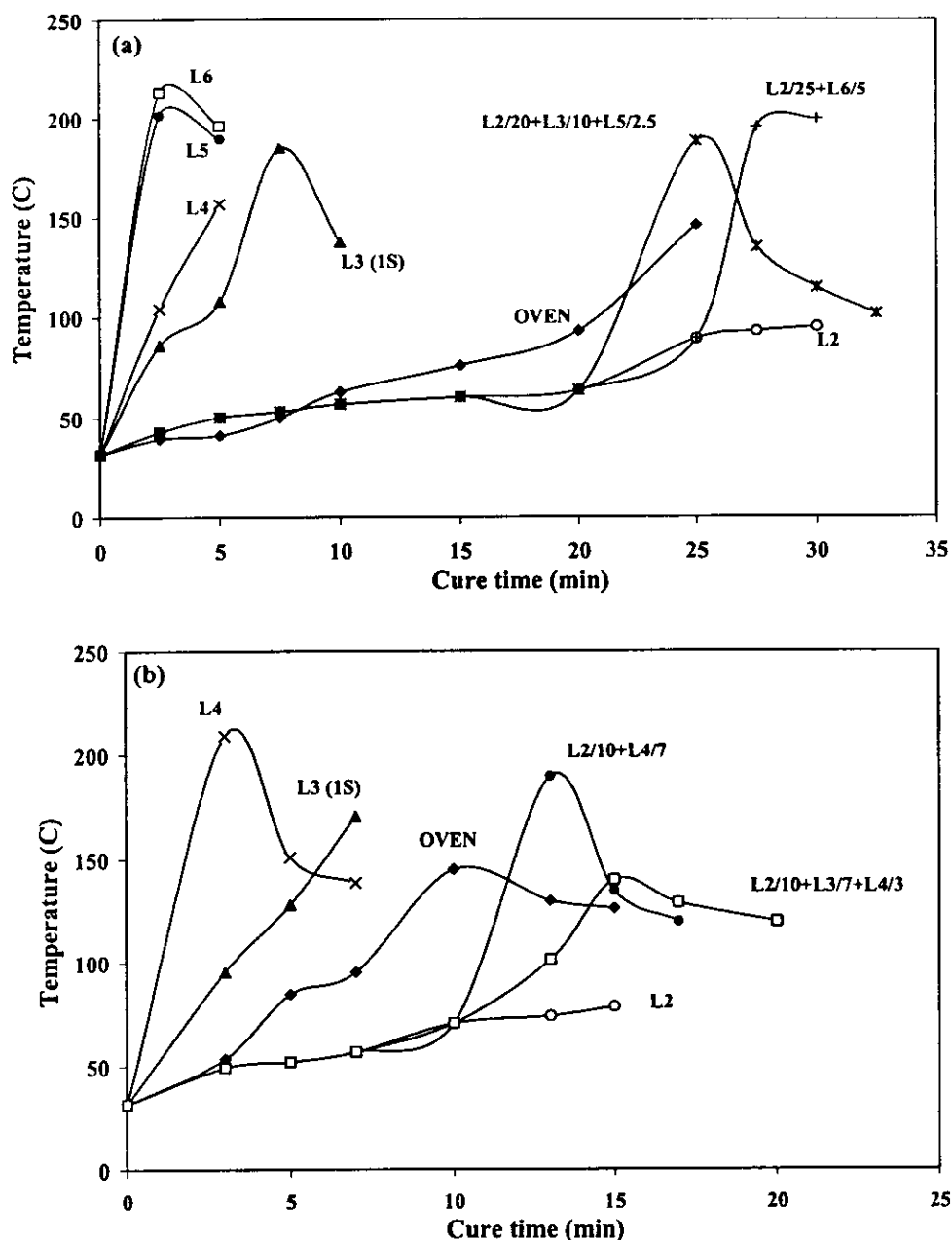
ผลของการวัดอุณหภูมิที่ได้จากการอบในระยะเวลาต่างๆนี้แสดงในรูปที่ 3.56 อุณหภูมิที่วัดได้นี้เป็นอุณหภูมิจริงของเรซิน เนื่องจากเป็นการวัดทันทีที่อบเสร็จ ใช้เวลาในการวัดไม่เกิน 5 วินาที มีการใช้เรซิน 1 ครั้ง ต่อ 1 การทดลอง ใช้เบ้าเทฟลอนขนาดเดียวกันที่ใช้เตรียมชิ้นงานเพื่อทดสอบสมบัติเชิงกล ดังนั้น ผลการวัดจึงมีความน่าเชื่อถือ และใช้เป็นตัวแทนชิ้นงานของแต่ละสภาวะการอบได้ อุณหภูมิของคอมโพลิกเพิ่มขึ้นตามระยะเวลาในการอบ และบางสภาวะมีอุณหภูมิลดลง ตัวอย่างที่เป็นพิกัดนี้เป็นอุณหภูมิที่เรซินกล้ายเป็นของแข็ง สำหรับการอบแบบขันตอนเดียวันนี้ การใช้ระดับกำลังสูงขึ้นจะทำให้อัตราเร็วของการเพิ่มอุณหภูมิสูงขึ้น พฤติกรรมการเพิ่มขึ้นของอุณหภูมิมีลักษณะเช่นเดียวกันกับการเพิ่มขึ้นของความหนืด ที่ระดับกำลัง 2 จะมีอัตราเร็วของการเพิ่มอุณหภูมิช้าที่สุด และอุณหภูมิสูงสุดมีค่าไม่เกิน 100°C ดังนั้น จึงไม่เป็นที่สงสัยว่า ที่ L2 นี้เรซินไม่แข็งตัว การที่อุณหภูมิเพิ่มขึ้นอย่างช้าๆที่ L2 นี้ทำให้อัตราการเพิ่มขึ้นของความหนืดช้าตามไปด้วย เมื่อเทียบกับระดับดับกำลัง 3 – 6 จะมีอุณหภูมิเพิ่มขึ้นอย่างรวดเร็วตามลำดับ ส่งผลให้ความหนืดเพิ่มขึ้นอย่างรวดเร็วด้วย ซึ่งน่าจะเป็นสาเหตุให้เกิดการกักขังโมเลกุล ทำให้ไม่สามารถเกิดเป็นร่างแท้ได้ จากที่ได้กล่าวเบื้องต้นว่าสภาวะการอบแบบสามขันตอนในคอมโพลิกสูตร I นั้นเป็นสภาวะที่ไม่เหมาะสม พิสูจน์ได้จากการที่เรซินแข็งตัวเร็วกว่าการอบแบบสองขันตอน ซึ่งสังเกตได้จากการไฟในรูป 3.56a ในท่านองเดียวกันการอบแบบสามขันตอนในคอมโพลิกสูตร II จะแข็งตัวช้ากว่าการอบแบบสองขันตอน แสดงว่าการแข็งตัวที่ช้ากว่าจะให้สมบัติเชิงกลที่ดีกว่า นั่นคือ อัตราการเพิ่มขึ้นของอุณหภูมิและความหนืดควรจะมีอัตราเร็วที่เหมาะสม และน่าจะเป็นอัตราที่ค่อนข้างช้า

### 3.5.3 การวิเคราะห์การยึดเกาะของเรซินบนเส้นใยแก้วตัวอย่างภาพ SEM

การอบคอมโพลิกในเตาไมโครเวฟด้วยระดับกำลังสูงขึ้น จะทำให้เรซินมีอุณหภูมิสูงขึ้น เนื่องจากที่ระดับกำลังสูงจะมีระยะเวลาในการให้คลื่นไมโครเวฟนานขึ้น ดังนั้นจะมีความร้อนภายในเรซินมากขึ้น เรซินเกิดปฏิกิริยามากขึ้น นี้เป็นสาเหตุของการเพิ่มขึ้นของความหนืดของเรซิน การใช้ระดับกำลังต่ำๆ เช่น L2 เพื่อใช้ในการอุ่นเรซิน ทำให้เรซินค่อยๆร้อนขึ้น มีความหนืดเพิ่มขึ้นอย่างช้าๆ ส่งผลให้เรซินเกาะติดเส้นใยแก้วได้มากขึ้น หรือทำให้เส้นใยแก้วเปียกมากขึ้น ได้มีงานวิจัยเกี่ยวกับการอุ่นเรซินด้วยเตาไมโครเวฟในผลิตภัณฑ์ RTM laminates<sup>7</sup> พบว่าเส้นใยแก้วมีลักษณะเปียกมากขึ้นและทำให้สมบัติเชิงกลสูงขึ้น ภาพถ่ายจากเครื่อง SEM ของผิวน้ำขันตัวอย่างที่แยกหักจากการทดสอบสมบัติเชิงกลแสดงในรูปที่ 3.57 และ 3.58 สำหรับคอมโพลิกสูตร I และ II ตามลำดับ บริเวณที่เป็นอิพ็อกซีเรซินจะไม่มีฟองอากาศหรือช่องว่าง (voids) ใดๆเลย ลักษณะปริมาณการเกาะติดของอิพ็อกซีเรซินบนเส้นใยแก้ว เส้นใยแก้วที่มีผิวเรียบ ไม่มีเรซินเกาะติด และแสดงว่า interfacial adhesion ระหว่างเรซินและเส้นใยแก้วต่ำมาก เป็นลักษณะที่ไม่ต้องการในผลิตภัณฑ์คอมโพลิก เพราะจะทำให้สมบัติเชิงกลของคอมโพลิกต่ำลง ในทางตรงกันข้าม ถ้ามีเรซินเกาะติดที่เส้นใยแก้วมาก แสดงว่ามี interfacial adhesion สูงมาก ในกระบวนการทดสอบด้วยเครื่อง SEM นี้ ได้ทำการสุมถ่ายภาพชิ้นงานแล้วนำมาเปรียบเทียบกัน จะเห็นว่า ตัวอย่างที่มีสมบัติเชิงกลที่สุดจะมีเรซินเกาะติดที่เส้นใยมากที่สุด จากการวิเคราะห์ด้วยเทคนิค SEM สามารถเรียงลำดับลักษณะการเกาะติดของเรซินบน

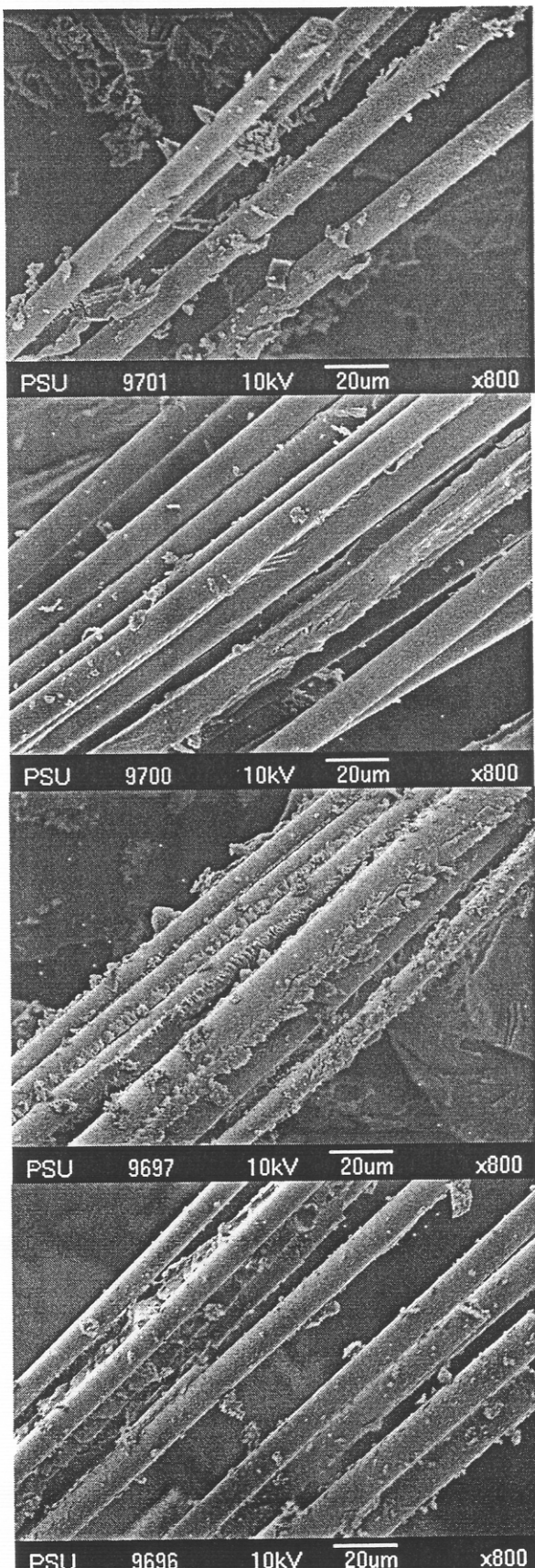
<sup>7</sup> M.S. Johnson, D.D. Rudd and D.J. Hill, Polym. Compo. 18, 185 (1997).

เส้นไข้แก้วได้ดังนี้  $2S-3 > 3S-1 > OV$ , 1S (สำหรับคอมโพลิสท์ I) และ  $3S-3 > 2S-1$ , 1S, OV (สำหรับคอมโพลิสท์ II) การอบด้วยเตาไมโครเวฟในสภาวะที่เหมาะสมจะทำให้ interfacial adhesion ระหว่างเรซินและเส้นไข้แก้วสูงกว่าการอบด้วยความร้อน ผลการทดลองนี้สอดคล้องกับผลการทดลองที่ได้มีการรายงานมาก่อนหน้านี้<sup>8</sup>

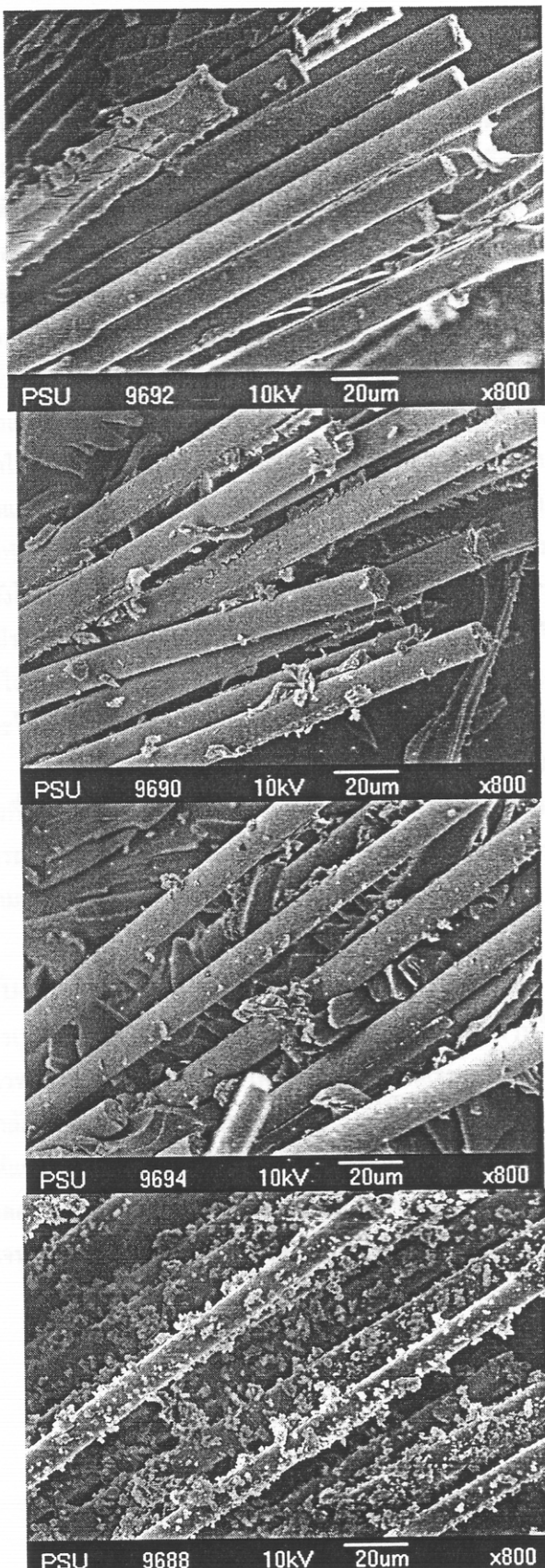


รูปที่ 3.56 อุณหภูมิในเรซินที่วัดได้ระหว่างการอบด้วยตู้อบความร้อนที่  $150^{\circ}\text{C}$  (OV) และอบด้วยเตาไมโครเวฟที่ระดับกำลังต่างๆ (a) คอมโพลิสท์ I (b) คอมโพลิสท์ II

<sup>8</sup> X. Fang and D.A. Scola, J. Polym. Sci. Polym. Chem. 37, 4616 (1999) และ S.L. Bai and V. Djafari, Composites 26, 645 (1995).



รูปที่ 3.57 ภาพถ่ายจาก SEM ของผิวน้ำด้าอย่างที่แตกหักจากการทดสอบสมบัติ เชิงกลของคอมโพลิท I เรียงลำดับจากบันลั่งล่าง : OV, 1S, 2S-3, 3S-1 สังเกตด้าอย่าง 2S-3 มีเรซินการติดบนเส้นใยแก้วมากที่สุด



รูปที่ 3.58 ภาพถ่ายจาก SEM ของผิวน้ำด้าวอย่างที่แตกหักจากการทดสอบสมบัติเชิงกลของคอมโพลิท II เรียงลำดับจากบนลงล่าง : OV, 1S, 2S-1, 3S-3 สังเกตตัวอย่าง 3S-3 มีเรซินเกาะดิดบนเส้นใยแก้วมากที่สุด

### 3.6 สรุปผลการทดลอง

เตาไมโครเวฟที่ใช้ศึกษานี้สามารถอบอีพ็อกซี่เรซินและอีพ็อกซ์คอมโพลิทได้เช่นเดียวกันกับตู้อบ การอบด้วยเตาไมโครเวฟของเรซินและคอมโพลิกสูตรต่างๆ สามารถให้สมบัติเชิงกลที่ดีกว่าหรือเทียบเท่ากับการอบด้วยตู้อบ ทั้งนี้ขึ้นอยู่กับปริมาณตัวเร่งปฏิกิริยา ชนิดของสมบัติ และสภาวะการอบ สูตร I และ II เป็นสูตรที่ดีที่สุดที่เหมาะสมต่อการอบด้วยเตาไมโครเวฟภายใต้สภาวะการอบที่ศึกษา การอบด้วยเตาไมโครเวฟแบบขันตอนเดียวสามารถให้สมบัติเชิงกลที่เทียบเท่ากับการอบด้วยตู้อบความร้อน ความแตกต่างของสมบัติเชิงกลระหว่างชั้นงานที่อบด้วยเตาไมโครเวฟและตู้อบความร้อน ขึ้นอยู่กับสูตรเรซินและประเภทของสมบัติเชิงกล เนื่องจากมีสมบัติเชิงกลทั้งที่สูงขึ้นและต่ำลงเมื่ออบด้วยเตาไมโครเวฟ การอบด้วยเตาไมโครเวฟแบบหลายขันตอน ให้ค่าสมบัติเชิงกลที่สูงกว่าการอบแบบขันตอนเดียวและการอบด้วยตู้อบความร้อน ทั้งนี้เป็นเพราะการอบแบบหลายขันตอนมีการอุ่นเรซินในการอบขันตอนแรก ทำให้เรซินมีอุณหภูมิและความหนืดไม่สูงมากนัก เกาะติดกับเส้นใยแก้วดีขึ้น ทำให้แรงยึดเกาะระหว่างเรซินและเส้นใยแก้ว (interfacial adhesion) สูงขึ้น ในการต้องข้ามการอบแบบขันตอนเดียวจะทำให้เรซินมีอุณหภูมิสูงขันกันที่ จึงทำให้เรซินมีความหนืดเพิ่มขึ้นอย่างรวดเร็ว การยึดเกาะระหว่างเรซินและเส้นใยแก้วจึงลดลง และทำให้มีการกักขังไมเลกูลอยู่ในโครงร่างแท้ สมบัติเชิงกลจึงต่ำกว่า เตาไมโครเวฟที่ใช้ในครัวเรือนจะควบคุมระดับกำลังวัตต์โดยมีระยะเวลาที่ให้คลื่นออกนา ดังนั้น ระยะเวลาที่กำหนดไว้จึงไม่ใช่ระยะเวลาที่เรซินได้รับคลื่นในไมโครเวฟ ระยะเวลาที่ได้รับคลื่นขึ้นอยู่กับระดับกำลัง (power level) ที่ใช้ และจะมีค่าน้อยกว่าระยะเวลาที่ใช้ เช่น ที่ระดับกำลัง 3 เรซินจะได้รับคลื่นในไมโครเวฟเป็นระยะเวลา 30% ของระยะเวลาที่ตั้งไว้ในการใช้เตาไมโครเวฟนี้ ด้วยเหตุนี้จึงกล่าวได้ว่า การอบด้วยเตาไมโครเวฟจะใช้เวลาน้อยกว่าการอบด้วยตู้อบความร้อนและสามารถให้สมบัติเชิงกลที่ดีกว่าด้วยอย่างท่องด้วยตู้อบความร้อน แต่จำเป็นต้องใช้สภาวะการอบที่เหมาะสม ข้อจำกัดของโครงสร้างนี้คือ ไม่สามารถสร้างเตาไมโครเวฟได้เอง ทำให้ไม่สามารถควบคุมการปล่อยคลื่นให้แม่นยำ และให้เป็นเวลาต่อเนื่องได้โดยที่สามารถควบคุมกำลังวัตต์ได้

### 3.7 ข้อเสนอแนะสำหรับงานวิจัยในอนาคต

1. ควรสร้างเตาไมโครเวฟขึ้นมาเองเพื่อจะได้ควบคุมการปล่อยคลื่นในไมโครเวฟได้
2. ควรซื้อเตาไมโครเวฟรุ่นเดียวกันมากกว่า 2 เครื่องขึ้นไป ดังแต่เริ่มการทดลอง เพราจะง่ายต่อการรับรู้ผลิตอาจไม่ผลิตรุ่นที่กำลังใช้อยู่ ทำให้หาซื้อเพิ่มเติมไม่ได้
3. ไม่ควรใช้สารทำให้แข็งกลุ่มแอนไฮไดร์ด เพราะกลืนและควันที่เกิดขึ้นจากการอบมีอันตรายต่อสุขภาพมาก ระหว่างทำการทดลองจะต้องสวมแว่นตา Nieto และใส่หน้ากากปิดมูกเสมอ กลืนค่อนข้างรุนแรงมาก เป็นที่รบกวนของผู้อื่นจนไม่สามารถปฏิบัติงานในห้องเดียวกันได้